

COMUNICACIONES

DE LA

Sociedad Malacológica del Uruguay

MONTEVIDEO

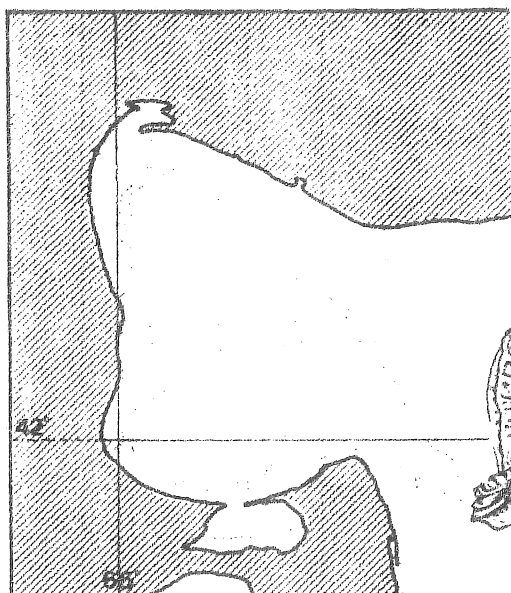
URUGUAY

NUMERO DOBLE ESPECIAL

Vol. IV - NOS 31 - 32

Octubre de 1976 - Abril de 1977

- SUMARIO -



MOLUSCOS DEL GOLFO SAN MATIAS

(Provincia de Río Negro,
República Argentina)

Inventario y Claves
para su Identificación

por

Víctor Scarabino

págs. I+177 - 297

Págs.

PITA, Jorge (Secretaria) - Notas de Secretaria 287 - 288

PARODIZ, J. J. - Obituario. Alberto Carcelles (1897-1977). 289 - 290
Publicaciones por Alberto Carcelles 291 - 293

FACULTAD DE CIENCIAS NATURALES
Y MUSEO

BIBLIOTECA
PASEO DEL BOSQUE
1000 LA PLATA REPÚBLICA ARGENTINA



BIBLIOTECA
"Florencio Ameghino"

MOLUSCOS DEL GOLFO SAN MATIAS

(Provincia de Río Negro, República Argentina)

Inventario y Claves para su Identificación

- ÍNDICE -

	<u>Págs.</u>
Summary - Introducción	177
Agradecimientos	178
Sistemática	178 - 218
Area relevada, lista de estaciones y mapas	219 - 225
Comentarios zoogeográficos	227 - 229
Cuadros de distribución I y II	230 - 233
Bibliografía sumaria	235 - 236
Claves para la determinación de familias, géneros y especies	237 - 261
(Glosarios ilustrados: 238-240)	
Láminas 1 a 11	263 - 285

^^^^^

MOLUSCOS DEL GOLFO SAN MATIAS

(Provincia de Río Negro, República Argentina)

Inventario y Claves para su Identificación

Por

Víctor Scarabino[®]SUMMARY

This report deals with the benthic mollusks collected during several oceanographic and shore trips to the gulf of San Matías (Río Negro Province, Argentina) as part of an Ecologic Project carried out by the Institute of Marine Biology of Mar del Plata (Argentina).

Check list, dichotomous keys and illustrations of the 125 species obtained or reported before us are presented with additional data about its ecology and distribution.

Biogeographical aspects of this important area are also discussed.

INTRODUCCION

El presente trabajo fue realizado en base a material colectado durante campañas efectuadas en 1971, 72, 73 y 74, como parte de un proyecto de estudio ecológico integral del Golfo San Matías (Prov. de Río Negro, Argentina), con especial referencia al estudio de moluscos de interés comercial.

Dicho proyecto, subvencionado por el Consejo Federal de Inversiones y el Centro de Investigaciones Científicas de la Provincia de Río Negro, fue llevado a cabo por investigadores del Laboratorio de Comunidades Bentónicas del Instituto de Biología Marina de Mar del Plata (Argentina), bajo la dirección del Dr. Santiago R. Olivier, a los cuales se integró el autor durante el año 1972.

Es nuestro objetivo, al ser éste un inventario regional intensi-

[®]-División Zoología Experimental, Instituto de Investigaciones Biológicas "Clemente Estable", Avda. Italia 3318, Montevideo.

-Departamento de Ecología, Facultad de Humanidades y Ciencias, Montevideo, Uruguay.

vo en una zona biogeográfica muy importante, colaborar con el mejor conocimiento de la distribución de los moluscos del sector sur del Atlántico sudoccidental, intentando además una actualización de la taxonomía de varias especies. Aún así, numerosos problemas de orden sistemático y de distribución continúan planteados y deben ser revisados.

AGRADECIMIENTOS

Cabe el agradecimiento del autor hacia los responsables del proyecto, en la persona de su Director y en especial al Lic. José M. Orensanz, por la continua colaboración y camaradería brindadas durante nuestra estadía en el Instituto de Biología Marina de Mar del Plata; al Sr. Alfredo Figueiras, de la Sociedad Malacológica del Uruguay, por el paciente trabajo de confección, compaginado y armado de este boletín, y finalmente a mi esposa Susana, por su constante apoyo y alienio que permitieron la realización de este trabajo.

PARTES SISTEMÁTICA

Las especies que están señaladas con el símbolo (*), no fueron colectadas por nosotros, habiendo sido citadas por otros autores para localidades del golfo.

La bibliografía, por ser muy extensa, es señalada en la sinonimia sólo la primera vez que se menciona, incluyéndose, al final, información sobre los catálogos generales o citas de mayor significación.

SISTEMÁTICA

Clase GASTROPODA

Subclase PROSOBRANCHIA

Orden ARCHAEOGASTROPODA

Superfamilia PLEUROTOMARIACEA

Familia FISSURELLIDAE

Género Fissurella Bruguière, 1789

1.- Fissurella radiosula Lesson, 1830

Fissurella radiosula Lesson, 1830. Rev. Zool. Soc. Cuv.: 411

Carcelles, 1950, An. Mus. Nahuel Huapí, 8:51; Strebler, 1907.

Material examinado: SAO-III 1001, 1011, 1046, 1048, 1051, 1052, 1054, 1055.

Distribución en el Golfo San Matías: frecuente en el infralitoral rocoso entre Fuerte Argentino y Puerto Lobos.

Distribución geográfica: Golfo San Matías a Estrecho de Magallanes.

2.- Fissurella cf. oriens Sowerby, 1834

Fissurella oriens Sowerby, 1834, Thes. Conchyl.

Strehel, 1907; Carcelles, 1951, Rev. Mus. Arg. Cienc. Nat. 2(5): 254.

Material examinado: SAO-III 1001, 1011, 1046, 1048, 1051, 1052, 1054, 1055.

Distribución en el Golfo San Matías: igual a la anterior.

Distribución geográfica: F. oriens está citada desde Valparaíso hasta región Magallánica (Carcelles 1951).

Género Diodora Gray, 18213.- Diodora patagonica (d'Orbigny, 1841)

Fissurella patagonica d'Orbigny, 1841. Voy. Amér. Mérid.: 476, lám. 64,

Diodora patagonica; Carcelles 1950: 50, lám. 1, fig. 10; /fig. 1-3

Camacho 1966, An. Com. Inv. Cient. La Plata, 3:111, lám. 15, fig. 3;

Castellanos 1970, An. Com. Inv. Cient. La Plata 8:20, lám. 1, fig. 8;

Figueiras y Sicardi 1970, Com. Soc. Malac. Urug. 3(19):26, Lám. 8,

fig. 106; Rios 1970, Mus. Ocean. Rio Grande do Sul: 18, lám. 2; 1975

:16, lám. 3, fig. 24.

Material examinado: SAO-I 31; SAO-III 1046, 1048, 1052, 1053, 1055, 1064, 1065.

Distribución en el Golfo San Matías: frecuente en el infralitoral rocoso entre Ite. Lobos y Los Chañares.

Distribución geográfica: Rio de Janeiro (Brasil) hasta Bahía Camarones (Chubut, Argentina).

Género Lucapinella Pilsbry, 18904.- Lucapinella henseli (Martens, 1900)

Fissurella (Lucapinella) henseli Martens, 1900. Nach. Deutsch. Malak. Gessel. 32:187.

Lucapinella henseli; Carcelles 1944, Rev. Mus. La Plata 3:239, lám. 1, fig. 1; Camacho 1966:110, lám. 15, fig. 2; Castellanos 1970:18, lám. 1, fig. 5; Figueiras y Sicardi 1970:27, lám. 8, fig. 107; Rios 1970 :18, lám. 2; 1975:16, lám. 3, fig. 26.

Lucapinella limatula hassleri Pérez Farfante, 1943. Johnsonia 1(10): Castellanos 1970:19, lám. 1, fig. 7; Figueiras y Sicardi 1970:27, lám. 8, fig. 108.

Material examinado: SAO-III 1001, 1042, 1047, 1052, 1053, 1118; SAO-I 28, 31.

Distribución en el Golfo San Matías: infralitoral rocoso entre Pto. Lo bos y Fuerte Argentino y en Pta. Mejillón, frecuente. Entre 10 y 21 m.

Distribución geográfica: Rio Grande do Sul (Brasil) hasta 45° Lat. S.

Género Fissurellidea d'Orbigny, 18405.- Fissurellidea hiantula (Lamarck, 1822)

Fissurella hiantula Lamarck, 1822. Hist. Nat. Anim. s. Vert. 2:14

Fissurellidea megatrema d'Orbigny, 1841. Voy. Amér. Mérid.: 477, lám. 73, figs. 5-10.

Fissurellidea hiantula; Castellanos 1970:17, lám. 1, fig. 6; Figueiras y Sicardi 1970:28, lám. 8, fig. 109; Rios 1970:19, lám. 2; 1975:17, lám. 3, fig. 32.

Material examinado: SAO-I 31, 47, 9; SAO-II 103, 108; SAO-III 1118.

Distribución en el Golfo San Matías: infralitoral entre Ite. Lobos y Pta. Mejillón, frecuente en la comunidad de Chlamys tehuelcha, rara en los niveles superiores del piso infralitoral.

Distribución geográfica: Rio de Janeiro (Brasil) a 45° Lat. S.

Superfamilia PATELLACEA

Familia PATELLIDAE

Género Nacella Schumacher, 18176.- Nacella mytilina (Helbling, 1779) (+)

Patella mytilina Helbling, 1779

Nacella mytilina; Castellanos 1970: 25, lám. 1, fig. 4; Rios 1970: 21, lám. 3; 1975:18, lám. 4, fig. 37.

Distribución en el Golfo San Matías: Pta. Villarino (Castellanos 1970).

Distribución geográfica: Is. Kerguelen, Malvinas, Tierra del Fuego a Rio Grande do Sul (Brasil). Es generalmente transportada en las frondas de Macrocystis pyrifera (Algae) llegando a localidades del sur del Brasil.

Género Patinigera Dall, 19057.- Patinigera magellanica (Gmelin, 1790)

Patella magellanica Gmelin, 1790. Syst. Nat. 13 ed.:3703

Patinigera magellanica; Castellanos 1970:22, lám. 1, fig. 1

Material examinado: SAO-III 1001, 1002, 1011, 1052, 1053, 1055.

Distribución en el Golfo San Matías: frecuente en el infralitoral superior rocoso entre Ite. Lobos y Fte. Argentino.

Distribución geográfica: Pcia. de Buenos Aires a Tierra del Fuego y por el Pacífico hasta Chiloé.

Superfamilia TROCHACEA

Familia TROCHIDAE

Género Calliostoma Swainson, 18408.- Calliostoma jucundum (Gould, 1845)

Trochus jucundus Gould, 1845. Proc. Boston Soc. Nat. Hist. 3(31):91
Calliostoma rioense Dall, 1890. Proc. U.S. Nat. Mus. 12:345, lám. 15,
fig. 5; Carcelles 1944:241, lám. 1, fig. 11; Camacho 1966:114;15,10.
Calliostoma jucundum; Castellanos 1970:29, lám. 2,fig. 6; Figueiras y
Sicardi 1970:30, lám. 8, fig. 112; Rios 1970:24, lám. 5; 1975:22,
lám. 5, fig. 55.

Material examinado: SAO-I 47.

Distribución geográfica: Rio de Janeiro (Brasil) a Golfo San Matías.

9.- Calliostoma militaris Ihering, 1907

Calliostoma militaris Ihering, 1907. An. Mus. Nac. Bs.As. 7:437, lám.
17, fig. 116; Castellanos 1970:30, lám. 2, fig. 1; Figueiras y Si-
cardi 1970:31, lám. 8, fig. 114; Rios 1970:25. lám. 5; 1975:24, lám./
6, fig. 65.

Material examinado: SAO-I 47.

Distribución geográfica: Rio de Janeiro a Golfo de San Matías.

10.- Calliostoma coppingeri (Smith, 1880)

Trochus coppingeri E.A. Smith, 1880. Ann. Mag. Nat. Hist. 6(5):320

Calliostoma coppingeri; Carcelles 1944:240, lám. 1, fig. 8-9; Camacho
1966:112, lám. 15, fig. 5ab; Castellanos 1970:27, lám. 2, fig. 3;
Figueiras y Sicardi 1970:30, lám. 8, fig. 113; Rios 1970:24, lám. 5;
1975:22, lám. 5, fig. 54.

Material examinado: SAO-I B.

Distribución en el Golfo San Matías: fondos infralitorales de grava y
arena con Glycymeris longior, entre 15 y 25 m de profundidad.

Distribución geográfica: Rio Grande do Sul a 44° Lat. S

Género Photinula H. & A. Adams, 185411.- Photinula blakei (Clench & Aguayo, 1938)

Calliostoma blakei Clench & Aguayo, 1938. Mem. Soc. Cubana Hist. Nat.
/12(5):376

Photinula blakei; Figueiras y Sicardi 1970:31, lám. 8, fig. 115; Rios
1970:26, lám. 5; 1975:24, lám. 6, fig. 66.

Material examinado: SAO-I B.

Distribución en el Golfo San Matías: igual a la anterior, frecuente.

Distribución geográfica: Sur del Brasil a Golfo San Matías.

Observaciones: primera cita para el golfo.

Género Tegula Lesson, 183212.- Tegula patagonica (d'Orbigny, 1840)

Trochus patagonicus d'Orbigny, 1840: 408, lám. 60, figs. 1-4

Tegula patagonica; Carcelles 1945, Physis 20:33, lám. 1, figs. 1-5, 8, 9, 16-19; Camacho 1966:115, lám. 15, fig. 11ab; Castellanos 1970:32 lám. 2, fig. 4; Figueiras y Sicardi 1970:32, lám. 8, fig. 117; Rios 1970:26, lám. 4; 1975:25, lám. 6, fig. 68.

Material examinado: SAO-I 9; SAO-III 1001, 1002, 1011, 1013, 1046, 1048, 1051, 1052, 1053, 1054, 1055, 1074, 1103, 1108, 1109, 1118; SAO-IV 1082, 1083.

Distribución en el Golfo San Matías: abundante en el infralitoral rocoso desde Pta. Mejillón hasta Pto. Lobos.

Distribución geográfica: Río de Janeiro a Golfo Nuevo.

13.- Tegula orbignyanana (Pilsbry, 1900)

Chlorostoma orbignyanum Pilsbry, 1900. The Nautilus 18(10):110

Tegula orbignyanana; Carcelles 1945:38, lám. 1, figs. 6, 7, 12-15; Fernández de Deambrosi, 1968:47; Castellanos, 1970:33, lám. 2, fig. 5; Boschi y Fenucci 1972, Physis :165

Distribución en el Golfo San Matías: frecuente en los niveles superiores del infralitoral rocoso entre Pto. Lobos e Its. Lobos. Infralitoral entre Fte. Argentino y Caleta de los Loros, entre 12 y 33 m de profundidad.

Material examinado: SAO-I B, 22, 23, 28 (Castellanos det.). SAO-III 1001, 1002, 1048.

Distribución geográfica: Canal de Beagle a Pcia. de Buenos Aires.

14.- Tegula atra (Lesson, 1830) (*)

Trochus atrum Lesson, 1830. Voy. de la Coquille 2:344, lám. 16, fig. 2

Tegula atra; Carcelles 1945:34, lám. 2, fig. 8; Castellanos 1970:34, lám. 2, fig. 8.

Distribución en el Golfo San Matías: Pta. Villarino y Pto. Lobos (ambas Castellanos, 1970)

Distribución geográfica: Golfo San Matías a región Magallánica y por el Pacífico hasta Perú.

Orden MESOGASTROPODA

Superfamilia RISSOACEA

Familia HYDROBIIDAE

Género Littoridina Souleyet, 1852

15.- Littoridina australis (d'Orbigny, 1835)

Paludina australis d'Orbigny, 1835:30, Nº 37; 1846 (Paludestrina):384,
lám. 48, figs. 4-6.

Littoridina australis; Castellanos 1970:47, lám. 4, fig. 3; Figueiras
y Sicardi, 1971. Com.Soc.Malac.Urug. 3(21):102, lám. 9, fig. 122;
Rios 1970:34; 1975:37, lám. 10, fig. 129.

Material examinado: SAO-III 1114 y Bahía San Antonio.

Distribución en el Golfo San Matías: mediolitoral e infralitoral supe-
rior de bahías y caletas poco profundas con fondos fangosos, areno-
sos o mixtos, abundante; eurihalina.

Distribución geográfica: San Pablo (Brasil) a Golfo San Matías.

Superfamilia EPITONACEA
Familia EPITONIIDAE

Género Epitonium Röding, 178916.- Epitonium georgettina (Kiener, 1839)

Scalaria georgettina Kiener, 1839. Icon. Coq. Vivants 10:14, lám. 4.

Scalaria orbignyi Nyst, 1871.

Scalaria elegans d'Orbigny, 1840:389

Epitonium orbignyi; Carcelles 1950:56; Camacho 1966:116, lám. 15, fig. 13

Epitonium georgettina; Castellanos 1970:62, lám. 4, fig. 5; Rios 1970:
48, lám. 10; Figueiras y Sicardi 1971:108, lám. 9, fig. 130; Rios
1975:54, lám. 15, fig. 205.

Material examinado: SAO-III 1001, 1048, 1052.

Distribución en el Golfo San Matías: infralitoral superior rocoso (a
veces en almohadillas de coralináceas del mediolitoral inferior) en
tre Pto. Lobos y Fuerte Argentino.

Distribución geográfica: Rio Grande do Sul a Golfo San Matías.

17.- Epitonium tenuistriatum (d'Orbigny, 1840)

Scalaria tenuistriata d'Orbigny, 1840; 5(3):390, lám. 54, figs. 4-6

Epitonium tenuistriatum; Clench & Turner, 1951, Johnsonia; Castella-
nos 1970:63, lám. 4, fig. 8; Rios 1970:50, lám. 10; Figueiras y Si-
cardi 1971:110, lám. 9, fig. 135; Rios 1975:55, lám. 15, fig. 213.

Material examinado: SAO-IV 1082 (una conchilla).

Distribución en el Golfo San Matías: ha sido citada para el área de
San Antonio en base a valvas vacías.

Distribución geográfica: Rio Grande do Sul a Golfo San Matías.

Superfamilia CALYPTRAEACEA
Familia CALYPTRAEIDAE

Género Crepidula Lamarck, 179918.- Crepidula aculeata (Gmelin, 1790)Patella aculeata Gmelin, 1790:3693Crepidula aculeata aculeata; Parodiz, 1939. Physis 17: 695, lám. 1, fig. 1
Castellanos 1970:43, lám. 3, fig. 4Crepidula aculeata fortis; Parodiz, 1939:696, lám. 1, fig. 5; Castellanos 1970:44Crepidula aculeata; Camacho 1966:121, lám. 15, fig. 20ab; Rios 1970:55;
Figueiras y Sicardi 1971:116, lám. 10, fig. 45Material examinado: SAO-II 101, 104; SAO-I 23, 30, 46; SAO-III 1064,
1118, 1132Distribución en el Golfo San Matías: Infralitoral superior rocoso en
Piedras Coloradas y Pta. Mejillón. Generalmente sobre conchillas de
mejillón y roca suelta entre Ite. Lobos y Los Chañares; 12 a 36 m.Distribución geográfica: cosmopolita. En el Atlántico Sur, toda la
costa brasileña a Sur de la Argentina.19.- Crepidula dilatata Lamarck, 1822Crepidula dilatata Lamarck, 1822:642Crepidula patagonica d'Orbigny, 1847:464Crepidula dilatata dilatata; Parodiz 1939:687, lám. 1, fig. 2; Castellanos 1970:46, lám. 3, fig. 14Crepidula dilatata patagonica; Camacho 1966:121, lám. 15, fig. 23Crepidula dilatata; Camacho 1966:121, lám. 15, fig. 21ab

Material examinado: SAO-I 18; SAO-III 1002, 1118

Distribución en el Golfo San Matías: frecuente en el infralitoral del
área de Pta. Mejillón (0-40 m), en especial como epizoico de Mytilus.
Raro en el infralitoral rocoso superior de Pto. Lobos.Distribución geográfica: Sur del Brasil a Tierra del Fuego, Malvinas
y Estrecho de Magallanes; por el Pacífico hasta Norte de Chile.20.- Crepidula plana Say, 1822 (*)Crepidula plana Say, 1822. Journ.Acad.Nat.Sci. Philadelphia 2:308

Rios 1970:56; 1975:65, lám. 17, fig. 260

Crepidula unguiformis Lamarck, 1822, 6:642; Parodiz 1939:698, lám. 1,
figs. 7-8; Castellanos 1970:43, lám. 3, fig. 8; Figueiras y Sicardi
1971:117, lám. 10, fig. 147Crepidula plana; Abbott 1974, American Seashells 2nd Ed.:142, fig.1570Distribución geográfica: Cosmopolita. Citada para el área del Golfo
San José (Castellanos 1970).

21.- Crepidula sp.

Crepidula onyx; Parodiz 1939:700, lám. 1, fig. 1; Castellanos 1970:45, lám. 3, fig. 12.

Material examinado: SAO-I B, 17; SAO-II 104. Fondos de pesca de vieira Chlamys tehuelchus.

Distribución en el Golfo San Matías: abundante en los bancos de "vieira" y mejillón (infralitoral) entre Pta. Mejillón y Los Chañares.

Distribución geográfica: insuficientemente conocida. En el Atlántico, tentativamente 45° Lat. S a 35° Lat. S.

Observaciones: especie en estudio por varios investigadores, por lo que preferimos denominarla de esta manera.

22.- Crepidula protea d'Orbigny, 1835

Crepidula protea d'Orbigny, 1835, 5: 465

Parodiz, 1939:702, lám. 1, fig. 6; Camacho 1966:121, lám. 15, fig. 22; Castellanos 1970:42, lám. 3, fig. 11; Rios 1970:56, lám. 11; Figueiras y Sicardi 1971:116, lám. 10, fig. 146; Rios 1975:64-65, lám. 17, Material examinado: SAO-I 30; SAO-III 1109. /fig. 259

Distribución en el Golfo San Matías: comunidad de Chlamys tehuelchus sobre fondos rocosos (infralitoral) entre Fte. Argentino e Ite. Lobos. Infralitoral superior rocoso de Baliza San Matías.

Distribución geográfica: Antillas a Golfo San Matías.

Superfamilia NATICACEA
Familia NATICIDAE

Género Natica Scopoli, 177723.- Natica limbata d'Orbigny, 1840

Natica limbata d'Orbigny, 1840:402, lám. 57, figs. 7-9

Castellanos 1970:56, lám. 3, fig. 7; Rios 1970:64; Figueiras y Sicardi 1971:118-119, lám. 10, fig. 150; Rios 1975:67

Natica atrocyanea Philippi, 1845. Arch. Natur. 11(1):3, fig. 2

Material examinado: SAO-III 1113, 1114.

Distribución en el Golfo San Matías: frecuente en Caleta de los Loros (mediolitoral e infralitoral superior, fondos arenosos). Se observó predando sobre Darina solenoides. Citada para varias localidades entre la desembocadura del Río Negro y Pto. Lobos (Castellanos 1970).

Distribución geográfica: Río de Janeiro a Pcia. de Santa Cruz (Arg.).

Orden NEOGASTROPODA
Superfamilia MURICACEA
Familia MURICIDAE

Género Morula Schumacher, 181724.- Morula necocheana (Pilsbry, 1908) (+)

Sistrum necocheanum Pilsbry, 1908. The Nautilus 14(1):3, fig. 2

Drupa necocheana; Castellanos 1970:79, lám. 5, fig. 12

Morula necocheana; Rios 1970:81, lám. 24; Figueiras y Sicardi 1972, Com. Soc. Malac. Urug. 3(22):171, lám. 12, fig. 164; Rios 1975:92, lám. 27, fig. 381.

Distribución geográfica: Espíritu Santo (Brasil) a Golfo San Matías.

Género Trophon Montfort, 181025.- Trophon geversianus (Pallas, 1774)

Buccinum geversianum Pallas, 1774. Spicil. Zool. 10:33, lám. 3, fig. 12

Trophon geversianus; Carcelles 1946, Notas Mus. La Plata 11 (Zool. 93): 60, lám. 1, figs. 5ab; Castellanos 1970:76, lám. 5, fig. 2.

Material examinado: SAO-III 1001, 1002, 1011, 1046, 1055, 1061, 1108; SAO-IV 1083.

Distribución en el Golfo San Matías: mediolitoral e infralitoral superior rocoso entre Pto. Lobos y Baliza San Matías (abundante en la comunidad de mitílidos en Pto. Lobos e Isla Colorado).

Distribución geográfica: Provincia de Buenos Aires a Estrecho de Magallanes, Islas Malvinas y Antártida.

26.- Trophon lamellosa (Gmelin, 1791)

Murex lamellosus Gmelin, 1791. Syst. Naturae, 13 Ed. 1(4):3793

Murex laciniatus Martyn, 1789. Univer. Conch. 2; lám. 42 (inv.)

Trophon laciniatus; Carcelles 1946:69, figs. 6ab, 7ad, 8; Castellanos 1970:74, lám. 5, fig. 1; Rios 1970:80, lám. 23; Figueiras y Sicardi 1972:170, lám. 11, fig. 162

Trophon lamellosa; Dell 1972, Rec. Dom. Mus. 8(3):38

Material examinado: SAO-III 1001, 1002, 1011

Distribución en el Golfo San Matías: frecuente en la comunidad de mitílidos del infralitoral superior rocoso entre Pto. Lobos y Pta. Isla Colorado.

Distribución geográfica: Río Grande do Sul a Tierra del Fuego, Islas Malvinas y Sur de Chile.

27.- Trophon pallidus (Broderip, 1832) (+)

Murex pallidus Broderip, 1832, Proc. Zool. Soc. London :194

Trophon pallidus; Castellanos 1970:73, lám. 5, fig. 5 y 13

Distribución en el Golfo San Matías: Pta. Norte, Península Valdez (Castellanos 1970).

Distribución geográfica: Sur de Prov. de Buenos Aires a Tierra del Fuego.

LAND SNAILS FROM MONITO ISLAND, WEST INDIES

Fred G. Thompson

Florida State Museum
University of Florida
Gainesville, Florida 32611

Monito Island is a small limestone island approximately a half square kilometer in area and adjacent to Mona Island in the Mona Passage between Hispaniola and Puerto Rico. Monito lies about 5 km northwest of Mona and the two islands are separated by a depth of only about 240 m. Monito is bordered on all sides by precipitous cliffs which rise 35 m or more above the surrounding sea and is virtually accessible only by helicopter. The ground surface is rugged and pitted and is covered with xeric scrub vegetation that seldom exceeds 2 m in height. Because of the proximity of Monito to Mona I anticipated prior to my visit that the land snail fauna of the two islands would be similar (for a report on the land snails of Mona Island see W. J. Clench, 1951, *Journal de Conchyliologie*, 90: 269-276).

On May 20, 1974, through the courtesy of the United States Coast Guard, I had the opportunity to visit Monito for 24 hours, during

which time I devoted nearly all of my attention to collecting mollusks, reptiles and amphibians. The following land snails were collected, and are deposited in the Florida State Museum.

Lucidella umbonata (Shuttleworth)
Gastrocopta pellucida (Pfeiffer)
Hojeda inaguensis (Shuttleworth)

It is particularly noteworthy that larger species of land snails were not found. Six other genera, *Cerion*, *Drymaeus*, *Brachypodella*, *Hemitrochus*, *Plagiptycha* and *Chonodropoma*, were anticipated but there was no evidence of these on the island, not even dead shells or fragments. The six genera not encountered are entities that would be expected on the island for biogeographic reasons. They occur on other small islands in the area. The island is ecologically suitable for them. The island is close to other islands which could serve as founder sources, and the island is in the center of a hurricane tract,

which almost guarantees adventitious dispersal of some land snails.

Members of these six genera are non-secretive. They are active on exposed surfaces and they aestivate on exposed plants and rocks. I postulate that their absence is due to predation by introduced rats. The island is infested with *Rattus*

rattus, which readily devours land snails in other places where this rodent occurs. (Most of the specimens of *L. umbonata* found were gnawed shells.) I suspect that the absence of the larger land snails on Monito Island is a consequence of rat predation and is not a reflection of an originally prehuman depauperate fauna.

28.- Trophon varians (d'Orbigny, 1841)

Murex varians d'Orbigny, 1841:452, lám. 62, figs. 4-7

Trophon varians; Carcelles 1943, Notas Mus. La Plata 8 (Zool.72):431, lám. 1, figs. 1-4; lám. 2, figs. 5-7; lám. 3, fig. 14; Camacho 1966: 125, lám. 16, fig. 2; Castellanos 1970:75, lám. 5, figs. 3-4.

Material examinado: SAO-III 1001, 1002, 1045, 1108, 1118.

Distribución en el Golfo San Matías: medio-litoral e infralitoral superior rocoso entre Pto. Lobos y Pta. Mejillón.

Distribución geográfica: desembocadura del Río de la Plata a Golfo Nuevo.

Superfamilia BUCCINACEA

Familia COLUMBELLIDAE

Género Anachis H. & A. Adams, 185329.- Anachis moleculina (Duclos, 1835)

Columbella moleculina Duclos, 1835. Hist. Nat. Coqu., lám. 9, figs. 1-2

Pyrene moleculina; Castellanos 1970:83, lám. 6, figs. 3, 4

Anachis moleculina; Figueiras y Sicardi 1972:175, lám. 12, fig. 169; Sicardi 1975, Com. Soc. Malac. Urug. 4(29):104

Material examinado: SAO-III 1054, 1055, 1107, 1108, 1109

Distribución en el Golfo San Matías: infralitoral superior rocoso entre Fte. Argentino y Baliza San Matías, frecuente.

Distribución geográfica: Sur del Brasil a Golfo de San Matías. Castellanos 1970, la cita desde la "costa estadounidense, Antillas, Brasil, Uruguay y costa argentina hasta Tierra del Fuego".

30.- Anachis isabellei (d'Orbigny, 1841) (+)

Buccinum isabellei d'Orbigny, 1841:433, lám. 61, figs. 18-21

Pyrene isabellei; Castellanos 1970:85, lám. 6, fig. 8

Anachis isabellei; Rios 1970:86; Figueiras y Sicardi 1972:175, lám. 12, fig. 170; Sicardi 1975:106.

Distribución en el Golfo San Matías: infralitoral arenoso frente a las Grutas (SAO-I A) (Castellanos det.)

Distribución geográfica: Río Grande do Sul a Golfo San Matías.

31.- Anachis paessleri (Strebel, 1905) (+)

Columbella paessleri Strebel, 1905. Moll. Mag. Prov. 3:637, lám. 23, f. 38

Pyrene paessleri; Castellanos 1970:83, lám. 6, fig. 9

Anachis paessleri; Figueiras y Sicardi 1972:177, lám. 12, fig. 171; Sicardi 1975:107

Distribución en el Golfo San Matías: Pto. San Antonio (Castellanos 1970)

Distribución geográfica: Uruguay a Estrecho de Magallanes.

Género Aesopus Gould, 186032.- Aesopus metcalfei (Reeve, 1858)Terebra metcalfei Reeve, 1858. Conch. Icon. 9Aesopus metcalfei; Dall, 1889, Proc. U.S. Nat. Mus. 12:328; Castellanos & Fernández 1965, Nectropica 11(35):56; Castellanos 1970:87, lám. 6, fig. 10; Figueiras y Sicardi 1972:176, lám. 12, fig. 172; Rios 1975:101, lám. 29, fig. 425.

Material examinado: SAO-V 31, 210, 237.

Distribución geográfica: Santo Domingo a Golfo San Matías.

Observaciones: primera cita para el golfo.

Familia BUCCINIDAEGénero Dorsanum Gray, 187433.- Dorsanum moniliferum (Valenciennes, 1834)Buccinum moniliferum Valenciennes, 1834, in Kiener, Icon. Purpur. 2º: /11, lám. 3, fig. 8Dorsanum moniliferum; Carcelles y Parodiz 1939, Physis 17:747, lám. 1, fig. 1-2; Castellanos 1970:89, lám. 7, fig. 11; Rios 1970:92, lám. 28; Figueiras y Sicardi 1972:179, lám. 13, fig. 176; Rios 1975:95, f. 398.

Material examinado: SAO-III 1111.

Distribución en el Golfo San Matías: infralitoral superior arenoso frente a Caleta de los Loros, escaso.

Distribución geográfica: Rio de Janeiro a Golfo San Matías.

Género Buccinanops d'Crbigny, 184134.- Buccinanops lamarckii (Kiener, 1834)Buccinum lamarckii Kiener, 1834; 4(5), lám. 3, fig. 6Buccinum cochlidium Chemnitz, 1795:275, lám. 209, fig. 2053-4 (n.n.)Buccinanops cochlidium; Carcelles y Parodiz 1939:751, lám. 1, fig. 6; Castellanos 1970:93, lám. 7, fig. 10.Buccinanops lamarckii; Rios 1970:93; Figueiras y Sicardi 1972:181, lám. 13, fig. 180.

Material examinado: SAO-II 101, 102; SAO-IV 1082

Distribución en el Golfo San Matías: Ecotono infralitoral-circalitoral en la comunidad de Ameghinomya-Chaetopterus (35 m prof.).

Distribución geográfica: Rio de Janeiro a Golfo San Matías.

35.- Buccinanops deformis (King, 1831)

Buccinum deforme King, 1831; Zool. Jour. 5(20): sp. 64, 349

Buccinanops deformis; Carcelles y Parodiz 1939:752, lám. 1, fig. 11; Camacho 1966:132, lám. 16, fig. 9; Castellanos 1970:93, lám. 7, f.12; Rios 1970:92, lám. 27; Figueiras y Sicardi 1972:179, lám. 13, fig. 177; Rios 1975:96, lám. 27, fig. 399.

Material examinado: SAO-III 1074

Distribución en el Golfo San Matías: mediclitoral inferior-infralitoral superior de playas Las Grutas (ha sido citado también para el "mediolitoral arenoso" de la zona de San Antonio Oeste y la desembocadura del Rio Negro, Castellanos 1970).

Distribución geográfica: Espíritu Santo (Brasil) a Golfo San Matías.

36.- Buccinanops globulosum (Kiener, 1834)

Buccinum globulosum Kiener, 1834:12, lám. 10, fig. 33

Buccinanops globulosum; Carcelles y Parodiz 1939:764, lám. figs. 7, 8, 9; Camacho 1966:131, lám. 16, fig. 8; Castellanos 1970:90, lám. 7, f.5; Figueiras y Sicardi 1972:180, lám. 13, fig. 178.

Material examinado: SAO-III 1012, 1020, 1045, 1048, 1052, 1062, 1074, 1107, 1110, 1111, 1114, 1117; SAO-IV 1082, 1083, 1121; Bahía de San Antonio.

Distribución en el Golfo San Matías: Mediolitoral inf.-infralitoral sup. arenoso y arenofangoso entre Pta. Isla Colorada y Bahía Creek.

Distribución geográfica: costa atlántica uruguaya a Prov. de Sta. Cruz.

37.- Buccinanops gradatum (Deshayes, 1844)

Buccinum gradatum Deshayes, 1844: 10:186, lám. 61

Buccinanops gradatum; Carcelles y Parodiz 1939:760, lám. 1, fig. 3+4, 5; Camacho 1966:130, lám. 16, fig. 6; Castellanos 1970:92, lám. 7, fig. 6; Rios 1970:93, lám. 27; Figueiras y Sicardi 1972:182, lám. 13, fig. 181.

Material examinado: SAO-III 1111.

Distribución en el Golfo San Matías: infralitoral superior arenoso frente a Caleta de los Loros; Castellanos, 1970, lo cita también para Bahía San Antonio y desembocadura del Rio Negro.

Distribución geográfica: Rio de Janeiro a Golfo San Matías.

38.- Buccinanops uruguayensis (Pilsbry, 1897) (+)

Bullia uruguayensis Pilsbry, 1897; The Nautilus 11(1):6

Buccinanops uruguayensis; Carcelles y Parodiz 1939:760, lám. 1, fig. 12; Camacho 1966:130, lám. 16, fig. 6; Castellanos 1970:91, lám. 7, fig. 14; Rios 1970:93, lám. 27; Figueiras y Sicardi 1972:183, lám. 13, fig. 182; Rios 1975:96, lám. 28, fig. 402.

Distribución en el Golfo San Matías: Pta. Villarino (Castellanos, 1970)

Distribución geográfica: San Pablo (Brasil) a Golfo San Matías.

Superfamilia VOLUTACEA
Familia OLIVIDAE

Género Olivancillaria d'Orbigny, 1839

39.- Olivancillaria vesica auricularia (Lamarck, 1810) (+)

Oliva auricularia Lamarck, 1810. Ann. Mus. Hist. Nat. Paris

Olivancillaria auricularia; Carcelles 1944:259, lám. 5, fig. 46; Camacho 1966:140, lám. 17, fig. 4; Castellanos 1970:118, lám. 9, fig. 1
Olivancillaria vesica auricularia; Klappenbach 1966, Arch. Moll. 95 (1-2):75-77; Rios 1970:101, lám. 31; Figueiras y Sicardi 1973, Com. Soc. Malac. Urug. 3(25):260-261, lám. 14, fig. 187.

Distribución geográfica: Santa Catarina (Brasil) a Provincia de Buenos Aires.

Observaciones: Klappenbach (1966) considera que las citas de esta especie para la costa de Patagonia están basadas posiblemente en ejemplares de O. carcellesi. Carcelles, 1944; Camacho, 1966 y Castellanos, 1970, mencionan como límite sur de distribución al Golfo San Matías, pero no dan localidades concretas. Consideramos que su distribución sur está ligada al área de Puerto Quequén.

40.- Olivancillaria urceus (Röding, 1798)

Oliva brasiliensis Chemnitz, 1788. Conch. Cab. 10:130, lám. 197, fig. Porphyria urceus Röding, 1798. Mus. Bolten.:37 /1767 (n.n.)

Olivancillaria brasiliiana; Camacho 1966:139, lám. 17, fig. 3

Olivancillaria brasiliensis; Castellanos 1970:117, lám. 9, fig. 2

Olivancillaria urceus; Rios 1970:101, lám. 31; Figueiras y Sicardi, 1973:259, lám. 14, fig. 186; Rios 1975:110-111, lám. 32, fig. 468

Material examinado: SAO-III 1111.

Distribución en el Golfo San Matías: infralitoral superior arenoso frente a Caleta de los Loros.

Distribución geográfica: Rio de Janeiro a Golfo San Matías.

41.- Olivancillaria uretai Klappenbach, 1965

Olivancillaria uretai Klappenbach, 1965. Com. Zool. Mus. Hist. Nat.

Mdeo. 8(104):6-9, lám. 2; Castellanos 1970:119, lám. 9, fig. 6;
Rios 1970:100, lám. 31; Figueiras y Sicardi 1973:263, lám. 14, f. 192

Material examinado: SAO-III 1111.

Distribución en el Golfo San Matías: infralitoral superior arenoso frente a Caleta de los Loros, frecuente.

Distribución geográfica: Rio de Janeiro a Golfo San Matías.

42.- Olivancillaria carcellesi Klappenbach, 1965

Olivancillaria carcellesi Klappenbach, 1965:2-6, lám. 1; Castellanos 1970:120, lám. 9, figs. 3,4; Rios 1970:99-100, lám. 30; Figueiras y Sicardi 1973:263, lám. 14, fig.191; Rios 1975:110, lám. 32,fig. 462.
Material examinado: SAO-III 1111

Distribución en el Golfo San Matías: infralitoral arenoso frente a Caleta de los Loros; frecuente en el infralitoral superior.

Distribución geográfica: Rio de Janeiro a Golfo San Matías.

Género Ancilla Lamarck, 179943.- Ancilla dimidiata (Sowerby, 1850)

Ancillaria dimidiata Sowerby, 1850. Thes. Conch.

Ancilla dimidiata; Rios 1970:102, lám. 32; Figueiras y Sicardi 1973: 264, lám. 15, fig. 193; Rios 1975:111, lám. 33, fig. 472.

Ancilla tankervillei; Fernández 1965, Neotropica 11(36):95; Castellanos 1970:121, lám. 9, fig. 7.

Material examinado: SAO-I B; SAO-V 220

Distribución en el Golfo San Matías:

Distribución geográfica: Rio de Janeiro a Golfo San Matías.

Género Olivella Swainson, 183144.- Olivella plata (Ihering, 1909) (+)

Olivancillaria auricularia plata Ihering, 1909. An. Mus. Nac. Buenos Aires 3(10):432

Olivella plata; Castellanos y Fernández 1965, Neotropica 2(36):101-104, figs. 1-2; Figueiras y Sicardi 1973:266, lám. 15, fig. 196.

Distribución en el Golfo San Matías: Pto. San Antonio y Golfo San José (Castellanos 1970).

Distribución geográfica: Uruguay a Golfo Nuevo (Chubut).

45.- Olivella tehuelcha (Duclos, 1835)

Cliva tehuelcha Duclos 1835. Monogr. des Clives, lám. 4, figs. 7-14

Olivina puelchana d'Orbigny, 1841:418, lám. 59, figs. 13-19

Olivella puelchana; Castellanos 1970:122, lám. 10, fig. 5

Olivella tehuelcha; Rios 1970:105; Figueiras y Sicardi 1973:265-266, lám. 15, fig. 195; Rios 1975:114, lám. 34, fig. 486

Material examinado: SAO-II 125; SAO-III 1047, 1107, 1108, 1109; SAO-IV 1082, 1083

Distribución en el Golfo San Matías: mediolitoral inferior-infralitoral superior arenoso entre Ite. Lobos y Baliza San Matías. Infralitoral en las pozas de marea.

Distribución geográfica: Rio Grande do Sul (Brasil) a Golfo Nuevo.

Familia VOLUTIDAEGénero Adelomelon Dall, 190646.- Adelomelon brasiliiana (Lamarck, 1811) (+)

Voluta brasiliiana Solander, 1785. Cat. Portland Mus.: 186 (n.n.)

Voluta brasiliiana Lamarck, 1811. Ann. Mus. Hist. Nat. Paris 17: 62

Adelomedon brasiliiana; Castellanos 1970: 115, lám. 8, fig. 3

Adelomelon brasiliiana; Rios 1970: 110, lám. 35, 38; Figueiras y Sicardi 1973: 273-274, lám. 16, fig. 203.

Distribución en el Golfo San Matías: San Antonio (Castellanos 1970)

Distribución geográfica: Rio de Janeiro a Golfo San Matías.

47.- Adelomelon paradoxa (Lahille, 1895) (+)

Voluta paradoxa Lahille, 1895. Rev. Mus. La Plata 6: 29, lám. 2, fig. 68

Adelomedon paradoxa; Castellanos 1970: 110, lám. 8, fig. 4

Distribución en el Golfo San Matías: San Antonio Oeste (Castellanos).

Distribución geográfica: "costa sur de Argentina, no existe localidad típica" (Castellanos, 1970).

Género Odontocymbiola Clench & Turner, 196448.- Odontocymbiola magellanica (Gmelin, 1791)

Voluta magellanica Gmelin, 1791: 3465

Cymbiola magellanica; Carcelles 1944: 256, lám. 4, fig. 39

Odontocymbiola magellanica; Castellanos 1970: 114, lám. 8, fig. 5; Rios 1970: 111; Figueiras y Sicardi 1973: 275, lám. 16, fig. 209.

Material examinado: SAO-I 24; SAO-II 101, 104, 110; San Antonio Oeste.

Distribución en el Golfo San Matías: infralitoral-circalitoral entre Ite. Lobos y Caleta de los Loros (entre 15 y 90 m de profundidad).

Distribución geográfica: desembocadura del Rio de la Plata a Estrecho de Magallanes e Islas Malvinas. Por el Pacífico hasta Chiloé (Chile)

49.- Odontocymbiola subnodosa (Leach, 1814) (+)

Voluta subnodosa Leach, 1814. Zool. Misc. 1: 24, lám. 8.

Adelomedon (?) sudnodosa; Castellanos 1970: 111, lám. 8, fig. 9

Odontocymbiola subnodosa; Castellanos 1970b, Neotropica 16(49): 1-4; Figueiras y Sicardi 1973: 276-277, lám. 16, fig. 210.

Distribución en el Golfo San Matías: Pta. Villarino y Golfo San José (Castellanos, 1970).

Distribución geográfica: Desembocadura del Rio de la Plata a Estrecho de Magallanes e Islas Malvinas.

50.- Odontocymbiola tuberculata (Swainson, 1821) (+)

Voluta tuberculata Swainson, 1821. Exot. Conch.:19, lám. 29.

Adelomedon (?) tuberculata; Castellanos 1970:112, lám. 8, fig. 2

Odontocymbiola tuberculata; Castellanos 1970b:1-4

Distribución en el Golfo San Matías: Pto. San Antonio (Castellanos, 1970)

Distribución geográfica: Castellanos (1970) la cita entre los 22º de Lat. S hasta costa bonaerense y sur de Patagonia.

Género Zidona H. & A. Adams, 185351.- Zidona dufresnei (Donovan, 1823)

Voluta dufresnei Donovan, 1823. Natur. Repos. 2, lám. 61

Voluta angulata Swainson, 1821; láms. 3, 4

Zidona angulata; Castellanos 1970:106, lám. 8, fig. 1

Zidona dufresnei; Rios 1970:109, láms. 36, 38; Figueiras y Sicardi 1973: 269-270, lám. 15, fig. 200; Rios 1975:106, lám. 31, fig. 451.

Material examinado: SAO-II 108

Distribución en el Golfo San Matías: comunidad de Chlamys tehuelchus frente a Fuerte Argentino, fondo de piedra a 42 m de profundidad. Escasa. Habita también fondos arenosos.

Distribución geográfica: Rio de Janeiro a Golfo San Matías.

Familia MARGINELLIDAE

Género Cryptospira Hinds, 184452.- Cryptospira martini (Petit, 1853)

Marginella martini Petit, 1853. Jour. Conch. 4:326, lám. 11, fig. 4

Marginella prunum; Castellanos 1970:125

Cryptospira martini; Rios 1970:113-114, lám. 41; Figueiras y Sicardi 1973: 279-280, lám. 17, fig. 214.

Material examinado: SAO-I A; Bahía de San Antonio; San Antonio Oeste (comunidad de Glycymeris longior).

Distribución en el Golfo San Matías: infralitoral superior e infralitoral arenofangoso frente a la Bahía de San Antonio.

Distribución geográfica: Rio de Janeiro a Golfo de San Matías.

Superfamilia CONACEA

Familia TEREBRIDAE

Género Terebra Bruguière, 178953.- Terebra gemmulata Kiener, 1835 (+)

Terebra gemmulata Kiener, 1835:15, lám. 5, fig. 11; Camacho 1966:138, lám. 16, fig. 15; Castellanos 1970:139, lám. 10, fig. 9; Figueiras y Sicardi 1973:285, lám. 17, fig. 223; Rios 1975:125, lám. 38, f. 552.

Distribución geográfica: Rio de Janeiro a Golfo San Matías.

Observaciones: no hemos hallado citas concretas de localidades del golfo.

Familia TURRIDAE

Género Pleurotomella Verrill, 1873

54.- Pleurotomella aguayoi (Carcelles, 1953)

Clathurella aguayoi Carcelles, 1953. Com. Zool. Mus. Hist. Nat. Mdeo. 4(70):12-13, lám. 4, fig. 20; Castellanos 1970:132, lám. 9, fig. 10; Rios 1970:128, lám. 48; Figueiras y Sicardi 1973:283-284, lám. 17, fig. 221.

Pleurotomella aguayoi; Rios 1975:140, lám. 42, fig. 648

Material examinado: SAO-I 46

Distribución en el Golfo San Matías: infralitoral, fondo de grava frente a Isla Lobos a 36 m de profundidad.

Distribución geográfica: Rio de Janeiro a 44° S.

Subclase OPISTHOBRANCHIA

Orden CEPHALASPIDEA

Superfamilia PHILINACEA

Familia SCAPHANDRIDAE

Género Tornatina A. Adams, 1850

55.- Tornatina candei (d'Orbigny, 1841)

Bulla candei d'Orbigny, 1841. de la Sagra, 5:65, lám. 4b, figs. 1-4
Acteocina candei; Castellanos 1970:143, lám. 11, fig. 1; Abbott, 1974: 313, fig. 3919

Retusa candei; Rios 1970:132

Tornatina candei; Figueiras y Sicardi 1974; Com. Soc. Malac. Urug. 3(20):325, lám. 18, fig. 228.

Tornatina canaliculata; Rios 1975:149, lám. 45, fig. 699.

Material examinado: SAO-I 7, 22, 23, 25, 49, 50, 51, 54; SAO-II 126.

Distribución en el Golfo San Matías: fondos de arena y grava entre Punta Isla Colorada y Barranca Final, entre 12,5 y 41,4 m de profundidad.

Distribución geográfica: Carolina del Norte, Golfo de Mexico, Caribe, Brasil a Golfo San Matías.

Superfamilia PYRAMIDELLACEA
Familia PYRAMIDELLIDAE

Género Turbanilla Risso, 1826

56.- Turbanilla uruguensis Pilsbry, 1897

Turbanilla uruguensis Pilsbry, 1897. Proc. Acad. Nat. Sci. Phila. 49: 296, lám. 6, figs. 9-10; Castellanos 1970: 51, lám. 4, fig. 7; Rios 1970: 135, lám. 49; Figueiras y Sicardi 1974: 334-335, lám. 19, fig. 243; Rios 1975: 144, lám. 43, fig. 569.

Material examinado: SAO-I 15; SAO-III 1011.

Distribución en el Golfo San Matías: fondos de arena fina entre Pta. Isla Colorada y Pta. Mejillón, 0 a 36 m de profundidad.

Distribución geográfica: Sur del Brasil a Golfo San Matías.

Observaciones: primera cita para el golfo.

Orden NUDIBRANCHIA
Superfamilia DORIDACEA
Familia ARCHIDORIDAE

Género Anisodoris Berg, 1898

57.- Anisodoris fontainei (d'Orbigny, 1837)

Doris fontainei d'Orbigny, 1837: 189, lám. 5, figs. 1-3

Anisodoris fontainei; Castellanos 1970: 147, lám. 11, fig. 7

Material examinado: SAO-I 46, 47, 31; SAO-II 125, 127.

Distribución en el Golfo San Matías: Infralitoral-circalitoral entre Puesto Ortiz y Pto. Lobos, fondos de arena, arena-fango y roca entre 18 y 70 m de profundidad.

Distribución geográfica: Provincia de Buenos Aires a Estrecho de Magallanes. Por el Pacífico hasta Perú.

Familia DISCODORIDAE

Género Geitodoris Berg, 1892

58.- Geitodoris patagonicus Odhner, 1926

Geitodoris patagonicus Odhner, 1926. Swed. Südpol. Exp. 6(1): 180; Carcelles 1950: 70, lám. 3, fig. 56; Castellanos 1970: 148, lám. 11, f. 8.

Material examinado: SAO-I 50; SAO-II 116

Distribución en el Golfo San Matías: infralitoral-circalitoral arenofangoso entre Fte. Argentino e Ite. Lobos. 36 a 90 m de profundidad.

Distribución geográfica: Puerto Quequén a Región Magallánica.

Superfamilia DENDRONOTACEA
Familia TRITONIIDAE

Género Marionia Vayssièrre, 1879

59.- Marionia cucullata (Gould, 1852)

Tritonia cucullata Gould, 1852. Moll. U.S. Expl. Exp. : 308

Marionia cucullata; Carcelles 1944: 263; Castellanos 1970: 153, lám. 11, fig. 6; Figueiras y Sicardi 1974: 339, lám. 19, fig. 251; Rios 1975: 173, lám. 54, fig. 844.

Material examinado: SAO-II 114

Distribución en el Golfo San Matías: circalitoral arenofangoso a 80m de profundidad.

Distribución geográfica: Rio de Janeiro a Golfo San Matías.

Superfamilia AEOLIDACEA
Familia AEOLIDIIDAE

Género Aeolidia Cuvier, 1798

60.- (?) Aeolidia papillosa (Linné, 1751)

(?) Aeolis papillosa Linné, 1751: 3104

(?) Aeolidia papillosa; Castellanos 1970: 152

Material examinado: SAO-III 1013, 1042, 1052, 1053, 1054, 1118.

Distribución en el Golfo San Matías: infralitoral superior rocoso entre Puerto Lobos y Punta Mejillón, frecuente.

Distribución geográfica: cosmopolita. En el Atlántico, Prov. de Buenos Aires a costa patagónica a Magallanes.

Subclase PULMONATA
Orden BASOMMATOPHORA
Superfamilia SIPHONARIACEA
Familia SIPHONARIIDAE

Género Siphonaria Sowerby, 1824

61.- Siphonaria lessoni (Blainville, 1824)

Patella lessoni Blainville, 1824. Dict. Scienc. Nat. 32: 264, lám. 44,

Siphonaria lessoni; Carcelles 1950: 72 /fig. 2

Siphonaria (Pachysiphonaria) lessoni; Olivier y Penchaszadeh 1968.

Cah. Biol. Mar. 9: 469, lám. 1

Siphonaria lessoni; Rios 1970: 140, lám. 49; Figueiras y Sicardi 1974: 341-342, lám. 19, fig. 254; Rios 1975: 157, lám. 48, fig. 762

Material examinado: SAO-III 1001, 1002, 1011, 1046, 1053, 1055, 1064, 1065, 1074, 1108, 1109, 1118; SAO-IV 1121, 1142.

Distribución en el Golfo San Matías: mediolitoral rocoso entre Puerto Lobos y La Lobería.

Distribución geográfica: Río Grande del Sur a Punta Arenas. Por el Pacífico hasta Perú.

Clase SCAPHPODA
Familia SIPHONODENTALIIDAE

Género Cadulus Philippi, 1844

62.- Cadulus tetraschistus (Watson, 1879)

Siphonodentalium tetraschistum Watson, 1879. Proc. Linn. Soc. London /14:521

Siphonodentalium quadridentatum Dall, 1881. Bull. Mus. Comp. Zool. 9(2):36

Cadulus (Polyschides) quadridentatus; Henderson 1920. Bull. U.S. Nat. Mus. 111:97-98; Scarabino 1970, Com. Soc. Malac. Urug. 3(19):42, lám. figs. 1-2; 1973, Trab. V Congr. Lat. Zool. 1:199, lám. 1, fig. 6.

Cadulus tetrodon; Carcelles y Parodiz 1938. Physis 12:262, lám. 1, fig. 1. Castellanos 1970:167, lám. 1, fig. 5.

Cadulus tetraschistus; Scarabino 1975 /en/ Rios, E.C. Brazilian Marine Mollusks Iconography:182, lám. 58, fig. 889.

Material examinado: SAO-II 113

Distribución en el Golfo San Matías: infralitoral-circalitoral frente a Bahía Creek. Arena, a 71 m de profundidad.

Distribución geográfica: Carolina del Norte; Golfo de México, Caribe; Brasil a Golfo San Matías.

Clase AMPHINEURA
Subclase POLYPLACOPHORA
Orden NEOLORICATA
Familia ISCHNOCHITONIDAE

Género Chaetopleura Shuttleworth, 1853

63.- Chaetopleura fulva (Wood, 1815)

Chiton fulvus Wood, 1815. Gen. Conchol.: 7, lám. 1, fig. 2

Chiton tehuelchus d'Orbigny, 1841, 5:488, lám. 65, figs. 7-13

Typhlochiton felipponei Dall, 1921. The Nautilus 35:4

Chaetopleura tehuelcha; Figueiras y Sicardi 1968. Com. Soc. Malac. Urug. 2(14):239, lám. 1, fig. 1

Chaetopleura fulva tehuelcha; Righi 1967, Pap. Av. Zool. S. Paulo 20:91 figs. 21-31; 1971, Pap. Av. Zool. S. Paulo 24:134; Rios 1970:142, lám. 50 1975:266, lám. 87, fig. 1284.

Chaetopleura fulva; Bullock, 1972. Occ. Pap. Moll. 3(42):177-180, lám. 34, fig. 1 (extensa sinonimia).

Material examinado: SAO-I B, 3, 26, 47; SAO-II 104; SAO-III, 1064; SAO-IV 1082.

Distribución en el Golfo San Matías: infralitoral rocoso entre Islote Lobos y Caleta de los Loros. 0-50 m de profundidad.

Distribución geográfica: Río de Janeiro a región Magallánica. España y Portugal.

64.- Chaetopleura isabellei (d'Orbigny, 1841)

Chiton isabellei d'Orbigny, 1841. 5:488, lám. 65, figs. 14-19

Chaetopleura isabellei; Figueiras y Sicardi 1968:240, lám. 1, fig. 2; Castellanos 1970:161, lám. 1, fig. 11.

Material examinado: SAO-I C, 26; SAO-III 1001, 1002, 1011, 1046, 1048, 1051, 1053, 1054, 1055, 1064, 1107, 1109, 1118.

Distribución en el Golfo San Matías: infralitoral superior rocoso entre Puerto Lobos y Punta Mejillón, frecuente.

Distribución geográfica: Río de Janeiro a región Magallánica.

Familia MOPALIDAE

Género Plaxiphora Gray, 1847

65.- Plaxiphora aurata aurata (Spalowsky, 1795)

Chiton auratus Spalowsky, 1795. Proc. Syst. Hist. Test.:88, lám.12, f.6a-b

Plaxiphora aurata; Castellanos 1970:163, lám. 1, fig. 13

Plaxiphora aurata aurata; Zaixo 1974. Contr. Cient. 109 CIBIMA:3-5, lám. 4-5 Bs. As.

Material examinado: SAO-III 1001, 1002, 1011, 1046, 1048, 1051, 1053, 1054, 1066, 1064, 1108, 1109, 1118; SAO-IV 1142

Distribución en el Golfo San Matías: similar a la anterior.

Distribución geográfica: Provincia de Buenos Aires a región Magallánica. Por el Pacífico hasta Valparaíso (Chile). Nueva Zelandia.

Clase PELECYPODA

Subclase PTERIOMORPHIA

Orden ARCOIDA

Superfamilia LIMOPSACEA

Familia GLYCIMERIDIDAE

Género Glycymeris Da Costa, 1778

66.- Glycymeris longior (Sowerby, 1832)

Pectunculus longior Sowerby, 1832. Proc. Zool. Soc. London 2:196

Glycimeris longior; Castellanos 1970:198, lám. 16, fig. 5

Glycymeris longior; Figueiras y Sicardi 1968, Com. Soc. Malac. Urug. 2(15):261, lám. 1, fig. 10; Rios 1970:154, lám. 52; 1975:195, lám. 63, fig. 954

Material examinado: SAO-I 23, 24, 52; frente a San Antonio Oeste.

Distribución en el Golfo San Matías: fondos de arena, conchilla y grava entre Fte. Argentino y Piedras coloradas. 12,5 a 30 m de prof.

Distribución geográfica: Espíritu Santo a Golfo San Matías.

Orden MYTILOIDA

Superfamilia MYTILACEA

Familia MYTILIDAE

Género Brachidontes Swainson, 1840

67.- Brachidontes purpuratus (Lamarck, 1797)

Modiolus purpuratus Lamarck, 1797:219, fig. 3

Brachydontes purpuratus; Carcelles 1950:75

Material examinado: Bahía de San Antonio; SAO-III 1001, 1002, 1010, 1011, 1020, 1042, 1048, 1050, 1053, 1054, 1055, 1064, 1074, 1108

Distribución en el Golfo San Matías: mediolitoral rocoso entre Puerto Lobos y Baliza San Matías. Dominante entre Puerto Lobos e Ite.Lobos.

Distribución geográfica: Golfo San Matías a región Magallánica por el Atlántico; por el Pacífico hasta Ecuador.

68.- Brachidontes rodriguezi (d'Orbigny, 1846)

Mytilus rodriguezi d'Orbigny, 1846:645, pl. 85, figs. 9-11

Brachidontes (Brachidontes) rodriguezi; Klappenbach 1965. Ann. Acad.

Brasil. Cienc. 37 (Supl.):336; Figueiras y Sicardi 1968:266, lám. 2, fig. 20; Rios 1975:198, lám. 64, fig. 695

Material examinado: SAO-III 1001, 1002, 1010, 1011, 1020, 1042, 1048, 1050, 1052, 1053, 1054, 1055, 1064, 1074, 1108, 1111, 1118, 1132.

Distribución en el Golfo San Matías: mediolitoral rocoso entre Bahía Rosas y Puerto Lobos. Ejemplares aislados entre Spartina en Caleta de los Loros y banco asentado en sustrato arenoso en la zona de Punta Villarino. Dominante en la zona norte noroeste del golfo.

Distribución geográfica: Río Grande do Sul a Golfo San Matías.

Género Crenella Brown, 1827

69.- Crenella divaricata (d'Orbigny, 1842)

Nuculocardia divaricata d'Orbigny, 1842: lám. 27, fig. 55-59

Crenella divaricata; Klappenbach 1965:345; Castellanos 1970:216; Figueiras y Sicardi 1970b.Com.Soc. Malac. Urug. 3(19):17, lám. 7, fig. 95; Rios 1975:197, lám. 63, fig. 958.

Material examinado: SAO-I A (Castellanos det.); SAO-V 221

Distribución en el Golfo San Matías: infralitoral arenoso entre Las Grutas y El Sótano.

Distribución geográfica: Carolina del Norte, Caribe, Brasil a Golfo San Matías.

Observaciones: primera cita para el golfo.

Género Aulacomya Mörch, 1835

70.- Aulacomya ater (Molina, 1782)

Mytilus ater Molina, 1782. Sagg. St. Nat. Chili: 202, lám. 9

Aulacomya magallanica; Carcelles 1942, Physis 19:182; Castellanos 1970: 214, lám. 17, fig. 7

Aulacomya ater; Osorio y Bahamonde 1968, Ser. Agric. Gan. Pesq. Biol. Chile 3:88, fig. 9; Figueiras y Sicardi 1968:266-267, lám. 2, fig. 21; Rios 1975:201, lám. 64, fig. 980

Material examinado: SAO-I 9; SAO-II 101, 102, 104; SAO-III 1001, 1002, 1011, 1042, 1048, 1052, 1054, 1055, 1065, 1118; SAO-IV 1110, 1132

Distribución en el Golfo San Matías: infralitoral rocoso y arenoso entre Puerto Lobos y Caleta de los Loros, 0 a 35 m de profundidad.

Distribución geográfica: por el Atlántico, región Magallánica y Malvinas hasta el sur del Brasil (por arrastre en objetos flotantes), fijo hasta el sur de la provincia de Buenos Aires. Por el Pacífico hasta Perú.

Género Mytilus Linné, 1758

71.- Mytilus edulis platensis d'Orbigny, 1846

Mytilus edulis d'Orbigny, 1842: 23

Mytilus platensis d'Orbigny, 1846: 645, lám. 85, figs. 3, 4; Castellanos 1957: Min. Agr. Ganad. Dep. Inv. Pesq.: 5, lám. 1, fig. 2-3; lám. 3, fig. 2, 3; 1970: 210, lám. 17, fig. 3, 4

Mytilus (Mytilus) platensis; Carcelles 1944: 271, lám. 6, fig. 57

Mytilus edulis platensis; Klappenbach 1965: 331, lám. 1, fig. 1; Figueiras y Sicardi 1968: 264, lám. 1, fig. 17; Rios 1970: 156, lám. 53; 1975: 197, lám. 63, fig. 959.

Mytilus edulis chilensis; Osorio y Bahamonde 1968: 82, lám. 4

Mytilus chilensis; Castellanos 1957: 6, lám. 1, fig. 1; lám. 3, fig. 1.

Material examinado: SAO-I D, 9, 23, 24, 28, 30, 31, 32, 46, 47, 51, 52; SAC-II 104, 125, 132; SAO-III 1001, 1002, 1011, 1013, 1044, 1046, 1051, 1052, 1053, 1054, 1055, 1064, 1074, 1108, 1109, 1110, 1115, 1118, 1132; Est. permanente.

Distribución en el Golfo San Matías: mediolitoral inferior a infralitoral y circalitoral rocoso y de fondos blandos entre Puerto Lobos y Bahía Rosas.

Distribución geográfica: Sur del Brasil a región Magallánica.

Observaciones: creemos que no existen aún argumentos suficientes para elevar a rango específico a la variedad atlántica de la especie europea, así como a la subespecie chilensis del Pacífico. Este taxón, sumamente fiel a las condiciones ecológicas en sus biotopos reacciona en forma tal, en relación a su forma, tamaño y color que permiten ubicarles de acuerdo a las comunidades que pertenecen, lo que puede llevar a confusión.

Han sido citadas como subespecies (Soot-Ryen, 1955; Klappenbach, 1965; Rios, 1970, 1975) o como especie (Carcelles, 1944; Castellanos, 1957, 1970). Con relación a sus distribuciones es consenso general señalar el área de encuentro en la región Magallánica, siendo M. edulis chilensis quien penetra en el dominio de platensis. Creemos nosotros provisoriamente que no llegaría hasta el Golfo San Matías, siendo confundido con las formas extremas de la especie atlántica.

En 1968, Osorio y Bahamonde consideran ambas formas como chilensis dando su distribución desde Iquique (Chile) hasta el norte de Brasil, agregando un nuevo elemento de confusión a la posición sistemática de estas variedades. Esto debe ser corregido, Mytilus sólo tiene representantes en el sur de Brasil, cerca de Uruguay, considerando erróneas las demás localidades dadas por los referidos autores para el Atlántico.

Género Lithophaga Röding, 1798

72.- Lithophaga patagonica (d'Orbigny, 1846)

Lithodomus patagonicus d'Orbigny, 1846: 650, lám. 82, fig. 24-25; lám. 85, fig. 19-20

Lithophaga patagonica; Figueiras y Sicardi 1968: 268, lám. 2, fig. 24; Castellanos 1970: 207, lám. 17, fig. 7; Rios 1975: 201, lám. 64, f. 978.

Material examinado: SAO-I 9a, 28, 47; SAO-III 1001, 1108, 1118; SAO-IV 1110.

Distribución en el Golfo San Matías: infralitoral, fondos de tosca entre Pto. Lobos y Caleta de los Loros; 0 a 15 m de profundidad. Fre-
cuente. Endolítico.

Distribución geográfica: Santa Catarina a Tierra del Fuego e Islas Malvinas.

Género Musculus Röding, 1798

73.- Musculus viator (d'Orbigny, 1846)

Mytilus viator d'Orbigny, 1846: 644

Musculus viator; Klappenbach 1965: 343; Castellanos 1970: 215, lám. 17, fig. 9; Figueiras y Sicardi 1968: 267-268, lám. 2, fig. 23; Rios 1970: 159

Material examinado: SAO-I 18, 55 (Castellanos det.)

Distribución en el Golfo San Matías: infralitoral entre Pta. Piedras Coloradas y Baliza San Matías, 28-40 m de profundidad.

Distribución geográfica: Santa Catarina a Golfo San Matías.

Superfamilia PINNACEA
Familia PINNIDAE

Género Atrina Gray, 1840

74.- Atrina seminuda (Lamarck, 1819) (+)

Pinna seminuda Lamarck, 1919. 6:81, lám. 1

Pinna listeri d'Orbigny, 1846:641, lám. 85, fig. 2

Atrina seminuda; Castellanos 1970:207, lám. 17, fig. 11; Rios 1970:162

Atrina (Servatrina) seminuda; Figueiras y Sicardi 1968:264, lám. 1, fig. 16
Distribución en el Golfo San Matías: Punta Pórfido y desembocadura del Rio Negro (Castellanos 1970).

Distribución geográfica: Carolina del Norte (U.S.A.) a Golfo San José.

Superfamilia PECTINACEA
Familia PLICATULIDAE

Género Plicatula Lamarck, 1801

75.- Plicatula gibbosa Lamarck, 1801 (+)

Plicatula gibbosa Lamarck, 1801:132

Ostrea spondyloidea Meuschen, 1781. Zooph. Gronov. 3:276, fig. 1189 (inv.)

Plicatula spondyloidea; Camacho 1966:64, lám. 8, fig. 9a-b; Figueiras y Sicardi 1968:268, lám. 2, fig. 25; Castellanos 1970:201, lám. 15:12-14

Plicatula gibbosa; Rios 1975:209, lám. 67, fig. 1009.

Material examinado: Pta. Villarino (valvas vacías).

Distribución en el Golfo San Matías: desembocadura del Rio Negro y Pta. Villarino (Castellanos, 1970).

Distribución geográfica: North Carolina (U.S.A.) a Golfo San Matías.

Familia PECTINIDAE

El material del Mar Argentino perteneciente a esta familia debe ser revisado. Daremos en este trabajo la lista correspondiente al estado actual del conocimiento, considerándola provisoria.

Género Chlamys Röding, 1798

76.- Chlamys felipponei (Dall, 1922)

Pecten felipponei Dall, 1922. The Nautilus 35:58, lám. 7, figs. 57-58

Chlamys felipponei; Figueiras y Sicardi 1968:269-270, lám. 2, fig. 28; Castellanos 1971. Neotropica 17(53):64, figs. 7, 9, 10, 12, 13.

Material examinado: SAO-II estación permanente, 54.

Distribución en el Golfo San Matías: infralitoral, fondo de grava a 41 m de profundidad, escasa a rara.

Distribución geográfica: Prov. de Buenos Aires a Golfo San Matías.

77.- Chlamys lischkei (Dunker, 1850)

Pecten lischkei Dunker, 1850. Zeitsch. Malakozool. 8(1):30-32

Pecten patriae Doello-Jurado, 1918. Physis 4:269

Chlamys patriae; Figueiras y Sicardi 1968:269, lám. 2, fig. 27; Castellanos 1970: 203, lám. 11, figs. 9,10.

Chlamys lischkei; Klappenbach 1970. Com. Zool. Mus. Hist. Nat. Mdeo.

10(132):2-3; Figueiras y Sicardi 1970b:18; Rios 1975:206, lám. 66:994.

Material examinado: SAO-II 103, 105, 110, 111, 114, 117, 125, 133.

Distribución en el Golfo San Matías: circalitoral arenofangoso entre la desembocadura del Golfo San José y Bahía Rosas. 64-150 m de prof.

Distribución geográfica: Río Grande do Sul a Tierra del Fuego.

78.- Chlamys tehuelchus (d'Orbigny, 1846)

Pecten tehuelchus d'Orbigny, 1846:662, lám. 85, figs. 21-24

Chlamys tehuelchus; Camacho 1966:65, lám. 9, fig. 10; Figueiras y Sicardi 1968:269, lám. 2, fig. 26; Castellanos 1970:202, lám. 15, fig. 12-13; 1971:56, lám. 1, figs. 3-6; Rios 1975:206, lám. 66, fig. 998.

Material examinado: SAO-I 17, 18, 20, 24, 26, 28, 29, 31, 32, 46, 47, 48, 51, 52, 53; SAO-II, est. permanente, 101, 102, 103, 104, 108, 109, 110, 125, 126, 127, 135.

Distribución en el Golfo San Matías: infralitoral arenoso, grava o roca y ejemplares aislados en el circalitoral (niveles superiores) en Caleta de los Loros y Puerto Lobos; 12 a 90 m de profundidad.

Distribución geográfica: Espíritu Santo (Brasil) a Golfo Nuevo.

79.- Chlamys patagonicus (King, 1832) (*)

Pecten patagonicus King, 1832:337

Chlamys patagonicus; Castellanos 1971:60, lám. 2, fig. 19-20.

Distribución en el Golfo San Matías: Castellanos (1971) cita un ejemplar cuya procedencia es "Golfo San Matías".

Distribución geográfica: región Magallánica a Golfo San Matías (Castellanos, 1970); a desembocadura del Río de la Plata (Fischer-Piette-Testud, 1968. Ann. Inst. Ocean. Monaco 45(9):183-188).

En 1973, Castellanos (Neotrópica 19(59):62-64, lám. 1, fig. 3; lám. 2, fig. 4) describe Chlamys argentinensis, en base a una valva izquierda colectada, menciona, en Puerto San Antonio (Norte del Golfo San Matías).

Superfamilia ANOMIACEA
Familia ANOMITDAE

Género Pododesmus Philippi, 1837

80.- Pododesmus leloiri Carcelles, 1941

Pododesmus leloiri Carcelles, 1941. Physis 19: 7

Figueiras y Sicardi 1968: 271, lám. 2, fig. 31; Castellanos 1970: 200, lám. 15, fig. 7-8; Rios 1975: 211, lám. 68, fig. 1022.

Material examinado: SAO-I 20, 32; SAO-II 102, 104; SAO-III 1001, 1048
Distribución en el Golfo San Matías: infralitoral rocoso entre Puerto

Lobos y Caleta de los Loros. Entre 0 y 50 m de profundidad.

Distribución geográfica: Rio Grande do Sul (Brasil) a Golfo San Matías.

81.- Pododesmus rudis (Broderip, 1834)

Placunonomia rudis Broderip, 1834. Proc. Zool Soc. London 2: 2

Pododesmus rudis; Carcelles 1941: 6; Figueiras y Sicardi 1968: 270-271, lám. 2, fig. 30; Castellanos 1970: 199, lám. 15, figs. 5-6; Rios 1975: 211, lám. 68, fig. 1021.

Material examinado: SAC-I 26, 29, 32; SAO-II 102; SAO-III 1065.

Distribución en el Golfo San Matías: infralitoral rocoso y sobre Mytilus entre Islete Lobos y Baliza San Matías, entre 0 y 35 m. de prof.

Distribución geográfica: Florida (U.S.A.) a Golfo San Matías.

Superfamilia OSTREACEA
Familia OSTREIDAE

Género Ostrea Linné, 1758

82.- Ostrea puelchana d'Orbigny, 1841

Ostrea puelchana d'Orbigny, 1841: 162, lám. 177

Figueiras y Sicardi 1968: 271, lám. 2, fig. 32; Castellanos 1970: 208, lám. 15, fig. 2; Rios 1975: 204, lám. 65, fig. 989.

Material examinado: SAO-I 1, 5, 9, 18, 20, 23, 26, 28, 29, 32, 47; SAO-II 101, 102, 103; SAO-III 1001, 1002, 1011, 1042, 1046, 1048, 1050, 1051, 1052, 1053, 1055, 1064, 1108, 1109, 1118.

Distribución en el Golfo San Matías: infralitoral superior a circalitoral rocoso y sobre conchillas entre Punta Mejillón y Puerto Lobos, 0 a 36 m de profundidad.

Distribución geográfica: Rio de Janeiro a Golfo San Matías.

83.- Ostrea equestris Say, 1834 (+)

Ostrea equestris Say, 1834. American Conchology, 4, pl. 58

Figueiras y Sicardi 1968:272, lám. 2, fig. 33; Rios 1975:204, lám. 65, fig. 988.

Ostrea spreta d'Orbigny, 1845:320, lám. 28, fig. 40; Castellanos 1970: 209, lám. 15, figs. 1 y 4.

Distribución geográfica: Carolina del Norte (U.S.A.) a Golfo San Matías.

Subclase HETERODONTA

Orden VENEROIDA

Superfamilia CRASSATELLACEA

Familia CRASSATELLIDAE

Género Crassinella Guppy, 1874

84.- Crassinella maldonadoensis (Pilsbry, 1897) (+)

Crassatella maldonadoensis Pilsbry, 1897:295

Crassinella maldonadoensis; Figueiras y Sicardi 1969. Com. Soc. Malac. Urug. 2(16-17):355-356, lám. 3, fig. 36; Castellanos 1970:262, lám. 1, figs. 5-10

Material examinado: SAO-I 22 (Castellanos det.)

Distribución en el Golfo San Matías: infralitoral frente a Las Grutas. Grava, a 16 m de profundidad.

Distribución geográfica: costa atlántica uruguaya a Golfo San Matías.

Superfamilia CARDITACEA

Familia CARDITIDAE

Género Carditamera Conrad, 1838

85.- Carditamera plata (Ihering, 1907)

Cardita plata Ihering, 1907:451

Figueiras y Sicardi 1969:357, lám. 3, fig. 38; Castellanos 1970:232, lám. 16, fig. 6-8; Rios 1975:213, Lám. 68, fig. 1030.

Material examinado: SAO-V 6, 31.

Distribución en el Golfo San Matías: infralitoral arenoso entre El Sotano y Los Chañares, 20 m de profundidad.

Distribución geográfica: Rio de Janeiro a Golfo San Matías.

Observaciones: primera cita para el golfo.

Superfamilia LUCINACEA

Familia UNGULINIDAE

Género Diplodonta Bronn, 1831

86.- Diplodonta patagonica (d'Orbigny, 1842) (+)

Lucina patagonica d'Orbigny, 1842:587

Diplodonta patagonica; Castellanos 1970:241, lám. 18, figs. 15-17;
Rios 1970:174; 1975:218, lám. 70, fig. 1050.

Material examinado: Castellanos, 1970, cita un ejemplar colectado en Pta. Villarino.

Distribución geográfica: Río de Janeiro a Golfo San Matías.

87.- Diplodonta vilardeboana (d'Orbigny, 1846)

Lucina vilardeboana d'Orbigny, 1846:587, lám. 84, figs. 14-15

Diplodonta vilardeboana; Figueiras y Sicardi 1969:358, lám. 3, fig. 40;
Castellanos 1970:243, lám. 18, figs. 18-19.

Material examinado: frente a San Antonio Ceste, en fondo de grava.

Distribución en el Golfo San Matías: infralitoral, frente a Bahía de San Antonio.

Distribución geográfica: Espíritu Santo (Brasil) a Golfo San Matías.

Género Phlyctiderma Dall, 189988.- Phlyctiderma semiaspera (Philippi, 1836)

Diplodonta semiaspera Philippi, 1836. Arch. Nat. 1:225, lám. 7, fig. 2
Figueiras y Sicardi 1969:358, lám. 3, fig. 41; Castellanos 1970:242,
lám. 18, figs. 10-12; Rios 1970:175

Phlyctiderma semiaspera; Rios 1975:218, lám. 70, fig. 1054.

Material examinado: SAO-I 14; SAO-III 1001, 1010, 1011, 1020, 1046,
1052, 1053, 1055.

Distribución en el Golfo San Matías: infralitoral superior arenoso y entre Jania sp. Punta Isla Colorado e Isla Lobos.

Distribución geográfica: Carolina del Norte (U.S.A.) a Golfo S.Matías.

Superfamilia GALEOMMATACEA

Familia ERYCINIDAE

Género Lasaea Brown, 182789.- Lasaea adansoni (Gmelin, 1791)

Cardium adansoni Gmelin, 1791:

Cardium rubrum Montagu, 1803. Test. Brit.:83, lám. 27, fig. 4

Lasaea rubra; Careelles & Williamson 1951. Rev. Mus. Arg. Cienc. Nat.
2(5):339; Rios 1970:181

Lasaea adansoni; Abbott 1974:468, fig. 5408; Rios 1975:219, lám. 70,
fig. 1056.

Material examinado: SAO-IV 1121.

Distribución en el Golfo San Matías: mediolitoral inferior en Bahía Creek, adheridas a las rocas, abundante.

Distribución geográfica: costa atlántica europea, norteamericana sur, Fernando de Noronha (Brasil); Golfo San Matías a Puerto Deseado.

Superfamilia CARDIACEA
Familia CARDIIDAE

Género Trachycardium Mörch, 1853

90.- Trachycardium muricatum (Linné, 1758)

Cardium muricatum Linné, 1758:1123, 85

Cardium (Trachycardium) muricatum; Carcelles 1944. Rev. Mus. La Plata (Zool.) 3:288, lám. 13, fig. 99

Trachycardium muricatum; Figueiras y Sicardi 1969:359, lám. 3, fig. 42; Castellanos 1970:230, lám. 16, fig. 14; Abbott 1974:483, lám. 22, fig. 5549; Rios 1975:223, lám. 71, fig. 1071.

Material examinado: SAO-I 26, 46, 48, 52; SAO-II 101, 109, 135; Golfo San José (Boschi & Fenucci, 1972).

Distribución en el Golfo San Matías: infralitoral arenoso entre Puerto Lobos y Bahía de San Antonio, ejemplares aislados en el circalitoral. Entre 16 y 46 m de profundidad.

Distribución geográfica: Carolina del Norte (U.S.A.) a Golfo S. Matías.

Superfamilia VENERACEA
Familia VENERIDAE

Género Protothaca Dall, 1902

91.- Protothaca antiqua (King, 1832)

Venus antiqua King, 1832:335

Ameghinomya antiqua; Osorio y Bahamonde 1968:105, fig. 21; Figueiras y Sicardi 1969:359, lám. 3, fig. 43.

Protothaca antiqua; Castellanos 1970:249, lám. 22, fig. 6-8; Rios 1975: 227, lám. 72, fig. 1089.

Material examinado: SAO-II 101, 102; SAO-III 1001, 1117, 1118.

Distribución en el Golfo San Matías: infralitoral arenoso entre Puerto Lobos y Caleta de los Loros, 0 a 35 m de profundidad.

Distribución geográfica: costa de Perú hasta Magallanes; por el Atlántico hasta el sur de Brasil.

Género Eurhomalea Cossmann, 1920

92.- Eurhomalea exalbida (Reeve, 1836) (+)

Venus exalbida Reeve, 1863:14, lám. 3, fig. 13
Chemnitz, 1795:225 (inv.)

Eurhomalea exalbida; Osorio y Bahamonde 1968:111, lám. 24

Samarangia exalbida; Castellanos 1970:250, lám. 23, fig. 4,5; Rios 1975:232, lám. 73, fig. 1114

Material examinado: SAO-II 102.

Distribución en el Golfo San Matías: frente a Baliza San Matías a 35 m de profundidad, fondo de arena fina.

Distribución geográfica: Chiloé (Chile), Magallanes a Prov. de Buenos Aires.

Género Tivela Link, 1807

93.- Tivela isabelleana (d'Orbigny, 1846) (+)

Venus isabelleana d'Orbigny, 1846:556

Tivela isabelleana; Camacho 1966:83, lám. 12, fig. 8; Figueiras y Sicardi 1969:360, lám. 3, fig. 45; Rios 1975:229, lám. 72, fig. 1096.

Eutivela isabelleana; Castellanos 1970:252, lám. 22, fig. 15-17.

Distribución en el Golfo San Matías: Río Negro (Castellanos, 1970).

Distribución geográfica: Espíritu Santo (Brasil) a Golfo San Matías.

Género Pitar Römer, 1857

94.- Pitar rostratus (Koch, 1844)

Cytherea rostrata Koch, 1844, Philippi. Abb. Conch. I:150, lám. 1, fig. 3

Pitaria rostrata; Carcelles 1943. Com. Zool. Mus. Hist. Nat. Medio. 1(7): 2-4, láms. 1-3; Castellanos 1970:254, lám. 22, fig. 1-3.

Pitar rostratum; Figueiras y Sicardi 1969:362, lám. 3, fig. 47

Pitar rostratus; Rios 1975:230, lám. 73, fig. 1103.

Material examinado: SAO-II 103, 104, 107, 108, 110, 112, 113, 122, 125

Distribución en el Golfo San Matías: infralitoral-circalitoral arenoso y fangoso entre 42 y 152 m de profundidad entre Punta Isla Colorado y Caleta de los Loros.

Distribución geográfica: Región Magallánica a Río de Janeiro.

Género Transenpitar Fischer-Piette & Testud, 1967

95.- Transenpitar americana (Doello-Jurado, 1951)

Sunetta americana Doello-Jurado, 1951. Physis 20:249-251; Figueiras y Sicardi 1969:360, lám. 3, fig. 44.

Transenpitar americana; Castellanos 1970:255; Figueiras y Sicardi 1970b:19; Rios 1975:230, lám. 73, fig. 1106.

Transenpitar keenae Fischer-Piette & Testud, 1967. Ann. Inst. Oceanogr. Monaco 43(13):210; Rios 1970:191, lám. 56.

Material examinado: frente a San Antonio Oeste, comunidad de Glycimeris
 Distribución en el Golfo San Matías: fondo de arena y grava en la Bahía de San Antonio.

Distribución geográfica: Norte del Brasil a Golfo San Matías.

Género Amiantis Carpenter, 1863

96.- Amiantis purpurata (Lamarck, 1818)

Cytherea purpurata Lamarck, 1818: 464

Amiantis purpurata; Camacho 1966: 83, lám. 12, fig. 12a-c; Figueiras y Sicardi 1969: 362, lám. 3, fig. 48; Castellanos 1970: 253, lám. 22, f. 9-11
Amiantis purpuratus; Rios 1975: 232, lám. 73, fig. 1112.

Material examinado: SAC-III 1111, 1118.

Distribución en el Golfo San Matías: infralitoral superior arenoso en playa franca. Caleta de los Loros.

Distribución geográfica: Espíritu Santo (Brasil) a Golfo San Matías.

Familia PETRICOLIDAE

Género Petricola Lamarck, 1801

97.- Petricola patagonica d'Orbigny, 1845

Petricola patagonica d'Orbigny 1846: 547, lám. 82

Klappenbach 1967. Rev. Inst. Inv. Pesq. Mdeo. 2(21): 166; Figueiras y Sicardi 1969: 364-365, lám. 4, fig. 51; Castellanos 1970: 246, lám. 23, figs. 10, 11.

Material examinado: SAC-III 1118

Distribución en el Golfo San Matías: restingas de tosca en Punta Mejillón, criptozoica, infra-litoral superior.

Distribución geográfica: costa atlántica uruguaya a Provincia de Santa Cruz, Argentina.

98.- Petricola lapicida (Gmelin, 1791)

Pholas lapicida Gmelin, 1791: 3269

Petricola lapicida; Camacho 1966: 83, lám. 13, fig. 2; Figueiras y Sicardi 1970b: 19, lám. 7, fig. 98; Rios 1975: 233, lám. 74, fig. 1117.

Naranio lapicida; Castellanos 1970: 246, lám. 23, fig. 12-14.

Material examinado: SAC-III 1118

Distribución en el Golfo San Matías: similar a la anterior.

Distribución geográfica: Florida (U.S.A.) a Golfo San Matías.

Superfamilia MACTRACEA

Familia MESODESMATIDAE

Género Mesodesma Deshayes, 1830

99.- Mesodesma mactroides Deshayes, 1854 (+)

Mesodesma mactroides Deshayes, 1854. Proc. Zool. Soc. London 22:336
Mesodesma (Taria) mactroides; Carcelles 1944:282; Figueiras y Sicardi 1970b:21, lám. 7, fig. 102.

Mesodesma mactroides; Olivier et al. 1971. Contrib. Inst. Biol. Mar. Mar del Plata, 122(1):1, fig. 1.

Distribución en el Golfo San Matías: Si bien esta especie no ha sido hallada con regularidad en la costa del golfo, se la cita en base a una captura ocasional en la playa de Las Grutas y la aparición esporádica de formas juveniles que no prosperaron en Punta Villarino. Evidentemente el sector norte del golfo puede mencionarse dentro de la zona septentrional de distribución.

Distribución geográfica: Río de Janeiro a Golfo San Matías.

Familia MACTRIDAЕGénero Mactra Linné, 1767 (+)100.- Mactra patagonica d'Orbigny, 1846 (+)

Mactra patagonica d'Orbigny, 1846:509, lám. 77, fig. 27
 Camacho 1966:91, lám. 13, fig. 8; Figueiras y Sicardi 1969:365-366, lám. 4, fig. 54; Castellanos 1970:235, lám. 21, fig. 1-3; Rios 1975: 235, lám. 74, fig. 1127.

Distribución en el Golfo San Matías: Punta Villarino (Castellanos, 1970)

Distribución geográfica: Río Grande do Sul (Brasil) a Golfo San Matías.

- Mactra janeiroensis Smith, 1915 (+)

Mactra janeiroensis Smith, 1915. Brit. Ant. Exp. Zool. 2(4):102, lám. 4, fig. 2; Figueiras y Sicardi 1969:367, lám. 4, fig. 56; Castellanos 1970:236, lám. 21, fig. 7, 8; Rios 1975:236, lám. 75, fig. 1128.
 Distribución geográfica: Río de Janeiro a desembocadura del Río Negro.

101.- Mactra isabelleana d'Orbigny, 1846 (+)

Mactra isabelleana d'Orbigny, 1846:509, lám. 77, fig. 25-26
 Camacho 1966:91, lám. 13, fig. 10; Figueiras y Sicardi 1969:365, lám. 4, fig. 53; Castellanos 1970:237, lám. 21, fig. 9, 10; Rios 1975:235, lám. 74, fig. 1125.

Distribución geográfica: Río Grande do Sul a Golfo San Matías (Rios, 1975).

- Mactra petiti d'Orbigny, 1846 (+)

Mactra petiti d'Orbigny, 1846:509
 Castellanos 1970:234, lám. 21, fig. 4-6; Figueiras y Sicardi 1970b:

20, lám. 7, fig. 99; Rios 1975: 236, lám. 75, fig. 1131.
 Distribución geográfica: Castellanos la da como habitante "desde Brasil hasta la costa bonaerense y Rio Negro" mientras Rios (1975), desde el Caribe sur a Rio Grande do Sul.

Género Raeta Gray, 1853

102.- Raeta plicatella (Lamarck, 1818) (+)

Lutraria plicatella Lamarck, 1818: 470

Labiosa canaliculata; Carcelles 1944, lám. 10, fig. 85

Labiosa plicatella; Camacho 1966: 92; Castellanos 1970: 238

Labiosa (Raeta) plicatella; Figueiras y Sicardi 1969: 368, lám. 4, fig. 57

Raeta plicatella; Rios 1975: 237, lám. 75, fig. 1136

Distribución en el Golfo San Matías: Puerto San Antonio (Castellanos, 1970).

Distribución geográfica: Carolina del Norte (USA) a Golfo San Matías.

Género Darina Gray, 1832

103.- Darina solenoides (King, 1832)

Erycina solenoides King, 1832: 335

Darina solenoides; Camacho 1966: 90, lám. 13, fig. 7; Carcelles 1950: 81 (no, lám. 4, fig. 76); Castellanos 1970: 239, lám. 23, fig. 4-6.

Material examinado: SAO-III 1020, 1048, 1046, 1111, 1116, 1117.

Distribución en el Golfo San Matías: mediolitoral-infralitoral superior arenoso y aren-fangoso entre Arroyo Salado y Caleta de los Loros.

Distribución geográfica: Estrecho de Magallanes a sur de la Provincia de Buenos Aires.

Superfamilia TELLINACEA

Familia TELLINIDAE

Género Tellina Linné, 1758

104.- Tellina petitiana d'Orbigny, 1846

Tellina petitiana d'Orbigny, 1846: 657, lám. 81, fig. 26-27

Figueiras y Sicardi 1969: 373, lám. 4, fig. 67; Castellanos 1970: 219, lám. 19, fig. 9, lám. 20, fig. 10; Rios 1975: 238, lám. 75, fig. 1138

Material examinado: SAO-III 1042, 1046, 1048.

Distribución en el Golfo San Matías: infralitoral superior aren-fango-so en la desembocadura del Rio Negro y en el área de Isla Lobos.

Frecuente.

Distribución geográfica: Rio de Janeiro a Golfo San Matías.

105.- Tellina iheringi Dall, 1900

Tellina iheringi Dall, 1900. Proc. U.S. Nat. Mus. 23:311, lám. 2, fig. 4
 Boss 1966. Johnsonia 4(45):239; Figueiras y Sicardi 1969:373 (como posible sinónimo de T. petitiana); Castellanos 1970: 220, lám. 19, f. 3, lám. 20, fig. 8; Rios 1970: 238 (como sinónimo de T. petitiana).

Material examinado: SAO-V 6, 210

Distribución en el Golfo San Matías: fondos de arena y arenó-fangosos frente a la Bahía de San Antonio. Golfo San José.

Observaciones: primera cita para el golfo. Ampliación de distribución desde 37° S.

Familia SEMELIDAE

Género Semele Schumacher, 1817106.- Semele casali Doello-Jurado, 1949

Semele casali Doello-Jurado, 1949. Com. Zool. Mus. Hist. Nat. Mdeo. 3(57): 1-4, fig. 1, lám. 1, fig. 2; Figueiras y Sicardi 1969:370-371, lám. 4, fig. 62; Castellanos 1970: 227, lám. 19, fig. 7, 8; Rios 1975: 247, lám. 79, fig. 1184.

Material examinado: SAO-I 8

Distribución en el Golfo San Matías: fondo arenoso frente a El Chañar. 15-25 m de profundidad.

Distribución geográfica: Bahía (Brasil) a Golfo San Matías.

- Semele proficua (Pulteney, 1799)

Tellina proficua Pulteney, 1799. Hutch. Dorset: 29, lám. 5, fig. 4
Semele (Semele) proficua; Carcelles 1944: 281.

Semele proficua; Figueiras y Sicardi 1969:370, lám. 4, fig. 61; Castellanos 1970: 226, lám. 20, fig. 1, 2; Rios 1975: 247-248, lám. 79, fig. 1186

Material examinado: SAO-II 127; SAO-III 1042

Distribución en el Golfo San Matías: infralitoral arenoso en Islote Lobos; frente a Puerto Lobos a 25 m de profundidad.

Distribución geográfica: North Carolina (U.S.A.) a Golfo San Matías.

Familia SOLECURTIDAE

Género Tagelus Gray, 1847107.- Tagelus plebeius (Lightfoot, 1786) (+)

Solen plebeius Lightfoot, 1786 (fide Abbott, 1974)

Solen gibbus Spengler, 1794. Nat. Selbk. 3:304

Tagelus gibbus; Castellanos 1970: 261, lám. 24, figs. 1, 5, 6.

Tagelus plebeius; Camacho 1966: 95; Figueiras y Sicardi 1969: 369-370, lám. 4, fig. 60; Abbott 1974: 516, fig. 5812; Rios 1975: 246-247, lám. 78, fig. 1182.

Distribución en el Golfo San Matías: Pta. Villarino (Castellanos, 1970)

Distribución geográfica: North Carolina (U.S.A.) a Golfo San Matías.

Superfamilia SOLENACEA

Familia SOLENIDAE

Género Solen Linné, 1758

108.- Solen tehuelchus d'Orbigny, 1843 (+)

Solen tehuelchus d'Orbigny, 1843: 505, lám. 77, fig. 22

Carcelles 1944: 292-293, lám. 13, fig. 106; Castellanos 1970: 260, lám. 24, fig. 2-4; Figueiras y Sicardi 1970a, Com. Soc. Malac. Urug. 2(18): 407, lám. 5, fig. 72; Rios 1975: 249, lám. 79, fig. 1196.

Distribución en el Golfo San Matías: desembocadura del Río Negro (Castellanos, 1970).

Distribución geográfica: Río de Janeiro a Golfo San Matías.

Género Ensis Schumacher, 1817

109.- Ensis macha (Molina, 1782)

Solen macha Molina, 1782: 203, 348

Ensis macha; Carcelles 1950: 81, lám. 5, fig. 92; Osorio y Bahamonde 1968: 123, fig. 33

Ensis macha?; Rios 1975: 249, lám. 79, fig. 1197

Material examinado: SAO-I 15, 54, 55; SAO-II 101, 104

Distribución en el Golfo San Matías: infralitoral-circalitoral arenofangoso entre la Bahía de San Antonio y Caleta de los Loros, 33 a 55 m de profundidad.

Distribución geográfica: Caldera (Chile) a Golfo San Matías en el Atlántico.

Orden MYOIDA

Superfamilia MYACEA

Familia CORBULIDAE

Género Corbula Bruguière, 1792

110.- Corbula lyoni Pilsbry, 1897

Corbula lyoni Pilsbry, 1897: 294, lám. 7, fig. 21-23

Camacho 1966:102, lám. 14, fig. 5; Figueiras y Sicardi 1970a: 410-411
 lám. 5, fig. 77; Rios 1975: 250, lám. 80, fig. 1200
Aloidis lyoni; Castellanos 1970: 269, lám. 25, fig. 4,5.

Material examinado: frente a Fuerte Argentino (Castellanos det.).

Distribución en el Golfo San Matías: fondo de conchilla infralitoral
 frente a Fuerte Argentino.

Distribución geográfica: Espíritu Santo (Brasil) a Golfo Nuevo.

Superfamilia HIATELLACEA

Familia HIATELLIDAE

Género Hiatella Daudin, 1801

111.- Hiatella arctica (Linné, 1767)

Mya arctica Linné, 1767

Saxicava solida Sowerby 1802: 88; Carcelles 1944: 293-294, lám. 23, fig.
 107; Castellanos 1970: 264, lám. 24, fig. 9,10.

Saxicava meridionalis d'Orbigny, 1846: 531, lám. 81, figs. 21, 22.

Hiatella solida; Figueiras y Sicardi 1970a: 408, lám. 5, fig. 73

Hiatella arctica; Rios 1975: 253, lám. 80, fig. 1212

Material examinado: SAO-III 1118

Distribución en el Golfo San Matías: restinga de tosca en Punta Mejillón, infralitoral superior. En oquedades.

Distribución geográfica: cosmopolita; 0 a más de 100 m de profundidad en facies criptozoicas.

Género Panopea Ménard, 1807

112.- Panopea abbreviata Valenciennes, 1839

Panopaea abbreviata Valenciennes, 1839. Arch. Mus. Hist. Nat. 1: 18,
 lám. 4, fig. 1

Panope abbreviata; Figueiras y Sicardi 1970a: 409, lám. 5, fig. 74

Panopea abbreviata; Castellanos 1970: 265, lám. 24, fig. 7-8; Rios
 1975: 253, lám. 80, fig. 1213

Material examinado: SAO-II 113

Distribución en el Golfo San Matías: fondos de arena y fango en el
 circalitoral frente a Caleta de los Loros, 71 m de profundidad.

Distribución geográfica: Río de Janeiro (Brasil) a Provincia de Santa
 Cruz (Argentina).

Superfamilia PHOLADACEA

Familia PHOLADIDAE

Género Barnea Risso, 1826

113.- Barnea lamellosa (d'Orbigny, 1846)

Pholas lamellosa d'Orbigny, 1846: 498, lám. 77

Barnea lamellosa; Klappenbach 1967: 165; Castellanos 1970: 258, lám. 26, fig. 1, 2; Figueiras y Sicardi 1970a: 412, lám. 5, fig. 80; Rios 1975: 254, lám. 81, fig. 1216

Material examinado: SAO-III 1118

Distribución en el Golfo San Matías: infralitoral en facies de tosca, Punta Mejillón. Criptozoica.

Distribución geográfica: Río Grande do Sul (Brasil) a Golfo Nuevo.

Género Cyrtopleura Tryon, 1862114.- Cyrtopleura lanceolata (d'Orbigny, 1846) (+)

Pholas lanceolata d'Orbigny, 1846: 497, lám. 77, fig. 18-19

Cyrtopleura lanceolata; Klappenbach 1967: 164; Castellanos 1970: 257, lám. 24, fig. 3, 4; Figueiras y Sicardi 1970a: 413, lám. 5, fig. 81; Rios 1975: 254, lám. 81, fig. 1215.

Distribución geográfica: Río Grande do Norte (Brasil) a Golfo de San Matías (Rios, 1975).

Género Nettastomella Carpenter, 1865115.- Nettastomella darwini (Sowerby, 1849) (+)

Pholas darwini Sowerby, 1849: 409, lám. 107

Pholadidea darwini; Castellanos 1970: 259-260, lám. 25, fig. 5.

Nettastomella darwini; Figueiras y Sicardi 1970a: 414-415, lám. 6, fig. 84; Abbott 1974: 548; Rios 1975: 255-256, lám. 81, fig. 1222.

Distribución en el Golfo San Matías: Punta Norte (Península Valdez), Castellanos, 1970.

Distribución geográfica: Chiloé (Chile) a Región Magallánica. Argentina hasta Río Grande do Sul (Brasil).

Subclase ANOMALODESMATA

Orden PHOLADOMYOIDA

Superfamilia PANDORACEA

Familia PANDORIDAE

Género Pandora Bruguière, 1797116.- Pandora patagonica Dall, 1915 (+)

Pandora patagonica Dall, 1915. Proc. U.S. Nat. Mus. 49: 450
Dall, 1972. Rec. Dom. Mus. 8(3): 31, fig. 29, 30



BIBLIOTECA
"Florondo Gómez"

Distribución en el Golfo San Matías: Castellanos, 1970 la cita para "Golfo San Matías".

Distribución geográfica: Sur de Chile, región Magallánica Argentina hasta Golfo San Matías.

Familia LYONSIIDAE

Género Lyonsia Turton, 1822

117.- Lyonsia alvarezi d'Orbigny, 1846 (+)

Lyonsia alvarezi d'Orbigny, 1846: 517, lám. 81, fig. 15-17

Olazarri y Mones 1967. Com. Soc. Malac. Urug. 2(13): 115, figs. 3, 4; Castellanos 1970: 281, lám. 24, fig. 14; Figueiras y Sicardi 1970a: 417, lám. 6, fig. 88; Dell 1972: 31, fig. 27; Rios 1975: 258, lám. 84, fig. 1241.

Distribución en el Golfo San Matías: Punta Villarino y San Antonio Oeste (Castellanos, 1970).

Distribución geográfica: Sur del Brasil a Golfo San Matías.

Género Entodesma Philippi, 1845

118.- Entodesma patagonica (d'Orbigny, 1846)

Lyonsia patagonica d'Orbigny, 1846, lám. 81, fig. 13, 14.

Olazarri & Mones, 1967: 115, fig. 1-2; Castellanos 1970: 280-281, lám. 24, fig. 11, 12; Figueiras y Sicardi 1970a: 416-417, lám. 6, fig. 87; Rios 1975: 258, lám. 84, fig. 1240.

Entodesma patagonica; Dell 1972: 31, fig. 26.

Material examinado: SAO-III 1001, 1046, 1054, 1055, 1108, 1109.

Distribución en el Golfo San Matías: infralitoral superior, entre Jania, desde Puerto Lobos a Baliza San Matías. Frecuente.

Distribución geográfica: Sur de Brasil a Golfo San Matías.

Familia THRACIIDAE

Género Thracia Blainville, 1824

119.- Thracia similis Couthouy, 1839 (+)

Thracia similis Couthouy, 1839. Boston J. Nat. Hist. 2(2):art. 7, lám. 4 Rios 1975: 258, lám. 84, fig. 1246.

Thracia distorta; Castellanos 1970: 274, lám. 26, fig. 11, 12

?Thracia uruguayensis; Figueiras y Sicardi 1970a: 419, lám. 6, fig. 91a; nomen nudum; Klappenbach & Ureta. Trab. V Congr. Latinoam. Zool. 1: 126.

Distribución en el Golfo San Matías: Pta. Villarino (Castellanos, 1970)

Distribución geográfica: Rio de Janeiro a Golfo San Matías.

120.- Thracia sp.

Material examinado: SAO-III 1118

Observaciones: un ejemplar completo, sin partes blandas recogido en la resaca.

Género Bushia Dall, 1886121.- Bushia rushi (Pilsbry, 1897)

Thracia rushi Pilsbry, 1897: 292

Bushia rushi; Castellanos 1970: 275-276, lám. 26, fig. 9,10; Figueiras y Sicardi 1970a: 418, lám. 6, fig. 90; Klappenbach & Ureta 1973: 126

Asthenothaerus rushii; Rios 1970: 259, lám. 84, fig. 1247

Material examinado: SAO-III 1042, 1046, 1048, 1111, 1116.

Distribución en el Golfo San Matías: infralitoral superior arenoso-fangoso entre Isla Lobos y Caleta de los Loros.

Distribución geográfica: Río Grande do Sul a Golfo Nuevo.

Clase CEPHALOPODA

Orden SEPIOIDEA

Familia SEPIOLIDAE

Género Rossia Owen, 1835122.- Rossia tenera (Verrill, 1880)

Heteroteuthis tenera Verrill, 1880. Ann. J. Sci. 20: 392

Rossia tenera; Voss 1956. Bull. Mar. Sci. 14(3): 511; Castellanos 1970: 169-170, lám. 12, fig. 11; Figueiras y Sicardi 1974: 344, lám. 20, fig. 257; Rios 1975: 268, lám. 89, fig. 1295.

Material examinado: SAO-II 125

Distribución en el Golfo San Matías: frente a Isla Colorada a 70 m de profundidad.

Distribución geográfica: Europa Norte, por el Atlántico y Caribe, Nueva Escocia a Estrecho de Magallanes. Sur de Chile por el Pacífico.

Familia LOLIGINIDAE

Género Loligo Lamarck, 1801123.- Loligo brasiliensis Blainville, 1823 (+)

Loligo brasiliensis Blainville, 1823. Tour. Physiol. 96: 132

Castellanos 1970: 171, lám. 12, fig. 1-3; Figueiras y Sicardi 1974: 344, lám. 20, fig. 258; Rios 1975: 268, lám. 89, fig. 1296.

Distribución en el Golfo San Matías: Boschi & Fenucci (1972) lo citan para el Golfo San José, por lo que lo incluimos en esta lista.
Distribución geográfica: Caribe, Brasil a Golfo San Jorge.

Orden OCTOPODA
Familia OCTOPODIDAE

Género *Octopus* Lamarck. 1799

- 124.- *Octopus tehuelchus* d'Orbigny, 1846

Octopus tehuelchus d'Orbigny, 1846:27, lám. 1, fig. 6.7

Castellanos 1970:175, lám. 13, fig. 7; Figueiras y Sicardi 1974:348, lám. 21, fig. 264.

Material examinado: SAO-II 125; SAO-III 1001, 1002, 1011, 1042, 1046, 1048, 1052, 1053, 1054, 1055, 1064, 1074, 1108, 1109, 1118.

Distribución en el Golfo San Matías: infralitoral superior rocoso entre Puerto Lobos y Punta Mejillón. Abundante bajo rocas o en oquedades en pozas de marea. Explotado comercialmente.

Distribución geográfica: Sur de Brasil a Golfo San Matías

Género *Eledone* Leach, 1817

- 125.- *Eledone massyae* Voss, 1954

Eledone massyae Voss, 1954. Bull. Mar. Sci. 14(3):511; Castellanos 1970:179-180, lám. 13, fig. 1-3; Figueiras y Sicardi 1974:348, lám. 21, fig. 265; Rios 1975:272, lám. 91, fig. 1324.

Material examinado: SAO-IT A (Castellanos det.)

Distribución en el Golfo San Matías: frente a Bahía Rosas

Distribución geográfica: Trinidad (Brasil) a Rawson (Argentina).

ADDENDA al género *Turbonilla* Risso, 1826 (pág. 195)

- 56'.- *Turbonilla fasciata* (d'Orbigny. 1840)

Chemnitzia fasciata d'Orbigny, 1840:397. pl. 53, fig. 46.

Turbonilla fasciata; Castellanos 1970:52, lám. 4, fig. 6; Figueiras y Sicardi 1974:336, lám. 19, fig. 246; Rios 1975:145, lám. 43, fig. 673.
Material examinado: SAO-V 31.

Distribución geográfica: Río de Janeiro a Golfo San Matías. Localidad típica: Río de Janeiro (d'Orbigny). Carcelles y Parodiz (1938) la citan para las costas de Patagonia. Castellanos (1970) da como localidad típica Bahía de San Blas.

Observaciones: primera cita para el Golfo San Matías.

● AREA RELEVADA

O. PACIFICO

O. ATLANTICO

Argentina

GOLFO SAN MATIAS

Brasil

Uruguay

LISTA DE ESTACIONES

- Campañas SAO (San Antonio Oeste) -

SAO-I - (II/71)

EST. Nº	LATITUD S	LONGITUD W	PROF. m	FONDO
1	40°55'	64°54'	18	Arena
3	40°53'	64°43'30"	17,5	Arena
5	40°54'	64°31'	20-24	Arena
7	40°57'30"	64°20'30"	18-24	Tosca
9	41°01'30"	64°11'	18	Tosca
13	41°04'	64°07'	33	Tosca
15	41°01'	64°15'	33-36	Arena-fango
18	40°54'30"	64°37'30"	36-40	Arena
20	40°54'	64°48'30"	36,5	Arena fina
22	40°54'	65°01'	16	Grava
23	40°57'	65°05'	12,5	Arena
24	41°02'	65°08'30"	16	Conchilla
26	41°05'30"	65°08'30"	16,5	Arena
27	41°08'30"	65°07'30"	17	Grava
28	41°13'	65°05'30"	14,5	- - - - -
29	41°16'30"	65°05'	12,5	- - - - -
30	41°21'30"	65°04'	18	- - - - -
31	41°23'30"	65°03'	18	- - - - -
32	41°27'30"	64°59'30"	18	Grava granítica
46	41°27'	64°57'30"	36	Grava
47	41°23'	65°01'	36	Arena-fango
48	41°20'	65°03'	36	- - - - -
49	41°16'	65°04'	36	Arena-fango
50	41°13'	65°05'	36	Fango-grava
51	41°08'30"	65°06'30"	--	Grava
52	41°05'30"	65°07'30"	29	Arena
53	41°00'	65°06'	38	Conchilla-arena
54	40°57'	65°03'	41,5	- - - - -
55	40°56'	64°58'	33-28	- - - - -

SAO-I A, B, C, D se ubican frente a la Bahía de San Antonio.

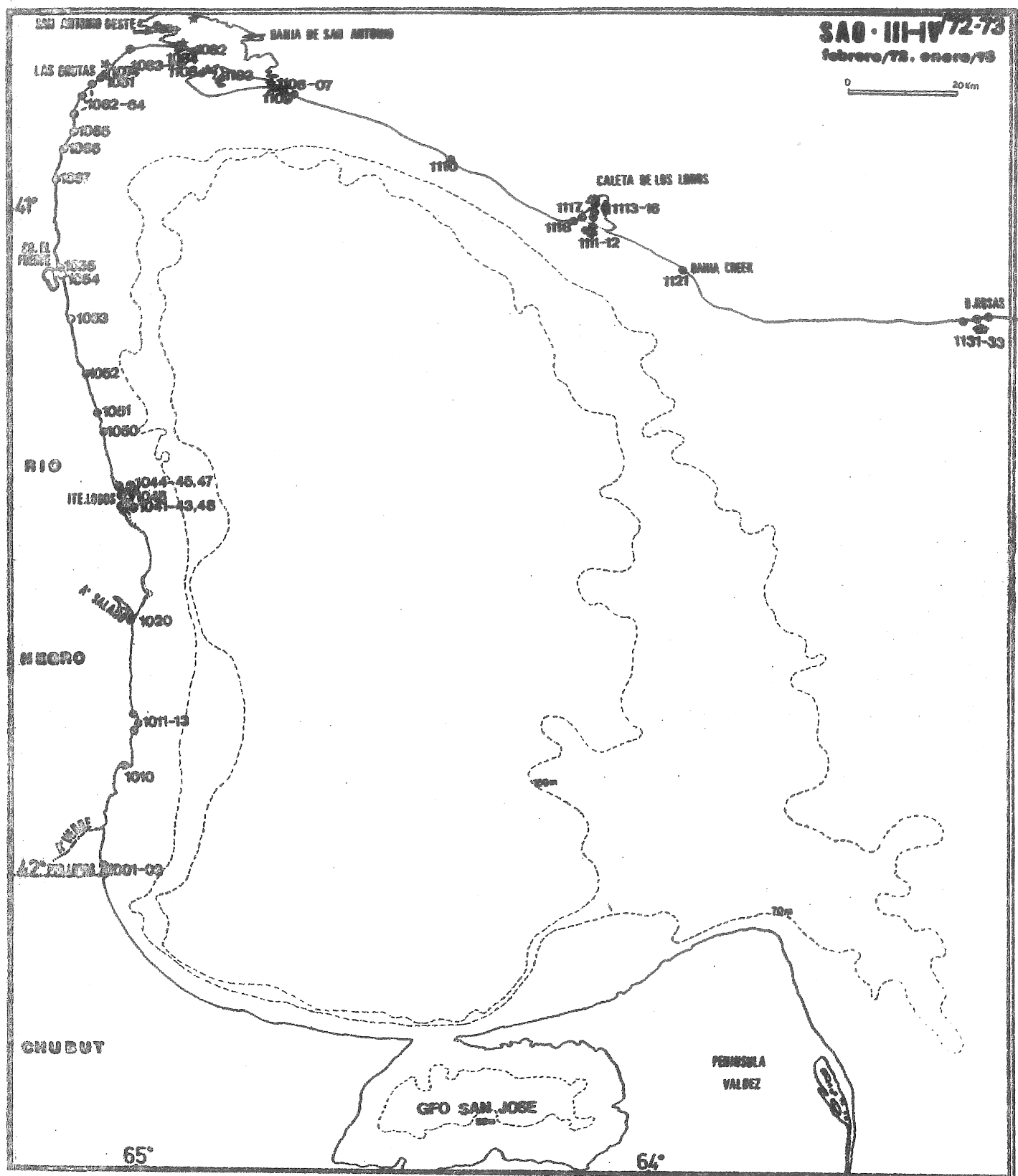
SAO-II (IV-V/1971)

EST. Nº	LATITUD S.	LONGITUD W	PROF. m
101	- 40°55'	- 64°48'	35
102	- 40°55'	- 64°36'	35
103	- 40°59'	- 64°23'	64
104	- 41°03'	- 64°11'	50
105	- 41°03'	- 64°27'	130
107	- 41°03'	- 64°58'	78
108	- 41°03'	- 65°04'	42
109	- 41°13'	- 65°04'	35
110	- 41°13'	- 64°59'	90
111	- 41°08'	- 64°53'	111
113	- 41°13'	- 64°01'	71
114	- 41°23'	- 64°01'	80
116	- 41°23'	- 64°23'	92
117	- 41°23'	- 64°57'	77
122	- 41°33'	- 64°014'	70
125	- 41°42'	- 64°52'	70
126	- 41°42'	- 64°59'	20-25
127	- 41°52'	- 65°00'	12,7
132	- 42°03'	- 64°01'	70-90
133	- 42°03'	- 64°26'	150
135	- 42°01'	- 65°03'	20

SAO-III (I/72)

Est. Nº

- 1001 - Puerto Lobos (42°S)
1002 - Puerto Lobos
1010 - Punta Pórfido
1011 - Punta Isla Colorada (tosca)
1012 - Punta Isla Colorada (playa)
1013 - Punta Isla Colorada (roca)
1020 - Desembocadura del Arroyo Salado
1041 - Frente a Isla de los Pájaros
1042 - Frente a Isla de los Pájaros
1043 - Costa Este de Isla de los Pájaros
1044 - Islote Lobos
1045 - Islote Lobos
1046 - Frente a Isla Pastosa
1047 - Islote Lobos
1048 - Isla de los Pájaros
1050 - 3 km S de Estación 1051
1051 - Puesto Ortiz
1052 - 12 km N de Estación 1051
1053 - 15 km N de Estación 1052
1054 - 2,5 km N de Fuerte Argentino (Cerro El Fuerte)
1055 - 4 km N de Fuerte Argentino
1061 - Restinga de tosca S de Las Grutas
1062 - 3 km S de Estación 1061
1063 - 6 km S de Estación 1062
1064 - Punta Piedras Coloradas
1065 - Los Chañares
1066 - 2,2 km S de Estación 1065
1067 - 6 km S de Estación 1066
1074 - Las Grutas (arena)
1084 - Punta Delgado
1103 - Punta Villarino, Caleta Falsa
1106 - 1,2 km W de Baliza San Matías
1107 - 6 km E de Baliza San Matías
1108 - Punta Villarino, Baliza San Matías
1109 - 600 m E de Baliza San Matías
1111 - Caleta de Los Loros (playa abierta)
1112 - Caleta de Los Loros (playa abierta)
1113 - Caleta de Los Loros (hacia el interior)
1114 - Caleta de Los Loros (hacia el interior)
1115 - Caleta de Los Loros (hacia el interior)
1116 - Caleta de Los Loros (hacia el interior)
1117 - Punta Mejillón (playa)
1118 - Punta Mejillón (tosca - criptozoicos)
1131 - Bahía Rosas, Restinga Oeste



SAO-IV (I/73)

(Mapa pág. anterior)

Est. Nº

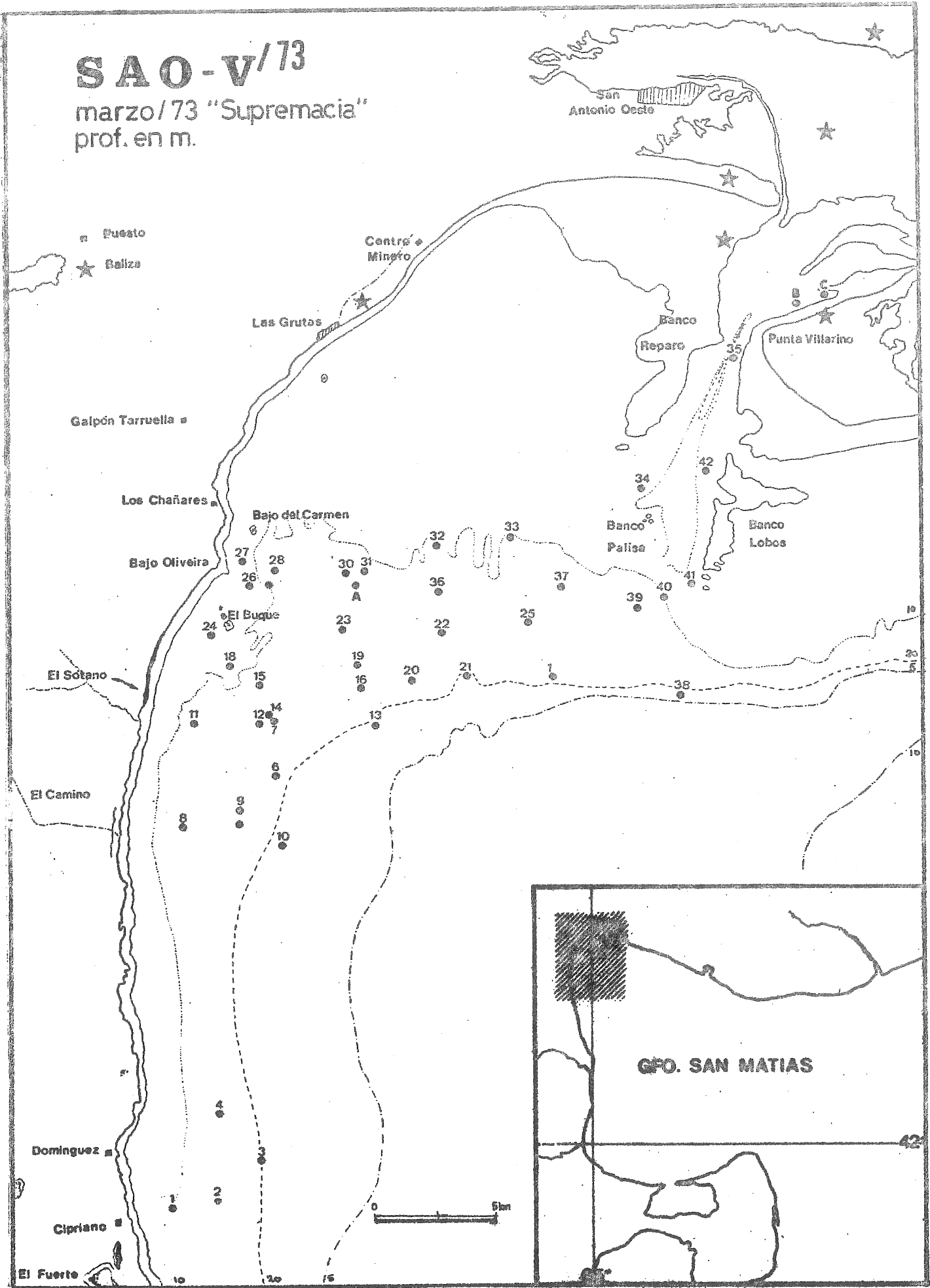
- 1082 - Banco Reparo, frente a la baliza
 - 1083 - Banco Reparo, cerca de la entrada a la bahía
 - 1110 - 7 km W de Barranca Final
 - 1121 - Bahía Creek
 - 1132 - Bahía Rosas, restinga W
 - 1133 - Bahía Rosas (playa)
 - 1142 - La Lobería
 - 1151 - Balneario El Cóndor (cerca de la desembocadura del Río Negro)
-

SAO-V (III/73)

Estaciones: 6, 31, 210, 221, 237

SAO-V/73

marzo/73 "Supremacia"
prof. en m.



CÓMENARIOS ZOOGEOGRAFICOS RELATIVOS A LA FAUNA MALACOLOGICA
PRESENTES EN EL GOLFO SAN MATIAS

El Golfo San Matías es una importante área biogeográfica donde se halla el ecotono entre el sector Atlántico de la Provincia Magallánica (Woodward, 1856; Carcelles y Williamson, 1951) y la Provincia Argentina o Patagónica (Parodiz, 1942; Carcelles, 1944, 1950; Stuardo, 1964), especialmente en los niveles superiores del sistema litoral.

Existen marcadas diferencias entre la distribución geográfica de las comunidades litorales y las de plataforma y más aun con las del borde continental, donde la fauna es predominantemente de origen magallánico hasta latitudes mucho más bajas que las del golfo.

La Provincia Magallánica está muy bien definida, con un gran porcentaje de especies propias (Parodiz, 1942; Carcelles y Williamson, 1951; Knox, 1960; Stuardo, 1964; Briggs, 1974). La Provincia Argentina en cambio, si bien es tratada como tal, es una unidad muy compleja. Posee elementos de orígenes muy diversos y podría llegar a considerarse como una muy amplia zona de transición (con elevado número de especies endémicas) entre la Provincia Magallánica y la Brasileña (Briggs, 1974). Este aspecto, aunque no citado específicamente, se insinúa en las divisiones propuestas por varios autores en distritos, sectores o subprovincias (Knox, 1960; Bernasconi, 1964; Boltovskoy, 1964; López, 1964; Stuardo, 1964). Abarca, según los autores mencionados, una zona comprendida entre los paralelos 22°S - 24°S y 41°S-43°S, límite éste que nosotros tratamos con más interés aquí.

Como lo exponen Stuardo (1964) y principalmente Vanucci (1964), es recomendable considerar separadamente las áreas biogeográficas marinas con relación a la profundidad, pues, al variar las condiciones ecológicas, sus límites pueden cambiar radicalmente.

En la Provincia Argentina, eso es más importante aun por la presencia del Río de la Plata que, actuando de efectiva barrera ecológica, divide en dos prácticamente las comunidades del mediolitoral e infralitoral (Scarabino, Maytía y Faedo, 1973; Scarabino y Maytía, 1977 -MS-) y ejerce gran influencia sobre las de plataforma (Olivier y Scarabino, 1973).

En los cuadros I y II, se señala la distribución geográfica de 266 especies de moluscos que, en base a nuestro estudio y a los catálogos de Carcelles (1944, 1950), Castellanos (1970), Figueiras y Sicardi (1968-1974) y Rios (1975), consideramos más conspicuas del litoral y de la plataforma continental respectivamente, de la Provincia Argentina.

Los porcentajes corresponden al total de especies de cada cuadro.

Cuadro I: de un total de 85 especies litorales (Supralitoral, Mediolitoral e Infralitoral - Perés, 1961 -), 14 especies (16,4%: Barra A) poseen un muy amplio rango de distribución, habitando 9 de ellas desde Carolina del Norte (EEUU) y Mar Caribe hasta la desembocadura del Río de la Plata y las 5 restantes (5,8%), hasta el Golfo San Matías. Otras 6 especies (7%: Barra B) son propias de la fauna brasileña y con su límite Sur también en el Río de la Plata (área frecuentemente mencionada como límite de dispersión Sur de especies cálidas y templado-cálidas). Se consideraron endémicas de la Provincia Argentina 37 especies (43,5%: Barra C); de ellas, 29 especies se hallan en toda su extensión -vecindades de Río de Janeiro al Golfo San Matías-, 3 especies desde Río de Janeiro hasta el Río de la Plata; 5 desde éste hasta el golfo mencionado, mientras que las 3 especies restantes habitan una zona comprendida entre Río Grande del Sur, Uruguay y Norte de la provincia de Buenos Aires. De las 16 especies litorales magallánicas (Barra D) que llegan al Golfo San Matías, sólo 5 lo sortean y llegan hasta el sur y centro del Brasil. Especies litorales como, por ejemplo, Aulacomya ater, Gaimardia trapezina y Nacella mytilina, están citadas para aguas brasileñas en base a ejemplos obtenidos adheridos a maderos, o frondas o grampones del alga Macrocytis pyrifera. Dichos materiales son llevados allí frecuentemente por aguas de plataforma derivadas de la corriente fría de Malvinas.

En los niveles supra y mediolitoral así como en el infralitoral superior, se establece claramente la influencia del Río de la Plata como barrera de dispersión; Acmaea subrugosa, Littorina "ziczac", Olivancillaria contortuplicata, O. teaguei, Olivella formicacorsii y Perna perna, son moluscos de origen templado-cálido que no lo sortean así como no lo hacen otros integrantes de aquellas comunidades: el isópodo Ligia sp., los cirripedios Balanus improvisus y Chthamalus bisinuatus y el decápodo Ocypode quadrata (Scarabino, Maytía y Fae-
do, 1973; Scarabino y Maytía, 1977 MS.). Los dos primeros pisos, en la provincia de Buenos Aires están ocupados fundamentalmente por Siphonaria lessoni (Olivier y Penchaszadeh, 1968) (especie magallánica de amplia distribución) y por una comunidad de Brachidontes rodriguezi-Mytilus edulis platensis (Olivier y colaboradores, 1966; Penchaszadeh, 1973) que sorteando sí, el Río de la Plata hacia el Norte, se suman a las especies anteriores en la costa uruguaya.

Cuadro II: En la plataforma y borde continental, si bien los límites no cambian radicalmente, es notorio el aumento del porcentaje de especies foráneas a la Provincia, notándose una disminución, aunque poco significativa de las especies endémicas.

Del total de (n=181) las especies consideradas, 57 (31,4%: Barra E) habitan desde Carolina del Norte (EEUU) y Mar Caribe hasta la Provincia Argentina. De ellas 48 especies tienen su límite septentrional en la desembocadura del Río de la Plata, mientras que las 9 especies restantes (4,9%) llegan hasta el área del Golfo. Otras 5 (Barra F) desde el Norte del Brasil hasta Uruguay.

De las especies consideradas endémicas ($n=76$) (32,8%: Barra G), 31 ocupan toda la zona zoogeográfica; 18 especies han sido citadas entre Río de Janeiro y la desembocadura del Río de la Plata y provincia de Buenos Aires; mientras que las 12 restantes, entre el Sur del Brasil, Uruguay y Norte de Buenos Aires.

Las especies frías y templado-frías que tratamos, suman 43 (23,7%: Barra H): 9 de ellas se detienen en la zona del Golfo San Matías, mientras que las restantes continúan su distribución hasta el Sur del Brasil, disminuyendo cuantitativamente hacia Río de Janeiro, donde se han reportado sólo 3 ("Fusinus acanthodes, Malletia cumingii y Pitar rostratus).

El porcentaje de especies propias de la Provincia Argentina, tomando ahora las de plataforma y litorales en conjunto, representa el 42,2% del total de la fauna malacológica (considerada aquí) del Atlántico sudamericano. Este resultado coincide plenamente con lo expuesto por Carcelles (1944), donde estudiando 310 especies, obtuvo el 41,6% de especies de moluscos propios de la Provincia Argentina.

Se observa en los cuadros la complejidad de la distribución de los moluscos en la Provincia Argentina, así como el aumento notorio en la plataforma continental de especies tanto templado-cálidas como frías.

La fauna del Golfo San Matías en particular, posee mayoría de elementos templado-cálidos. De 96 especies halladas, vivientes, el 62,5% se distribuye desde latitudes bajas hasta los paralelos 42°S-43°S. El resto son de origen magallánico.

Me es grato agradecer al Sr. Roberto Capocasale, Jefe de la División Zoología Experimental del Instituto de Investigaciones Biológicas "Clemente Estable", la lectura crítica del manuscrito.

C U A D R O IDISTRIBUCION DE LOS MOLUSCOS DE LA PROVINCIA ARGENTINA
Y AREAS RELACIONADAS, CON RESPECTO A LA LATITUD

A - especies de origen cálido; B - especies "brasileñas";
C - especies endémicas de la Provincia Argentina; D - especies de origen frío, templado-frío.

De un total de 85 especies consideradas, 43 habitan dentro de la Provincia Argentina, distribuyéndose dentro de ella como figura en la Barra C.

De las 42 especies foráneas restantes, 21 son de origen frío y 25 de origen cálido; de estas últimas, 14 habitan hasta el Río de la Plata mientras que sólo 5 continúan hasta el Golfo San Matías. Otras 6 especies se distribuyen desde el Norte del Brasil a la desembocadura del Río de la Plata.

De 21 especies de origen frío propias de la Provincia Magallánica, 16 se detienen en el Golfo San Matías y 5 continúan hacia el Sur y Centro de Brasil.

La predominancia de elementos templado-cálidos en la latitud del Golfo San Matías se hace evidente, a pesar de la complejidad de los patrones de distribución de la malacofauna de la Pcia. Argentina.

DISTRIBUTION OF THE LITTORAL MOLLUSKS OF THE ARGENTINE
BIOGEOGRAPHIC PROVINCE AND RELATED AREAS, ACCORDING TO LATITUDE

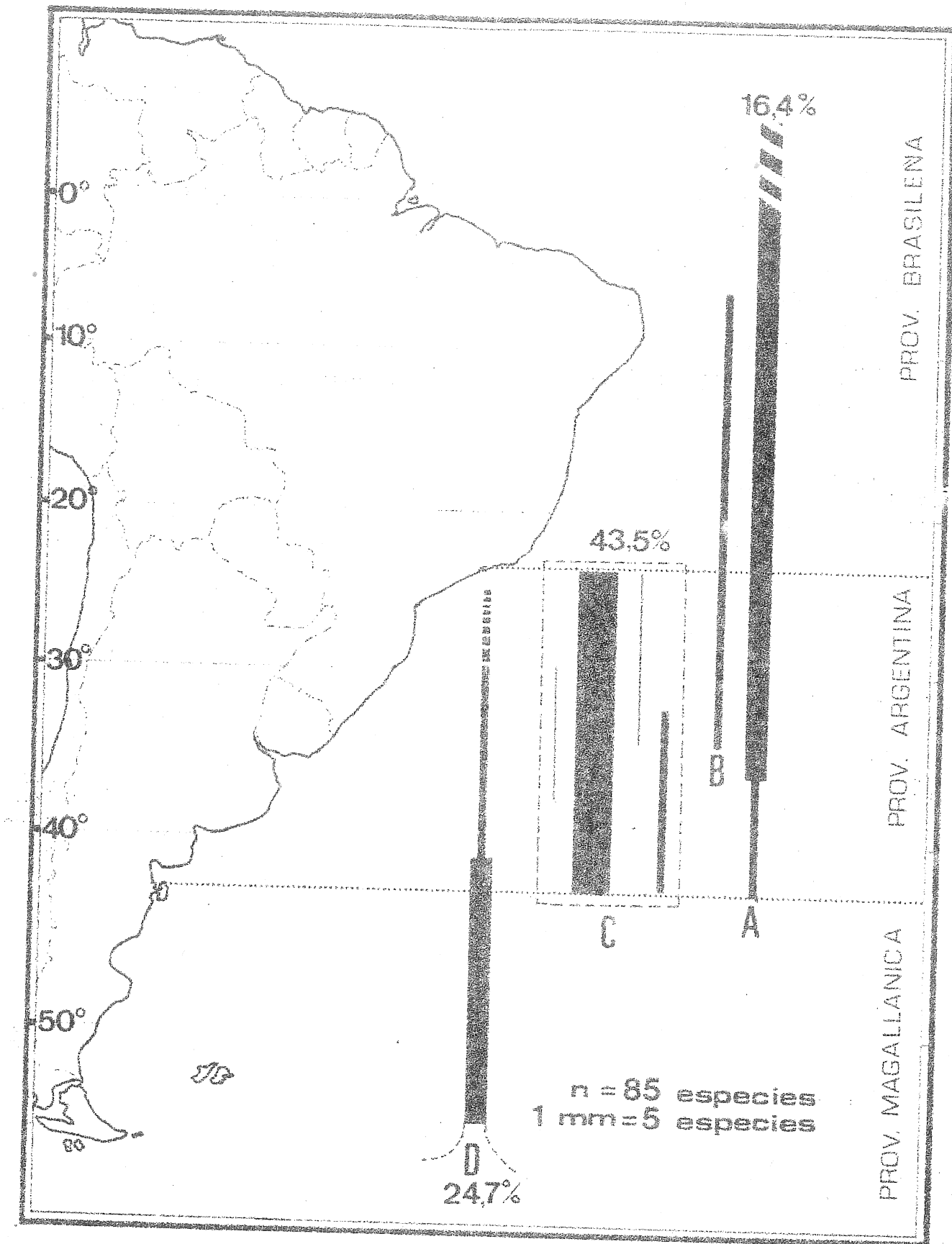
A - warm assemblages; B - "brazilian" species; C - endemics of the Argentine Province; D - cold, cold-temperate assemblages.

From a total number of 85 littoral species considered for this study, 43 belonged to the Argentine Province. Of this, 29 inhabited throughout the area (Rio de Janeiro to San Matias gulf), 3 species from Rio de Janeiro to the mouth of the Rio de la Plata; 5 species between the latter and the San Matias gulf and the other 3 were found off South Brazil, Uruguay and North of Buenos Aires.

Other 25 species had warm origin; 14 of them inhabit from North Carolina (USA) and Caribbean Sea till the mouth of the Rio de la Plata, 5 extended South till the San Matias gulf. Other 6, moreover have their geographic range from North Brazil to Uruguay.

The remaining 21 species are cold, cold-temperate, propers of the Magellanic Province. From them 16 stop at the San Matias gulf not invading the Argentine Province while the remaining 5 invaded the area till Rio de Janeiro.

The temperate-warm assemblages dominance at the latitude of the San Matias gulf becomes evident in spite of the complexity of the Argentine Province malacofauna distribution patterns.



C U A D R O II

DISTRIBUCION DE LOS MOLUSCOS PROPIOS DE PLATAFORMA
Y BORDE CONTINENTAL DE LA PROVINCIA ARGENTINA Y AREAS
RELACIONADAS, CON RESPECTO A LA LATITUD

E - especies de origen cálido; F - especies "brasileñas";
G - especies endémicas de la Provincia Argentina; H - es-
pecies de origen frío, templado-frío.

De las 181 especies consideradas, 76 son propias de la Provin-
cia Argentina, distribuyéndose dentro de ella como figura en la Ba-
rra G. De origen cálido son 57 especies, de ellas 48 alcanzan hasta
la desembocadura del Río de la Plata y 9 hasta el Golfo San Matías.
Desde el Norte del Brasil hasta el Río de la Plata, se reportan o-
tras 5 especies cálidas.

De las 43 especies de origen frío y templado-frío tratadas, sólo
9 se detienen en el Golfo San Matías, mientras que las restantes ha-
bitan latitudes más bajas; de ellas, 3 especies han sido citadas
hasta Rio de Janeiro.

Es posible observar un incremento en el porcentaje de especies
no endémicas que comparten el área de la Provincia Argentina y una
ampliación de la dispersión Norte de elementos de origen frío. Sin
embargo, las especies de plataforma que penetran al Golfo San Matías,
son en su mayoría de origen templado-cálido.

DISTRIBUTION OF THE CONTINENTAL SHELF AND UPPER SLOPE
MOLLUSKS OF THE ARGENTINE BIOGEOGRAPHIC PROVINCE
AND RELATED AREAS, ACCORDING TO LATITUDE

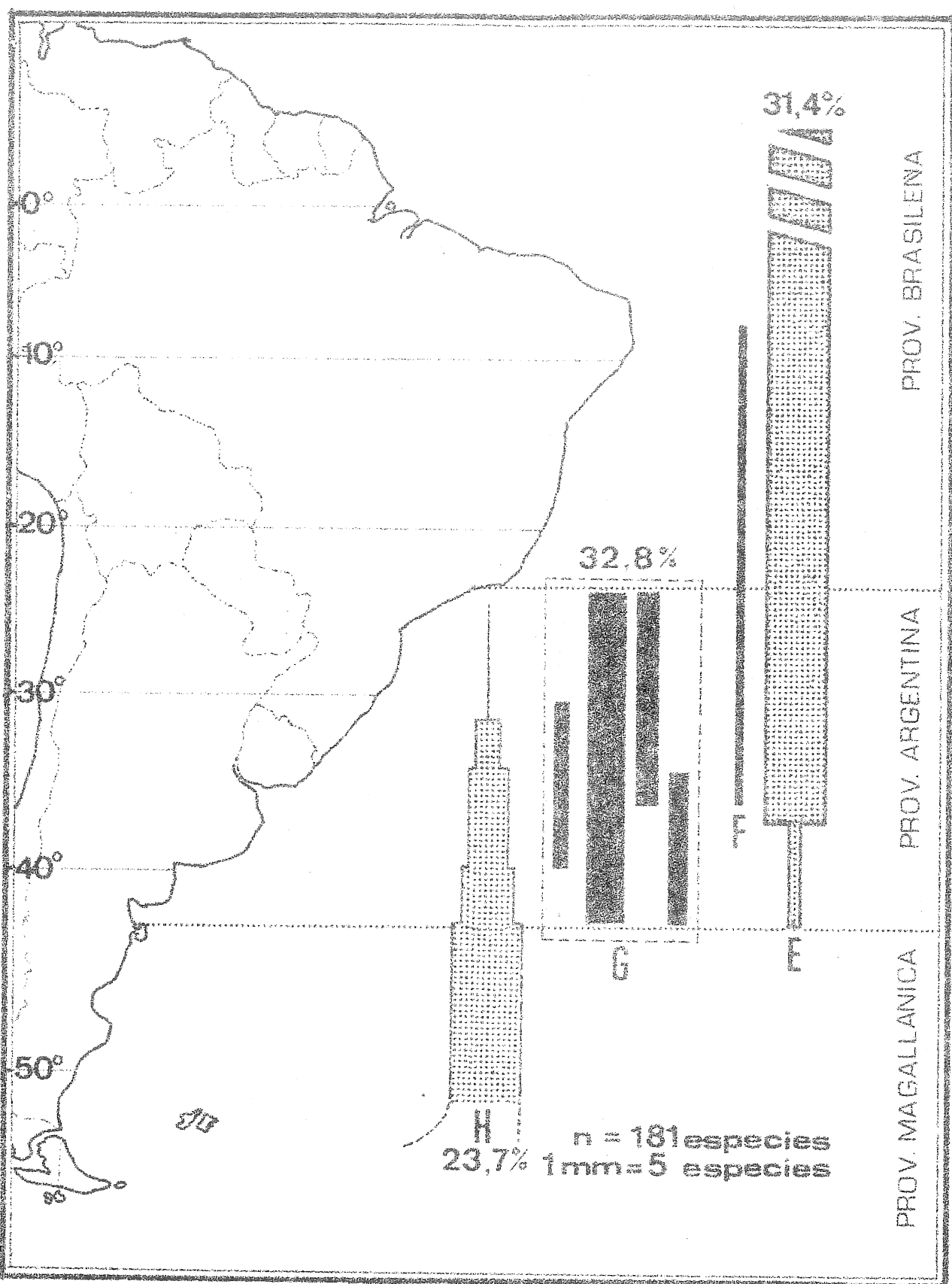
E - warm origin assemblages; F - "brazilian" species; G - endemics
of the Argentine Province; H - cold, cold-temperate assemblages.

From a total number of 181 considered species for this diagram,
76 are propers of the Argentine Province. From them, 31 species in-
habited throughout the area; 18 were reported between Rio de Janeiro
and the mouth of the Rio de la Plata while the 12 remaining species
inhabited South Brazil, Uruguay and North of Buenos Aires.

Of the remaining 105 species, 57 had warm origin, 48 of them
had their southern distribution to the mouth of the Rio de la Plata,
while other 9 extended South till the San Matías gulf. 5 other warm-
temperate species were reported from North Brazil to North of Buenos
Aires (F).

From the 43 cold, cold-temperate species considered here, only
9 had its northern dispersion boundaries at the San Matías gulf lati-
tude. The other 34 extended North decreasing quantitatively till the
Rio de Janeiro vecinities in which 3 magellanic species were also
reported.

It is possible to note the increment of the percentages of non
endemic species inhabiting the Argentine Province area, and the ex-
tension of the northern dispersion of the magellanic species. Howe-
ver, the continental shelf mollusks entering the San Matías gulf are,
mostly, temperate-warm species.



BIBLIOGRAFIA SUMARIA

- ABBOTT, R.T. - 1974. American seashells. 2nd. ed. Van Nostrand Reinhold Pub. Co. 663 pp. N.Y.
- BERNASCONI, I. - 1964. Distribución geográfica de los equinoideos y asteroideos de la extremidad austral de Sudamérica. Bol. Inst. Biol. Mar. Mar del Plata, 7:43-50
- BRIGGS, J.C. - 1974. Marine zoogeography. McGraw-Hill Book Co. 463 pp. N.Y.
- CAMACHO, H. - 1966. Invertebrados /en/ Borrello, A.V. - Paleontología Bonaerense. Com. Inv. Cient. (3):1-157. La Plata.
- CARCELLES, A. - 1944. Catálogo de los moluscos marinos de Puerto Quequén (República Argentina). Rev. Mus. La Plata, N.Ser. Zool. 3:233-309.
- CARCELLES, A. - 1950. Catálogo de los moluscos marinos de la Patagonia. An. Mus. Nahuel Huapi 2:1-99
- CARCELLES, A. y S.I. WILLIAMSON - 1951. Catálogo de los moluscos marinos de la Provincia Magallánica. Rev. Mus. Arg. Cienc. Nat. S. Zool. 2(5):1-383
- CASTELLANOS, Z. A. de - 1970. Catálogo de los moluscos marinos bonaerenses. An. Com. Inv. Cient. 8:1-390. La Plata.
- FIGUEIRAS, A. y O.E. SICARDI - 1968. Catálogo de los moluscos marinos del Uruguay. Parte I. Com. Soc. Malac. Uruguay, 2(14):233-241.
 - 1969a. Ibidem. Parte II. 2(15):255-275, láms. 1,2
 - 1969b. Ibidem. Parte III. 2(16-17):355-370, láms. 3,4
 - 1970a. Ibidem. Parte IV. 2(18):407-421, láms. 5,6
 - 1970b. Ibidem. Adiciones y Correcciones y Parte V. 3(19):15-35, láms. 7,8
 - 1971. Ibidem. Parte VI. 3(21):101-130, láms. 9,10,11
 - 1972. Ibidem. Parte VII. 3(22):169-188, láms. 12,13
 - 1973. Ibidem. Parte VIII. 3(25):259-293, láms. 14-17
 - 1974. Ibidem. Parte IX. 3(26):323-360, láms. 18-21
- KNOX, G.A. - 1960. Littoral ecology and biogeography of the southern oceans. Proc. Roy. Soc. London. Ser.B. 152(949):577-624
- LOPEZ, R.B. - 1964. Problemas de la distribución geográfica de los peces marinos sudamericanos. Bol. Inst. Biol. Mar del Plata, 7: 57-63
- OLIVIER, S.R., A.M. ESCOFET, J.M. ORENSANZ, S.E. PEZZANI, A.M. TURRO y M.A. TURRO - 1966. Contribución al conocimiento de las comunidades benthicas de Mar del Plata. An.Com.Inv.Cient. 7:185-206
- OLIVIER, S.R. y V. SCARABINO - 1973. Distribución ecológica de algunos moluscos recogidos por la expedición del "Walter Herwig" (RFA) al Atlántico sudoccidental (1966). Rev. Brasil. Biol. 32(2):235-247.

- OLIVIER, S.R. y P. PENCHASZADEH - 1968. Observaciones sobre la ecolología y biología de Siphonaria (Pachysiphonaria) lessoni (Bl., 1824) Cah. Biol. Mar. 10:465-498
- PARODIZ, J.J. - 1942. Transgresiones oceánicas y fauna del mar epicontinental Argentino. Rev. Geogr. Amer. 13:203-211
- PENCHASZADEH, P. - 1973. Ecología de la comunidad del mejillón (Brachidontes rodriguezi d'Orb.) en el mediolitoral rocoso de Mar del Plata (Argentina): el proceso de recolonización. Physis 32 (84):51-64
- PÉREZ, J.M. - 1961. Oceanographie biologique et biologie marine. I. La vie benthique. Ed. Presse Universit. France. 541 pp.
- RIOS, E.C. - 1975. Brazilian marine mollusks Iconography. Fund. Univ. Rio Grande. Mus. Oceanogr. RGS. 331 pp. RS
- SCARABINO, V., S. MAYTIA y J.C. FAEDO - 1974. Zonación biocenológica de playas arenosas del departamento de Rocha (Uruguay) con especial referencia a la presencia de Ocypode quadrata (Fabricius, 1878) (Decapoda: Brachyura). Bol. Com. Nac. Oceanol. 1(1):42-52
- SCARABINO, V., y S. MAYTÍA (1977 -MS-). Relevamiento ecológico y tipificación de las comunidades mediolitorales de la costa uruguaya. (Manuscrito).
- SICARDI, O.E. - 1967. La influencia de las corrientes marinas sobre la malacofauna uruguaya. Com. Soc. Malac. Uruguay. 2(12):49-60
- STUARDO, J.B. - 1964. Distribución de los moluscos marinos litorales en Latinoamérica. Bol. Inst. Biol. Mar del Plata, 7:79-91
- VANUCCI, M. - 1964. Zoogeografia marinha do Brasil. Bol. Inst. Biol. Mar. Mar del Plata 7:113-121
- WOODWARD, S.P. - 1856. A manual of the Mollusca. ("Marine Provinces": 352-381), London.

-----0-----0-----0-----0-----

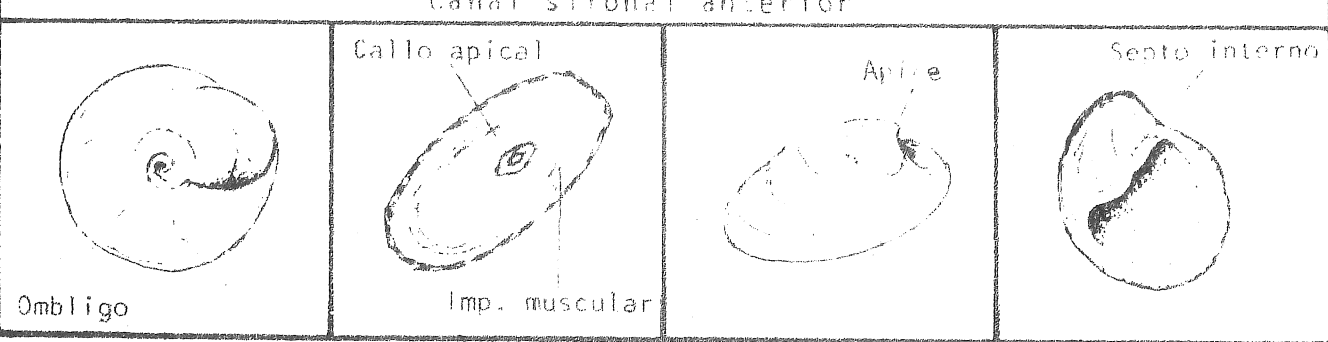
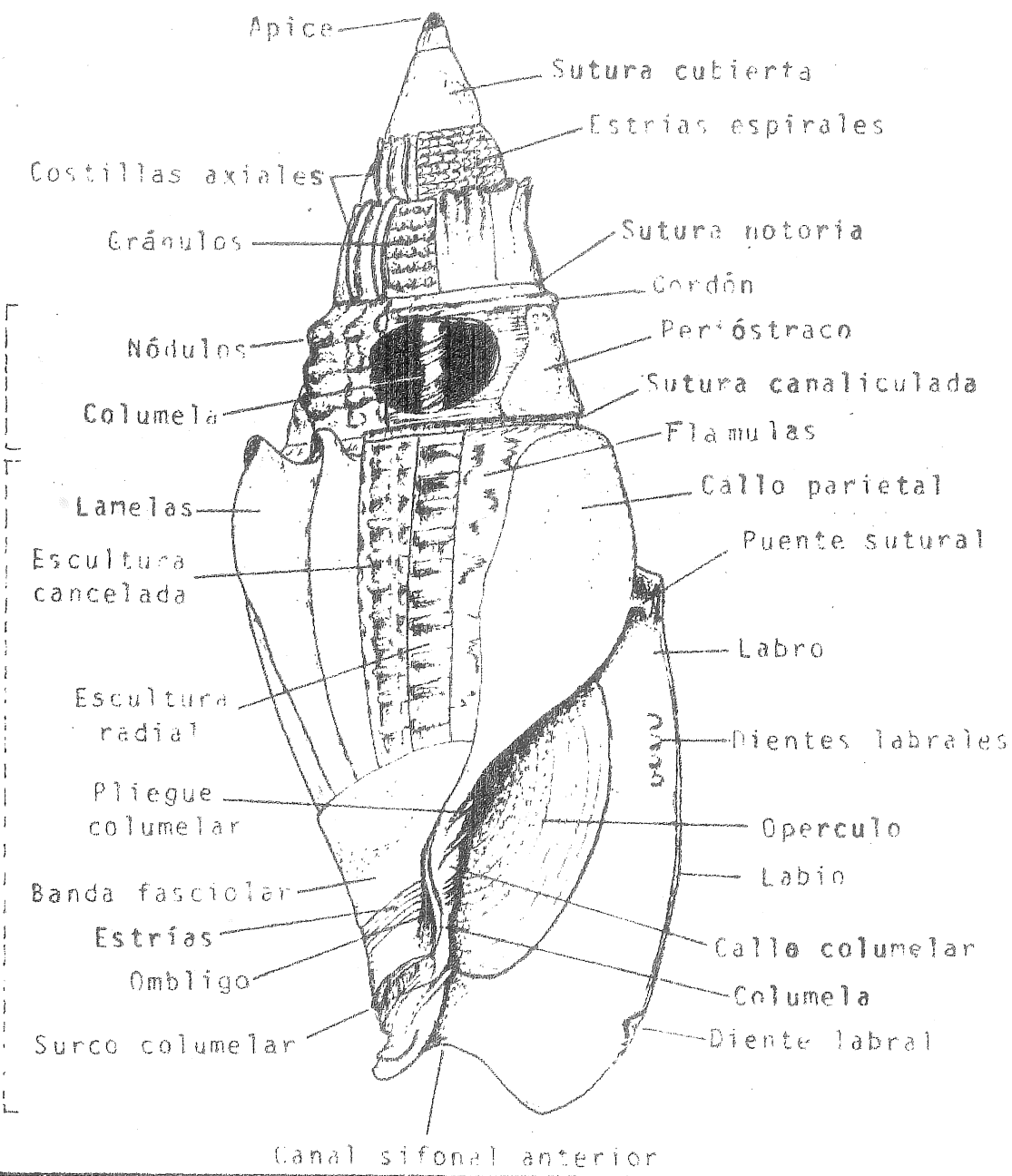
CLAVES PARA LA DETERMINACION DE
FAMILIAS, GENEROS Y ESPECIES DE MOLUSCOS
GASTEROPODOS (excepto NUDIBRANQUIOS), PELECIPODOS,
ESCAFOPODOS Y POLIPLACOFOROS DEL GOLFO SAN MATIAS
(Provincia de Río Negro, Argentina)

Victor Scarabino

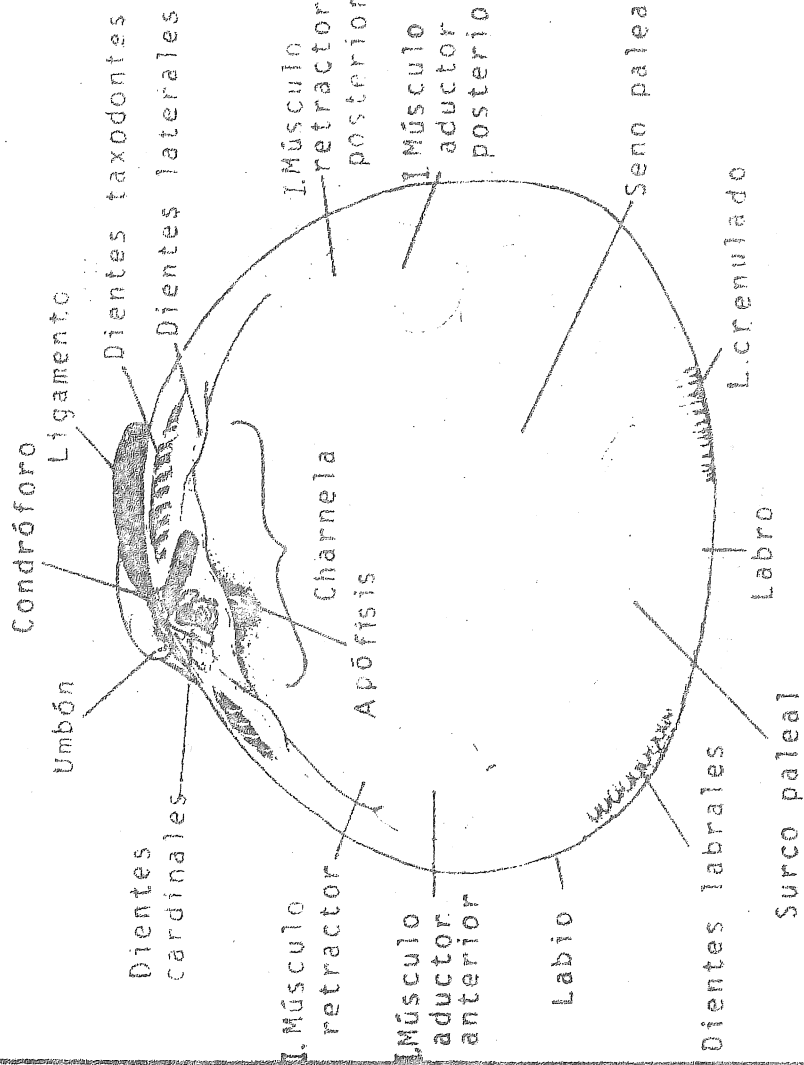
ESQUEMA DE LAS FORMACIONES MENCIONADAS EN LA CLAVE REPRESENTADAS

A

EN UN GASTEROPODO IDEAL



**ESQUEMA DE LAS FORMACIONES MÍTICIONADAS EN LA CLAVE
REPRESENTADAS EN UN PELECIPODO IDEAL**



B

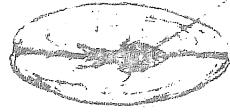
Esc. radial



Nódulos

Escamas

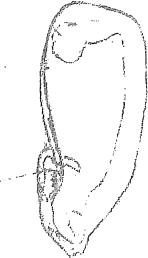
Aurículas



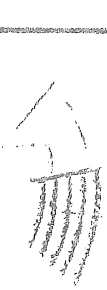
ESC. cancelada



Lámelas



Línea de crecimiento

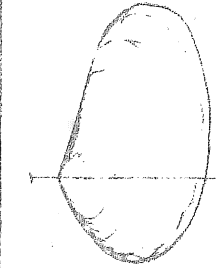


ESC. concéntrica

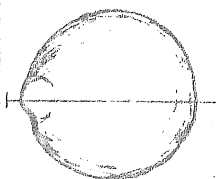


SIMPALEADA

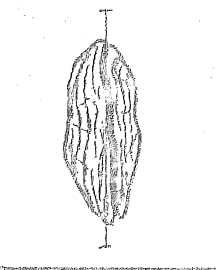
INTEGRIPALEADA



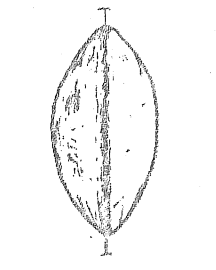
INEQUILATERAL



EQUIVALVA



INEQUILATERAL



HIANTE				
MITILIFORME	BUCCHIFORME	CONICOESPIRAL	PATELIFORME	TRIANGULAR
CUNEIFORME	MITRIFORME	GLOBOSEA	OVAL	ELLIPSOIDEA
MURICIFORME	FUSIFORME	LANCEOLADA	HOLOSTOMADA	COLMADA
MODIOLIFORME		CONICOELEVADA	SIFONOSTOMADA	SPICULADA
VENERIFORME	SUBCILIARIA	OVAL CONICA	TROCOIDE	TRIANGULARIS
SUBSTRANGULARIA	SUSCILIARIA	OVOIDE	TURBODEPRIMIDA	TRIANGULARIS

CLAVES PARA EL RECONOCIMIENTO DE
FAMILIAS, GENEROS Y ESPECIES DE MOLUSCOS
DEL GOLFO SAN MATIAS

I - GASTROPODA (excepto Nudibranchia)

- 1 - Conchilla no enrollada en espiral, generalmente pateliforme 2
- Conchilla espiralada 5
- 2 - Impresión muscular interrumpida hacia la derecha. Apice posterior y hacia la izquierda. Valva asimétrica SIPHONARIIDAE
Siphonaria
S. lessoni
(Lám. 2, fig. 12)
- Impresión muscular interrumpida hacia adelante. Apice mediano o anterior 3
- 3 - Apice perforado FISSURELLIDAE ... 15
- Apice imperforado 4
- 4 - Sin septo interno PATELLIDAE 19
- Con septo interno. Apice posterior CALYPTRAEIDAE
Crepidula 20
- 5 - Conchilla holostomada 6
- Conchilla sifonostomada 9
- 6 - Conchilla trocoide: turbinada, turbodeprimida, cónicoespiral o subcilíndrica. Peristoma circular, suboval o cuadrangular. Opérculo córneo multispiral. Interior nacarado TROCHIDAE 23
- Conchilla globosa, espira corta, callo parietal notorio. En general umbilicada. Abertura grande, oval, que ocupa la mitad o más del largo total Opérculo córneo, calcáreo o córneo-calcáreo. Con o sin callo columelar Sin callo columelar, conchilla umbilicada. Exterior añil-violáceo con una banda crema bordeando la sutura. Opérculo córneo-calcáreo NATICIDAE
Natica
N. limbata
(Lám. 2, fig. 7)
- Lanceolada, turriteliforme o turbinada ... 7

- 7 - Apice levógiro, anfractos rectos. Columna recta. Pequeños PYRAMIDELLIDAE
Turbonilla 27
- 8 - Apice dextrógiro 8
- 8 - Sin escultura. Periostraco grueso HYDROBIIDAE
- Conchilla lanceolada o turbinada. Abertura suboval. Imperforada. Borde columelar notorio Lanceolada. Anfractos rectos, periostraco verdoso. Abertura ovalada, angulosa posteriormente. Hasta 6 mm de long. Littoridina
- Escultura consistente en medianas a fuertes costillas axiales *L. australis*
 (Lám. 2, fig. 10)
- 9 - Conchilla cónicolevada o turriculada, anfractos rectos a subconvexos. Canal sifonal profundo EPITONIIDAE
Epitonium 28
- Escultura consistente en costillas numerosas con nódulos en la porción posterior y sobre la sutura. Bandas espirales habano y crema observables también en el interior de la abertura TEREBRIDAE
Terebra
- Conchilla diferente *T. gemmulata*
 (Lám. 3, fig. 9)
- 10 - Con pliegues columelares 10
- Sin pliegues columelares, a lo sumo un surco en la base de la columela 11
- 11 - Conchilla oval, subcilíndrica, ovoide u oval-cónica. Sutura canaliculada total o parcialmente. Pliegues columelares débiles y generalmente numerosos. Espira corta. La abertura ocupa cerca de los 3/4 del largo total. Puede presentar espira cubierta y diente labral anterior. Exterior brillante 12
- Conchilla generalmente grande, alargada u ovoide. Abertura grande, pocos pliegues columelares fuertes. Sutura cubierta o no. Espira corta o presentando ápice acumulado OLIVIDAE 29
- VOLUTIDAE 33

- Oval u ovoide. Labio reflejado (cuando adultas y filoso cuando juveniles). Espira corta o achatada. Superficie esmaltada. Pocos pliegues columelares, fuertes. Sutura lisa MARGINELLIDAE
- Color castaño a ocre. Espira baja, cóncava. Labio y base de la columela más claro que el resto Cryptospira
- 12 - Conchilla buccinoide, mitriforme o bicónica. Sutura notoria. Espira mediana a alta C. martini
(lám. 4, fig. 8)
- Conchilla muriciforme, claviforme, turritiforme o fusiforme 13
- 13 - Pequeña, sólida. Labro generalmente dentado. Escultura débil o sin ella. Anfractos rectos a subconvexos 14
- Labro liso, labio generalmente cortante. Abertura grande ocupando 1/3 a 1/2 del largo total. Tamaño mediano a grande. Escultura débil COLUMBELLIDAE ... 36
- 14 - Conchilla muriciforme. En general con fuerte escultura. Espira baja a alta, anfractos convexos. Canal sifonal profundo, a veces cubierto. Sutura notoria. Labro dentado o liso MURICIDAE 42
- Muriciforme, claviforme, turritiforme o fusiforme. Canal sifonal profundo. Con hendidura notoria en la parte posterior del labio. Esculturados TURRIDAE
- Muriciforme. Espira mediana, turriculada, anfractos angulosos. Cancelada o con cordones rugosos. Sutura bordeada por estriás螺旋的. Labio con escotadura poco hendida Pleurotomella
- P. aguayoi
(Lám. 4, fig. 9)
- 15 - Orificio apical muy grande. Conchilla fuertemente deprimida. El animal, mucho más grande que el caparazón, lo cubre totalmente Fissurellidea
- Orificio apical pequeño. Conchilla alta a medianamente deprimida F. hiantula
(Lám. 1, fig. 3)
- 16

- 16 - Orificio apical anterior. Callo truncado a la base, posterior. Escultura radial o cancelada. Borde crenulado
- Orificio apical mediano a anterior. Callo uniforme
- 17 - Conchilla alta a medianamente deprimida. Perímetro oval alargado o elipsoide
- Deprimida. Perímetro subtriangular Sólida, escultura radial-cancelada con o sin escamas sobre las costillas. Orificio apical oval o subtriangular, así como el callo. Borde espeso, crenulado
- 18 - Conchilla alta con costillas débiles. Color verdoso a púrpura. Orificio apical pequeño
- Conchilla medianamente deprimida. Orificio apical más grande que la anterior. Escultura muy débil. Presenta, en general, bandas claras y oscuras alternadas radialmente
- 19 - Conchilla cónica, piramidal. Base oval u oval alargada. Apice mediano a anterior. Escultura radial fuerte o no. Impronta muscular notoria Espacios intercostales de color más claro. Pueden ocurrir ejemplares sin costillas
- Conchilla delicada, frágil. Apice muy anterior, mucronado. Base oval-alargada a elipsoide. Con o sin costillas irregulares poco notorias Color castaño claro a oscuro
- 20 - Apice enrollado, base oval a subcircular. Aspecto, hasta hemisférico
- Apice no enrollado en espiral, base oval o irregular
- Diodora
- D. patagonica
- (Lám. 1, fig. 1)
- 17
- Fissurella
- Lucapinella
- L. henseli
- (Lám. 1, fig. 2)
- F. radiosa
- (Lám. 1, fig. 5)
- F. oriens
- (Lám. 1, fig. 6)
- Patinigera
- P. magellanica
- (Lám. 1, fig. 7)
- Nacella
- N. mytilina
- (Lám. 1, fig. 4)
- 21
- 22

- 21 - Superficie lisa, septo convexo con profunda escotadura a la izquierda. Grande... *C. dilatata*
 (Lám. 3, fig. 2)
- Superficie rugosa o con costillas que presentan escamas. En general, borde débilmente crénulado *C. aculeata*
 (Lám. 3, fig. 1)
- 22 - Apice grande, sobresaliendo el borde posterior de la conchilla, generalmente alta. Color blanco a habano *C. protea*
 (Lám. 3, fig. 4)
- Apice bajo, pequeño, agudo, cercano al borde. Conchilla baja, expandida. Color generalmente castaño menos el septo que es blanco *Crepidula sp.*
 (Lám. 3, fig. 5)
- 23 - Turbinada o turbideprimida. Con o sin ombligo. Conchilla gruesa. Columela curva a veces dentada en la base. Anfractos convexos *Tegula* 24
- Conchilla sin escultura, salvo muy finas líneas espirales. Anfractos casi rectos. Sin dientes en la columela. Espira baja. Aspecto pulido o no *Photinula*
P. blakei
 (Lám. 2, fig. 15).
- Conchilla generalmente con cordones o estrías espirales, esculturados. Columela recta. Sin ombligo ni callo notorio. Anfractos rectos o angulosos. Abertura subcuadrangular *Calliostoma* 26
- 24 - Sin escultura espiral. Anfractos casi rectos. Un diente en la columela. Liso, color negro-violáceo con una mácula blanca bordeando la parte umbilical *T. atra*
 (Lám. 2, fig. 3)
- Con escultura espiral 25

25 - Umbilicada. Sólida. Labio grueso con denticulos en el labro generalmente. Anfractos convexos. Estrias espirales con gránulos deprimidos. Pueden hallarse ejemplares con el ombligo cubierto

T. patagonica
(Lám. 2, fig. 1)

- Subumbilicada, anfractos más convexos que la anterior. Escultura espiral débil. Sin denticulos en el labro. Sutura notoria ..

T. orbignyana
(Lám. 2, fig. 2)

26 - Conchilla espiralcónica, anfractos rectos el último anguloso en la base. Color crema a morado, con flámulas

C. jucundum
(Lám. 2, fig. 14)

- Turbinada, grande, sólida. Anfractos convexos. Sutura notoria, profunda, irregular

C. militaris

- Espira baja, escalonada, aguda. Anfractos angulosos. Callo columelar débil, blanco en la región umbilical. Estrias espirales débiles, lisas o con pequeños nódulos. Pulida. Manchas de color oscuro dispuestas regularmente en los ángulos de los anfractos sobre el grisáceo del caparazón .

C. coppingeri
(Lám. 2, fig. 13)

27 - Escultura consistente en costillas que no alcanzan la sutura y espacios intercostales hundidos. Color blanco ceniciento ...

T. uruguensis
(Lám. 3, fig. 7)

- Anfractos subconvexos. Cancelada

T. fasciata

28 - Con costillas fuertes. Abertura bordeada entera. Color blanco

E. georgettina
(Lám. 2, fig. 8)

- Con costillas estrechas, bajas, cortantes, numerosas y escultura espiral fina. Color blanco

E. tenuistriata
(Lám. 2, fig. 9)

29 - Conchilla sólida, abertura grande y generalmente ancha, ocupando más de los 3/4 del largo total. Brillante. Espira corta. Con puente sutural. Sutura canaliculada total o parcialmente

Olivancillaria .. 30

- Pequeña. Abertura más angosta y corta (hasta 3/5 del largo total de la conchilla). Sutura canaliculada total o parcialmente. Espira corta, con puente sutural Olivella 32
- Sutura lisa o cubierta. Sin puente sutural. Con dentículo saliente en el quinto anterior del labro Color blanco, generalmente con una mancha ferruginosa en el ápice Ancilla
A. dimidiata
(Lám. 3, fig. 8)
- 30 - Espira chata, con las primeras vueltas muy angostas, puntiagudas Subcilíndrica, cónica hasta oval cónica. Ultimo anfracto mucho más ancho que los demás. Callo prominente que abarca la sutura, canaliculada hasta el eje axial ven tral. Color castaño claro, con manchas pequeñas regularmente dispuestas cerca de la sutura, y flámulas en el resto. Banda fasciolar gruesa, castaño oscuro; puente sutural ancho O. urceus
(Lám. 5, fig. 7)
- Espira baja a mediana, ápice romo o agudo. 31
- 31 - Oval cónica. Espira mediana, aguda. Sutura canaliculada en los últimos anfractos, rellena en los primeros. Callo columelar poco notorio. Labio filoso. Color beige con flámulas O. uretai
(Lám. 5, fig. 9)
- Gruesa, sólida. Con gran callo columelar que cubre gran parte de la espira, roma y sutura canaliculada. Ultimo anfracto muy grande, abertura grande, curva en la porción posterior. Banda fasciolar clara, superficie exterior celeste a grisácea, interior violáceo oscuro, labio y parte del labro amarillento, espeso y labio filoso O. vesica
auricularia
(Lám. 5, fig. 8)
- Sólida, oval-alargada. Los ejemplares de San Matías son de color violáceo oscuro con áreas más claras en la banda fasciolar y sectores del callo columelar O. carcellesi
(Lám. 5, fig. 10)

- 32 - Pequeña, brillante. Banda fasciolar oscura. Callo poco notorio. Color variable crema a violáceo O. tehuelcha
 (Lám. 3, fig. 6)
- Pequeña, conchilla blanca, brillante. Sutura canaliculada, profunda. Pliegue basal ancho O. plata
- 33 - Conoide o alargada. Lisa, brillante. Espira corta cubierta por un depósito acumulado, largo. Ultimo anfracto muy largo, abertura grande subtriangular a subrectangular. Labio grueso. Tres pliegues columelares fuertes Zidona
Z. dufresnei
 (Lám. 4, fig. 1)
- Rádula uniseriada, diente raquídeo con tres denticulos diferentes, cada uno formando arco Odontocymbiola ... 34
- Rádula uniseriada, diente raquídeo con tres denticulos casi iguales, sin formar arco, casi en el mismo plano Adelomelon 35
- 34 - Ovoide, hasta subcuadrada, pocos tubérculos gruesos. Espira corta, con anfractos casi rectos. Tres pliegues columelares... O. subnodosa
 (Lám. 4, fig. 3)
- Ovoide, abertura inflada. Con o sin tubérculos. Anfractos subconvexos o convexos. Espira baja. Interior naranja a caspaño. 3 a 4 pliegues columelares O. magellanica
 (Lám. 4, fig. 2)
- Ovoide, hasta concide. Ultimo anfracto anguloso, con tubérculos regulares que nacen cerca de la sutura O. tuberculata
- 35 - Oval alargada, sólida. Espira alta no puntiaguda, pero no mamelonada. Boca grande oval alargada. Anfractos convexos. Con estrías espirales débiles. Columela ancha. A. paradoxa
- Ovoide, sólida. Espira muy baja y angosta último anfracto muy grande, anguloso, con tubérculos medianos. Abertura grande, labro espeso. Periostraco oscuro, grueso... A. brasiliiana

- 36 - Mitriforme o cónico alargada o bicónica. Espira mediana a alta. Con o sin dentículos en el labro. Abertura angosta, larga. Generalmente con estriás espirales, más notorias en la base de la columela Anachis 37
- Subcilíndrico-bicónico. Abertura corta. Labro liso
Blanco sucio con flámulas claras
- 37 - Mitriforme, Espira alta, anfractos rectos. Con o sin dentículos labrales. Con o sin costillas. Sutura recta o suavemente ondulada. Color castaño, dibujada.
- Oval-cónica, pequeña. Labro dentado, labio espeso. Costillas axiales dispuestas regularmente. Espira mediana
- Pequeña. Anfractos ligeramente convexos. Espira mediana, con estriás espirales en todos los anfractos o notables sólo en los primeros
- 38 - Fusiforme, con tubérculos poco o muy notorios en los ángulos de los anfractos. Espira generalmente alta, turriculada. Base de la columela puntiaguda. Brillante Dos bandas violáceas alternadas con otras de color crema, observables también en el interior de la abertura
- Subfusiforme, oval-cónica hasta inflada. Con o sin cordones cerca de la sutura en los que poseen anfractos angulosos. Columela generalmente cóncava, brillante. Con callo en el borde posterior, base de la columela afinada. Labio cortante o espeso.
- 39 - Con espira mediana
- Con espira alta
- 40 - Conchilla oval-cónica a inflada. Anfractos poco convexos. Sutura notoria. Labio espeso pero filoso. Sin salencias en los anfractos. Lisa o con débiles estriás espirales bordeando la sutura. Abertura grande. Color amarillento a violáceo, columela amarillenta, interior oscuro, labro claro
- Aesopus
A. metcalfei
(Lám. 2, fig. 11)
- A. moleculina
(Lám. 2, fig. 4)
- A. isabellae
(Lám. 2, fig. 5)
- A. paessleri
- Dorsanum
- D. moniliferum
(Lám. 5, fig. 6)
- Buccinanops 39
- 40
41
- B. globulosum
(Lám. 5, fig. 5)

- Similar a la anterior, pero con saliencia irregular en el borde de la sutura que le da a la espira un aspecto escalonado. Callo columelar notorio. Anfractos poco convexos a subrectos

B. deformis

(Lám. 5, fig. 1)

41 - Con cordón espiral notorio bordeando los anfractos, poco convexos, cerca de la sutura. Espira escalada. Abertura grande. Brillante o con periostraco oscuro

B. gradatum

(Lám. 5, fig. 4)

- Oval alargada. Anfractos subconvexos, el último hasta inflado. Callo columelar notorio. Borde posterior de la abertura deprimido. Cordón poco notorio, salvo en el último anfracto

B. lamarcki

(Lám. 5, fig. 3)

- Abertura no tan inflada. Fina escultura espiral bordeando la sutura. Callo poco notorio. Conchilla mediana

B. uruguensis

(Lám. 5, fig. 2)

42 - Conchilla fusiforme, pequeña, sólida. Con denticulos en el labro. Escultura consistente en nódulos dispuestos regularmente en forma axial. Labio grueso, rugoso. Canal sifonal profundo

MorulaM. necocheana

(Lám. 4, fig. 6)

- Sin denticulos en el labro. Ultimo anfracto muy convexo. Espira mediana a alta. Abertura oval. Labio generalmente fino. Canal sifonal profundo, abierto, mediano a largo. Ombligo con borde fasciolado ...

Trophon 43

43 - Sin escultura o raramente con débiles cordones espirales o cancelada. Conchilla gruesa, labio filoso, espeso. Abertura oval. Anfractos convexos. Sutura profunda. Espira mediana a alta. Interior viláceo, borde de la columela y labro blanquecinos. (Pueden hallarse ejemplares totalmente blancos

T. varians

(Lám. 4, fig. 4)

- Conchilla ancha, con fuertes y filosas lamelas dispuestas en forma irregular. Abertura oval o subcircular T. lamellosa
(Lám. 4, fig. 5)
- Escultura muy variable: cordones espirales, cordones y lamelas (nunca sólo lamelas) o cancelada. Anfractos angulosos, espira mediana a alta. Interior violáceo... T. geversianus
(Lám. 4, fig. 7)

II.- POLYPLACOPHORA

- 1 - Cinturón ancho, piloso. Placas lisas o con pocos tubérculos MOPALIDAE
Plaxiphora
Color verdoso grisáceo. Placa con costillas radiales y bandas claras concéntricas
 - Cinturón no piloso: aparentemente
 - 2 - Cinturón con franjas de coloración transversa alternada claro-oscuro. Placas con tubérculos pequeños en hileras radiales..
 - Cinturón angosto de color uniforme. Placas con tubérculos notorios, en hileras radiales en el área lateral y menos en las centrales
- P. aurata aurata
(Lám. 5, fig. 14)
CHAETOPLERIDAE
Chaetopleura 2
- Ch. isabellei
(Lám. 5, fig. 12)
- Ch. fulva
(Lám. 5, fig. 13)

IIa - SCAPHOPODA

- 1 - Caparazón tubular. En general con el diámetro mayor cerca de la abertura. Tamaño pequeño. Superficie lisa. Corte transversal cilíndrico u oval. Apice simple o con hendiduras
Diámetro mayor entre la boca y la mitad del caparazón
Pequeño, translúcido o blanco brillante. Con cuatro hendiduras profundas que dividen el ápice en sendos lóbulos notorios..
- SIPHONODENTALIIDAE
Cadulus
- C. tetraschistus
(Lám. 5, fig. 11)

III - PELECYPODA

- 1 - Charnela taxodonta GLYCYMERIDIDAE
 Valvas sólidas, suborbiculares Glycymeris
G. longior
 (Lám. 7, fig. 6)
- Charnela distinta o sin ella 2
- 2 - Valvas frágiles, hasta translúcidas. Subtriangulares o cuneiformes. Borde posterior redondeado o truncado. Umbos terminales.
 Charnela sin dientes PINNIDAE
Atrina
- Color castaño claro. Escultura radial consistente en pocas costillas irregulares, con escamas o no, sobre líneas de crecimiento algo lameladas, notorias. Borde posterior truncado A. seminuda
 (Lám. 7, fig. 5)
- Valvas no tan frágiles. Mitiliformes, cuñeiformes o subciliárdicas. Borde posterior no truncado. Umbones anteriores terminales o subterminales MYTILIDAE 19
- 3 - Valvas auriculadas a los lados de los umbones. Subequivalvas o marcadamente inequivalvas. Con aurículas iguales o distintas. Umbones derechos. Con escultura radial o lisa. Impresión del músculo aductor posterior casi central, anterior falta.... Aurículas desiguales PECTINIDAE
Chlamys 24
- Valvas sin aurículas a los lados de los umbones. Sólidas, con una sola impresión muscular. Con fuertes cóstulas radiales y borde sinuoso. Valva izquierda, libre, con dos cardinales y tres fosetas en la charnela. Valva derecha, fija al sustrato, con dos dientes y dos fosetas PLICATULIDAE
Plicatula
- Color generalmente ladrillo, salpicado en blanco. Interior blanco P. gibbosa
 (Lám. 7, fig. 8)

- 4 - Valvas irregulares, inequivalvas. La derecha, fija al sustrato, con orificio calcificado o no, para el paso del biso ANOMIIDAE
Pododesmus 26
- Una sola impresión muscular. Inequivalva. Valva izquierda fija al sustrato. Lameladas o no OSTREIDAE
Ostrea 27
- 5 - Integripaleadas 6
- Sinupaleadas 8
- 6 - Inequilaterales. Lunuladas. Equivalvas. Con o sin escultura concéntrica. Charnela con hasta tres tipos de dientes cardinales y dos laterales CRASSATELLIDAE
 • Pequeñas, comprimidas. Con ligamento interno. Umbones opistogiros
 • Color crema a ocre. Charnela con dos cardinales en cada valva. Inesculturada
Crassinella
C. maldonadoensis
 (Lám. 11, fig. 2)
- Inequilaterales. Trapezoidales o redondeadas. Con costillas radiales con nódulos y labro crenulado. Lúnula pequeña. Charnela con dos dientes distintos en la valva izquierda. En general poseen biso CARDITIDAE
 • Trapezoidal, sólida. Con dientes cardinales fuertes, bien definidos
 • Pequeña, hasta 6 mm. Costillas con nódulos bajos
Carditamera
C. plata
 (Lám. 9, fig. 9)
- Equilaterales, equivalvas. Suborbicular. Charnela con dos dientes cardinales en cada valva. Sin dientes laterales DIPLODONTIDAE ... 28
- 7 - Pequeños, valvas delgadas inesculturadas. Pie bisógeno. Ligamento externo débil y cartílago interno, blanco con ranura oblicua ERYCINIDAE
 • Color marrón rojizo. Periostraco grueso, irregular, en parte claro. Adhiere a sustrato duro
Lasaea
L. adansoni
 (Lám. 6, fig. 7)

- Grandes. Escultura radial notoria a fuerte observable en el interior de la conchilla. Bordes dentados u ondulados. Ligamento externo grueso CARDIIDAE
- Globosa alargada. Con dentículos sobre las costillas Trachycardium
- Interior con dos manchas rosa-lila interrumpidas por una amarilla T. muricatum
(Lám. 8, fig. 1)
- 8 - Charnela notoria, con placa evidente. Con hasta cuatro dientes cardinales en cada valva, con o sin laterales. Ligamento externo inserto en ranura. Valvas generalmente sólidas. Lisas o escultura concéntrica o cancelada. Suborbiculares a triangulares. Con lúnula notoria VENERIDAE 30
- Condroforadas 9
- 9 - Condróforo triangular o romboidal, algo oblicuo hacia atrás. Seno paleal casi siempre anguloso. Valvas subtriangulares, equilaterales o marcadamente inequilaterales.. MACTRIDAE 33
- Condróforo casi derecho, triangular, sobre saliendo ventralmente. Seno paleal longitudinal. Valvas inequilaterales. Umbones opistogiros MESODESMATIDAE
- .Color crema a blanco, periostraco fino, evidente. Interior blanco opaco Mesodesma
- M. mactroides
(Lám. 8, fig. 7)
- 10 - Condróforo alargado o triangular, oblicuo inclinado hacia atrás. Dientes laterales poco desarrollados o ausentes. Seno paleal amplio, profundo SEMELIDAE
- Semele 35
- Condróforo no definido pero profundo. Charnela con un diente cardinal fuerte en cada valva. Pequeñas CORBULIDAE
- Corbula
- .Valvas sólidas, rostradas. Inequilateral, inequiválva. Con escultura concéntrica irregular. Quilla notoria C. lyoni
(Lám. 9, fig. 8)

- 11 - Valvas subrectangulares alargadas 12
 - Valvas oval-alargadas. Infladas. Umbones anteriores. Perforantes 13
- 12 - Extremos curvos. Umbones subcentrales. Charnela con dos dientes finos, largos...
 - Extremos casi rectos, hiantes. Con forma de navaja. Umbones muy anteriores
 13 - Con mióforo. Charnela edéntula, Hiantes. Con una o más placas suplementarias junto al mióforo
 - Sin mióforo. Charnela con dos dientes cardinales en cada valva, uno de ellos bífido. Foladiforme, endolíticos
 14 - Con litodesma
 - Sin litodesma
 15 - Comprimida, valva derecha chata, izquierda convexa. Inequilaterial. Charnela con crestas lameliformes. Litodesma desarrollada o no
 . Borde dorsal casi recto
 . Blanca. Periostraco grisáceo. Angosta ...
 - Valvas irregulares, delicadas, interior nacarado. Periostraco evidente. Sin dientes en la charnela. Ligamento interno o externo
 16 - Valvas delicadas, comprimidas, bordes filosos
 - Valvas fuertes, infladas, hiantes o muy hiantes posteriormente
 17 - Borde posterior rostrado, anterior curvo. Seno paleal grande. Con cartílago externo
- SOLECURTIDAE
Tagelus
T. plebeius
 (Lám. 10, fig. 6)
- SOLENIDAE 36
- PHOLADIDAE 37
- PETRICOLIDAE
Petricola 39
- 15
- 16
- PANDORIDAE
Pandora
P. patagonica
 (Lám. 10, fig. 5)
- LYONSIIDAE 40
- 17
- HIATELLIDAE 41
- TELLINIDAE
Tellina 42

- 18 - Borde posterior redondeado, anterior casi recto. Seno paleal grande. Con cartílago externo o sin él. Escultura finamente granular o sin ella **THRACIIDAE** 43
- 19 - Con escultura radial 20
 - Sin escultura radial 23
- 20 - Escultura radial en dos haces. Zona intermedia entre ellos, lisa **Musculus**
M. viator
 (Lám. 6, fig. 8) 21
- Escultura radial en toda la conchilla ...
- 21 - Mitiliforme, grande, valvas gruesas. Umbones puntiagudos. Escultura radial fuerte. Labro liso. Charnela son un solo diente **Aulacomya**
A. ater
 (Lám. 6, fig. 4) 21
- Pequeña, suborbicular, inflada. Borde crenulado
 . Periostraco ocre a castaño. Interior blanco, nacarado **Crenella**
C. divaricata
 (Lám. 6, fig. 6) 22
- Mitiliforme, cuneiforme, oval. Valvas generalmente finas **Brachidontes** ... 22
- 22 - Costillas medianas a muy notorias. Borde posterior crenulado. Oval. Charnela con varios dientes subiguales, concreción calcárea cerca de ella. Periostraco grueso, violáceo oscuro. Escultura en toda su extensión **B. purpuratus**
 (Lám. 6, fig. 2) 22
- Cuneiforme, modioliforme. Costillas menos notorias que, en general, no llegan a la región anterior. Umbones altos, subterminales y redondeados. Borde posterior liso. Color castaño **B. rodriguezi**
 (Lám. 6, fig. 1) 22
- 23 - Subciliindrica. Región anterior hemisférica. Sin dientes en la charnela. Bordes casi paralelos. Borde posterior anguloso que se continúa en un rostro calcáreo. Endolítico
 . Castaño claro, interior nacarado. Frágil. **Lithophaga**
L. patagonica
 (Lám. 6, fig. 5) 22

- Mitiliforme. Líneas de crecimiento notorias. Borde dorsal anguloso, ventral recto. Impresión del músculo retractor anterior muy alargada. Banda resilial perforada. Impresión de retractores medio y posterior unidas. Aductor anterior presente. Umbones terminales
Contorno oval, oval-alargado, cuneiforme. Periostraco grueso de color variable así como el caparazón, castaño a violáceo oscuro. Interior similar

Mytilus

M. edulis platensis
(Lám. 6, fig. 3)

- 24 - Lisa o con muy débil y escasa escultura radial y/o escamosa.
Redondeada, bordes filosos y sinuosos.
Comprimida. Valva dorsal color naranja a castaño con dibujos en V entrecruzados, claros, típicos. Valva ventral más clara.

Chlamys felipponei
(Lám. 7, fig. 3)

- 25 - Con costillas radiales fuertes y numerosas
Hasta 15 costillas primarias con tres hileras de escamas. Espacios intercostales también con escamas. Dentado en la valva dorsal, en la hendidura del biso. Color rosa a marrón rojizo con flámulas blancas.

25

Ch. tehuelchus
(Lám. 7, fig. 2)

- Valvas frágiles. Costillas primarias numerosas, 40 o más. Valva ventral clara. Dorsal de color variable, blanco, amarillo, rosa, morado
- Más sólida que la anterior. Hasta 35 costillas primarias desnudas. Color castaño espacios intercostales claros

Ch. lischkei
(Lám. 7, fig. 1)

- 26 - Valvas frágiles, contorno relativamente regular. Se insinúa escultura radial débil

Ch. patagonicus
(Lám. 7, fig. 4)

- Valvas más sólidas y contorno irregular oval, subrectangular. Sin escultura radial

P. leloiri
(Lám. 9, fig. 2)

P. rufus
(Lám. 9, fig. 1)

- 27 - Subredondeada, grande. Con hasta 15 crenulaciones a los lados del ligamento O. puelchana
 (Lám. 7, fig. 7)
- Irregular, alargada o acuminada. Con hasta 30 crenulaciones a los lados del ligamento
O. equestris
- 28 - Superficie lisa Diplodonta 29
- Superficie con nódulos pequeños dispuestos en el sentido de las líneas de crecimiento, o punteada
 Pequeña, inflada, blanca, con nódulos ...
Phlyctiderma
Ph. semiaspera
 (Lám. 10, fig. 7)
- Suborbiculares, fuertes, comprimidas. Bordes a cada lado del umbón oblicuos
D. vilardeboana
- Más débil y abultada que la anterior. Bordes a cada lado del umbón, casi rectos ..
D. patagonica
- 30 - Con escultura notoria 31
 Sin escultura notoria 32
- 31 - Sólida, escultura radial y concéntrica. Lúnula notoria, escutiforme. Labro crenulado. Tres cardinales fuertes en cada valva
Protothaca
P. antiqua
 (Lám. 8, fig. 5)
- Oval elíptica. Inequilaterial. Escultura solamente concéntrica, fina. Labro liso, umbones prosogiros. Lúnula lanceolada ...
Eurhomalea
E. exalbida
- Subtriangular. Escultura concéntrica gruesa, cordiforme. Labro crenulado
Transenpitar
T. americana
 (Lám. 8, fig. 4)
- 32 - Subtriangular, casi equilaterial. Lisa, periostraco brillante. Ligamento corto, fuerte. Labro crenulado
 Color crema, a veces con bandas radiales lila
Tivéla
T. isabelleana
 (Lám. 8, fig. 6)
- Oval, veneriforme, lúnula notoria, clara. Labro liso. Diente cardinal bifido en la valva derecha, simple en la izquierda. Ligamento largo
Amiantis

- . Periostraco brillante, conchilla con bandas concéntricas rosa y lila alternadas.. A. purpurata
(Lám. 8, fig. 3)
 - Subtriangular a subcuadrangular. Umbones prosogiros, salientes. Lúnula notoria. Finas estriás de crecimiento Pitar
 - . Labro liso. Seno paleal profundo, anguloso. Color blanco sucio, opaco P. rostratus
(Lám. 8, fig. 2)
- 33 - Conchilla triangular u oval. Valvas lisas o concéntricamente esculturadas. Dientes cardinales filosos en la valva derecha en forma de V invertida Mactra 34
- Forma trapezoidal, muy frágil, translúcida. Labios filosos. Escultura cordiforme notoria también en el interior. Charnela con amplio condróforo Raeta
 - . Color blanco a blanco grisáceo opaco ... R. plicatella
 - Inequilateral, ovoide-alargada, frágil. Umbones posteriores. Periostraco amarillo notorio. Condóforo sobresaliente, romboidal. Bordes redondeados Darina
- 34 - Valvas triangulares, umbones globosos y salientes.
- . Triangular alta y corta. Lúnula y escudete estriados concéntricamente M. petiti
 - Triangular alta. Sin estriás radiales posteriores. Lúnula y escudete no delimitados M. isabelleana
(Lám. 9, fig. 5)
- 34a- Oval oblonga. Umbones bajos.
- . Fuerte. Seno paleal anguloso. Con estriás concéntricas débiles M. patagonica
 - Valva frágil, seno paleal redondeado. Escultura cordiforme concéntrica observable también en el interior. Periostraco notorio gris, conchilla blanca M. janeiroensis
- 35 - Subelíptica. Estriación concéntrica fina. Sin estriás radiales pero sí líneas de color. Cardinales bifidos. Interior rosa a morado
- Semele casali
(Lám. 9, fig. 6)

- Suborbicular. Con estrías radiales finas. Cardinales lisos. Color blanco grisáceo por fuera, blanco brillante por dentro... S. proficua
(Lám. 9, fig. 7)

- 36 - Bordes paralelos casi rectos. Conchilla delicada. Hasta 12 cm de largo. Charnela con un cardinal en cada valva, grandes y con base plana Solen
S. tehuelchus
(Lám. 10, fig. 4)

- Grande, gruesa. Charnela con un diente amplio en la valva izquierda y dos fosetas y dos dientes en la derecha, con una foseta entre ellos
Periostraco castaño, notorio. Interior blanco Ensis
E. macha
(Lám. 10, fig. 3)

- 37 - Conchilla dividida externamente por un surco radial
Parte anterior lamelada, posterior con estrías concéntricas Nettastomella
N. darwini

- 38 - Mióforo libre y levantado del borde sobre el umbón
Muy larga, blanca. Escultura lamelar concéntrica Cyrtopleura
C. lanceolata
(Lám. 11, fig. 5)

- Mióforo adherido al borde dorsal bajo el umbón
Extremo anterior muy hiante, sinuoso y lamela muy evidente Barnea
B. lamellosa
(Lám. 11, fig. 6)

- 39 - Seno paleal profundo, estrecho y anguloso. Borde anterior algo rostrado. Escultura concéntrica algo lamelada. Escultura radial presente. Cardinales derechos bifidos P. patagonica
(Lám. 11, fig. 4)

- Seno paleal ancho y redondeado. Pequeñas, forma irregular. Borde anterior redondeado, posterior curvo o recto P. lapicida

- 40 - Inequilaterial, hiante. Umbones subterminales, litodesma larga, periostraco fino con estrías radiales. Es frecuente que tenga granos de arena pegados Lyonsia
L. alvarezi
(Lám. 6, fig. 10)

- Inequilaterial, inequivalva. Forma muy irregular. Umbones casi terminales. Litodesma grande Entodesma
- . Borde umbonal casi recto, el opuesto irregular. Periostraco marrón claro con bandas esporádicas más oscuras, fácilmente desprendible cuando seco E. patagonica
(Lám. 6, fig. 9)
- 41 - Valvas fuertes, grande. Subcuadrangular, muy hiante. Borde hiante recto, el opuesto redondeado. Escultura concéntrica cor-diforme irregular. Cardinal prominente... Panopea
P. abbreviata
(Lám. 11, fig. 1)
- Caparazón alargada de forma irregular, poco hiante, pequeña. Con escultura concéntrica notoria Hiatella
H. arctica
(Lám. 11, fig. 3)
- 42 - Periostraco grueso crema a grisáceo, brillante. Valvas delicadas, borde ventral casi recto. Interior blanco opaco T. petitiana
(Lám. 9, fig. 3)
- Valvas fuertes. Periostraco fino, ocre con bandas concéntricas más oscuras. Interior blanco no opaco con una mancha salmón bajo la charnela T. iheringi
- 43 - Superficie granulosa Thracia 44
- Superficie lisa Bushia
- . Borde posterior redondeado, anterior casi recto B. rushi
(Lám. 9, fig. 4)
- 44 - Forma irregular con notorias ondulaciones irregulares siguiendo las líneas de crecimiento T. similis
(Lám. 10, fig. 2)
- Forma definida, algo rostrada posteriormente. Escultura granular visible Thracia sp.
(Lám. 10, fig. 1)

L A M I N A S

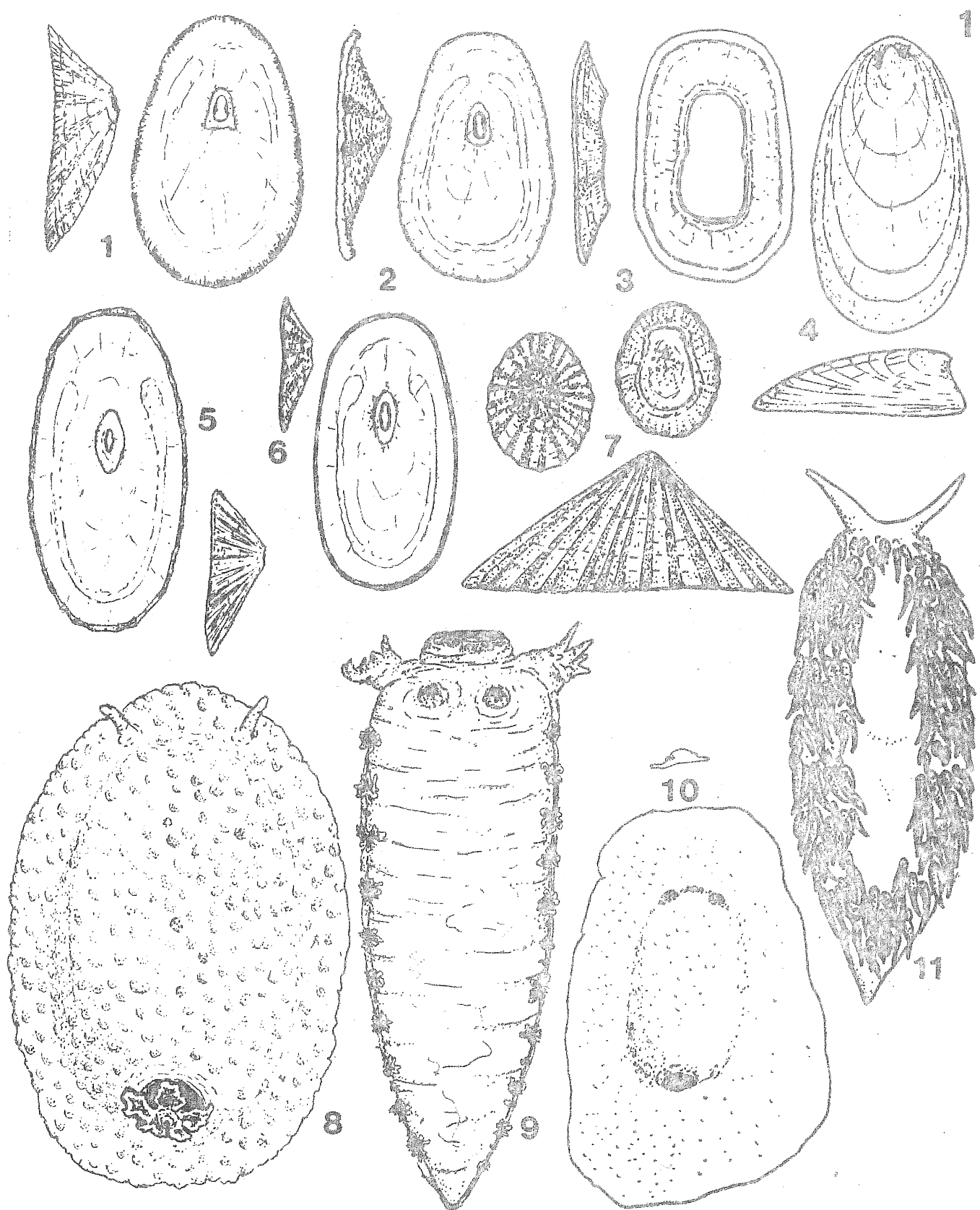
(1 a 11)

- + Los dibujos fueron realizados por el autor, del natural o mediante cámara clara Wild M55 dx. Estos últimos en el Museo Nacional de Historia Natural de Montevideo, a cuyo Director, Lic. Miguel A. Klappenbach, agradecemos el permitir la utilización de dicho instrumental.
- + En las referencias de las láminas se agrega el aumento que presenta el material.

Explicación de la LAMINA 1

- 1 - Diodora patagonica (d'Orbigny, 1841) 1:1, 1,2x
- 2 - Lucapinella henseli (Martens, 1900) 2x
- 3 - Fissurellidea hiantula (Lamarck, 1822) 2x
- 4 - Nacella mytilina (Helbling, 1779) 1,2x
- 5 - Fisurella radiosa Lesson, 1830 2x
- 6 - Fisurella oriens Sowerby, 1834 2x
- 7 - Patinigera magellanica (Gmelin, 1790) 1,2x
- 8 - Anisodoris fontainei (d'Orbigny, 1837) 2x
- 9 - Marionia cucullata (Gould, 1852) 1x
- 10 - Geitodoris patagonicus Odhner, 1926 2x
- 11 - (?) Aeolidia papillosa (Linne, 1761) 4,5x

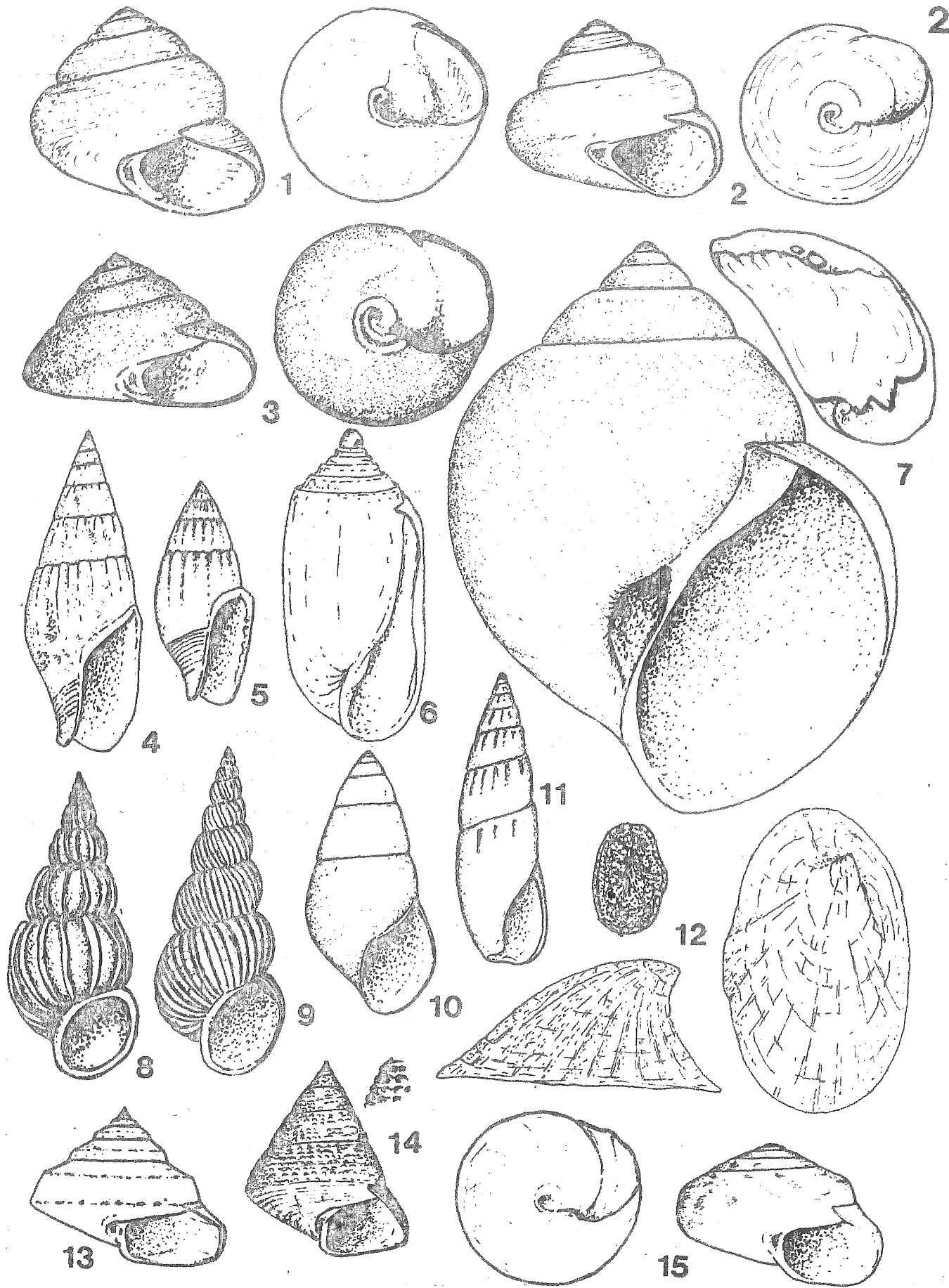
- - - - - 0 - - - - -



Explicación de la LAMINA 2

- 1 - Tegula patagonica (d'Orbigny, 1840) 2,2x
- 2 - Tegula orbignyana (Pilsbry, 1900) 1,5x
- 3 - Tegula atra (Lesson, 1830) 2x
- 4 - Anachis moleculina (Duclos, 1835) 5x
- 5 - Anachis isabellei (d'Orbigny, 1841) 8,5x
- 6 - Tornatina candei (d'Orbigny, 1841) 11x
- 7 - Natica limbata d'Orbigny, 1840 4,5x
- 8 - Epitonium georgettina (Kiener, 1839) 3,2x
- 9 - Epitonium tenuistriatum (d'Orbigny, 1840) 2,6x
- 10 - Littoridina australis (d'Orbigny, 1835) 10x
- 11 - Aesopus metcalfi (Reeve, 1858) 5,5x
- 12 - Siphonaria lessoni (Blainville, 1824) 3x
- 13 - Calliostoma coppingeri (Smith, 1880) 3x
- 14 - Calliostoma jucundum (Gould, 1845) 2,5x
- 15 - Photinula blakei (Clench & Aguayo, 1938) 4,5x

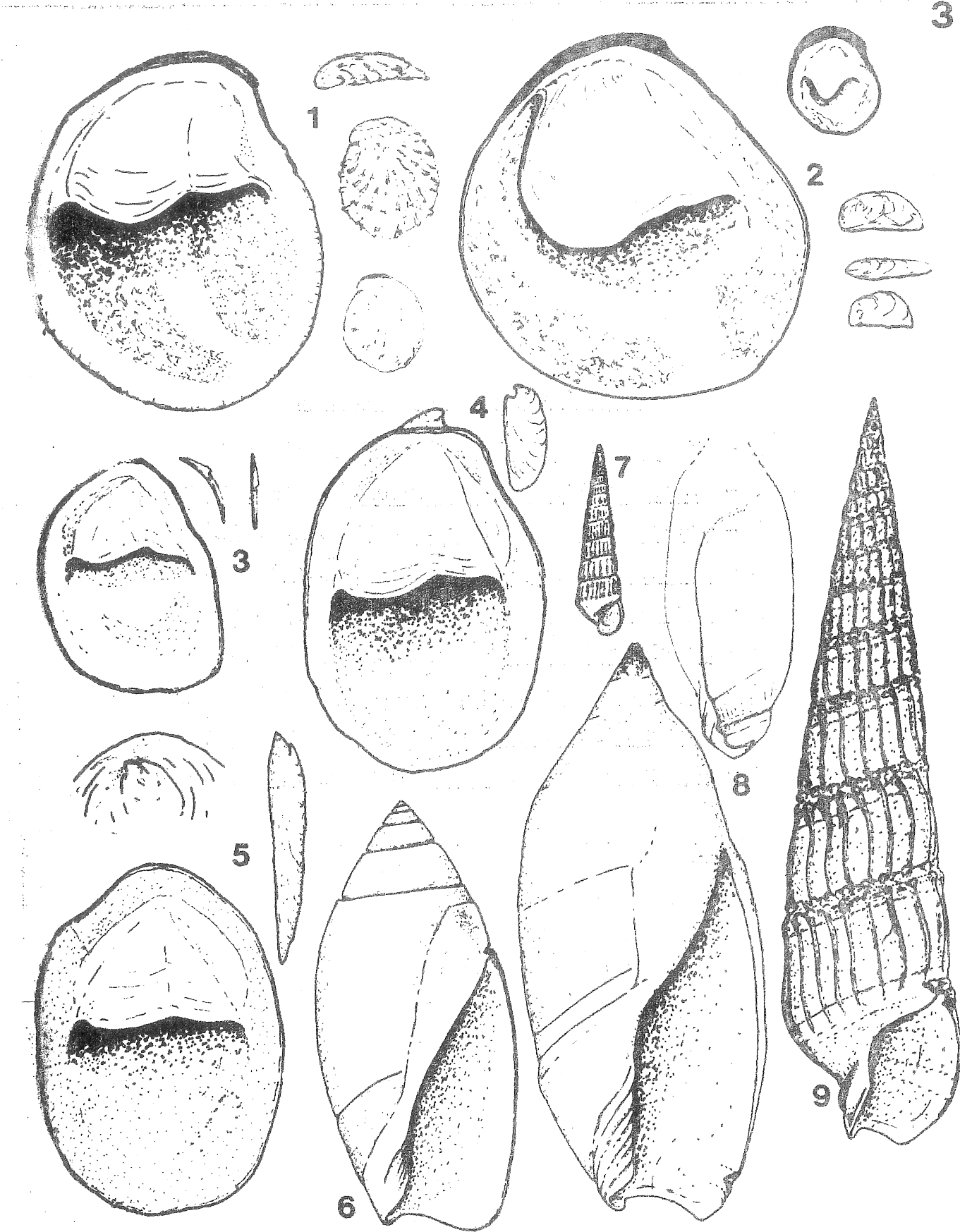
0



Explicación de la LAMINA 3

- 1 - Crepidula aculeata (Gmelin, 1790) 2,8x
- 2 - Crepidula dilatata Lamarck, 1822 2,2x
- 3 - Crepidula plana Say, 1822 2x
- 4 - Crepidula protea d'Orbigny, 1835 3x
- 5 - Crepidula sp. 2x
- 6 - Olivella tehuelcha (Duclos, 1835) 7x
- 7 - Turbanilla uruguensis Pilsbry, 1897 3,7x
- 8 - Ancilla dimidiata (Sowerby, 1850) 9x
- 9 - Terebra gemmifera Kiener, 1835 2,4x

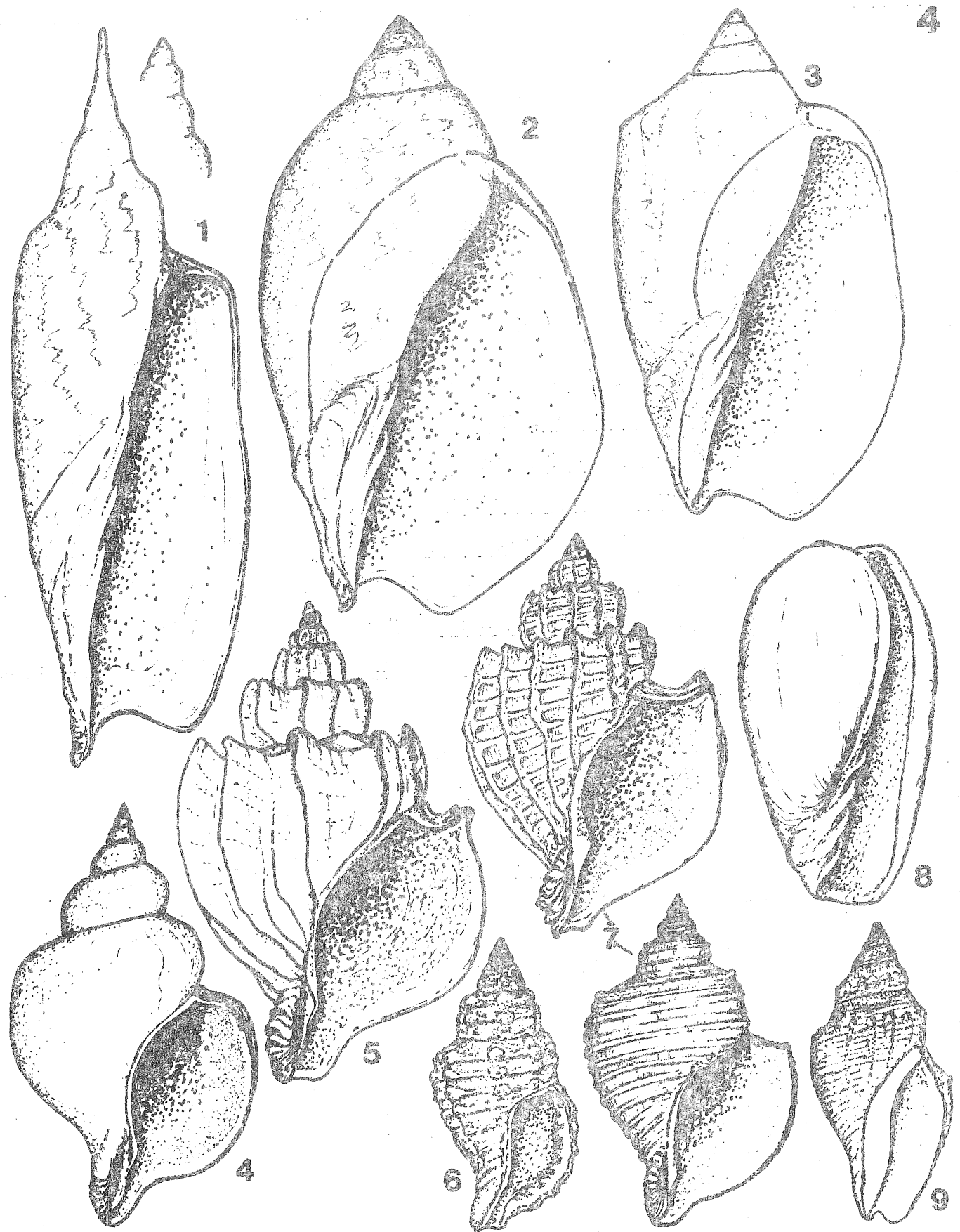
0



Explicación de la LAMINA 4

- 1 - Zidona dufresnei (Donovan, 1823) 0,7x
- 2 - Odontocymbiola magellanica (Gmelin, 1791) 0,8x
- 3 - Odontocymbiola subnodosa (Leach, 1814) 0,6x
- 4 - Trophon varians (d'Orbigny, 1841) 2,5x
- 5 - Trophon lamellosa (Gmelin, 1791) 2,5x
- 6 - Morula necocheana (Pilsbry, 1908) 4x
- 7 - Trophon geversianus (Pallas, 1774) 2,3x
- 8 - Cryptospira martini (Petit, 1853) 2,1x
- 9 - Pleurotomella aguayoi (Carcelles, 1953) 3x

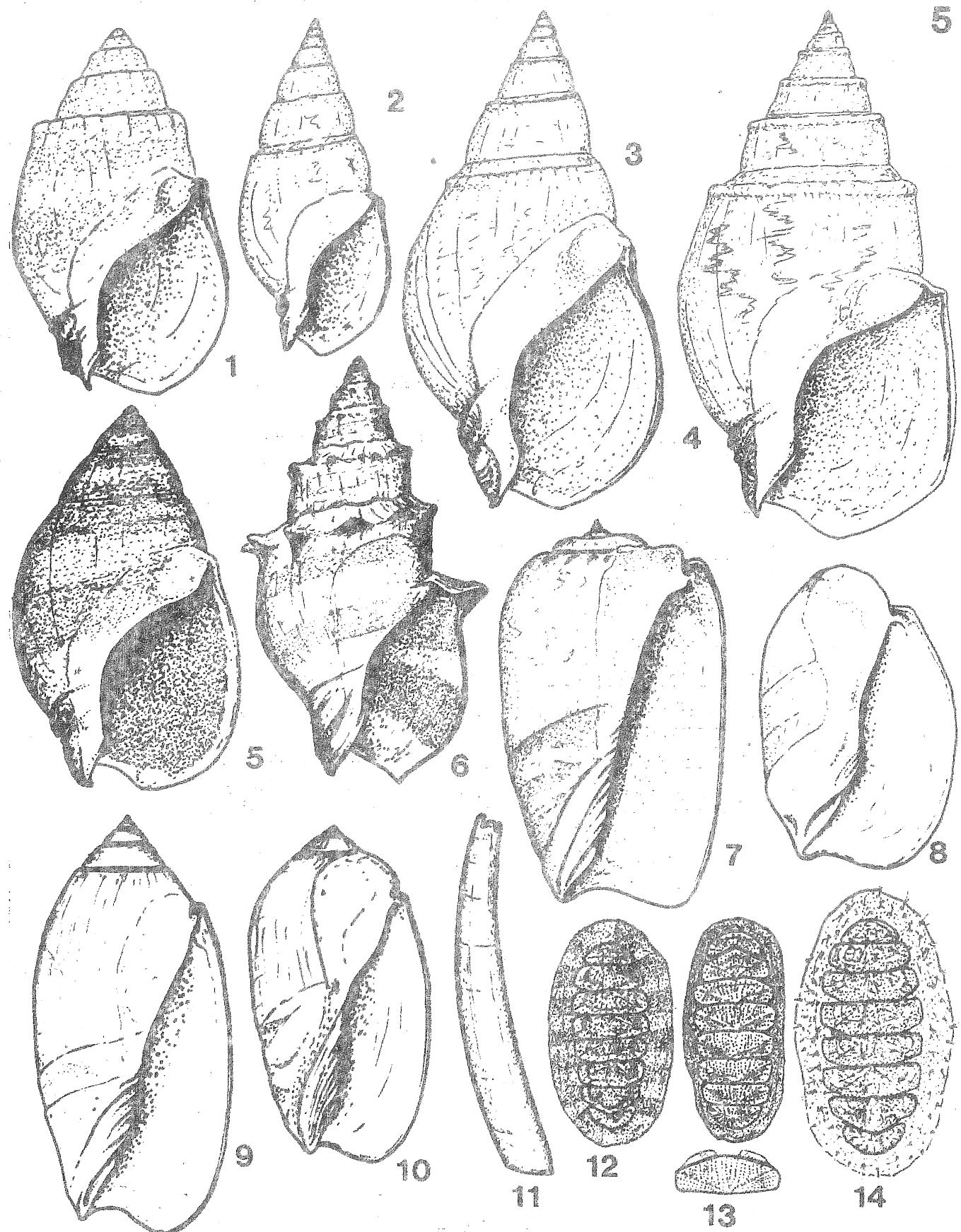
----- 0 -----



Explicación de la LAMINA 5

- 1 - Buccinanops deformis (King, 1831) 2x
- 2 - Buccinanops uruguensis (Pilsbry, 1897) 2x
- 3 - Buccinanops lamarcki (Kiener, 1834) 2x
- 4 - Buccinanops gradatum (Deshayes, 1844) 1,5x
- 5 - Buccinanops globulosum (Kiener, 1834) 2x
- 6 - Dorsanum moniliferum (Valenciennes, 1834) 2x
- 7 - Olivancillaria urceus (Röding, 1798) 1,5x
- 8 - Olivancillaria vesica auricularia (Lamarck, 1810) 1,5x
- 9 - Olivancillaria uretai Klappenbach, 1965 2,2x
- 10 - Olivancillaria carcellesi Klappenbach, 1965 2x
- 11 - Cadulus tetraschistus (Watson, 1879) 8x
- 12 - Chaetopleura isabellei (d'Orbigny, 1841) 1,1x
- 13 - Chaetopleura fulva (Wood, 1815) 0,9x
- 14 - Plaxiphora aurata aurata (Spalowsky, 1795) 1:1

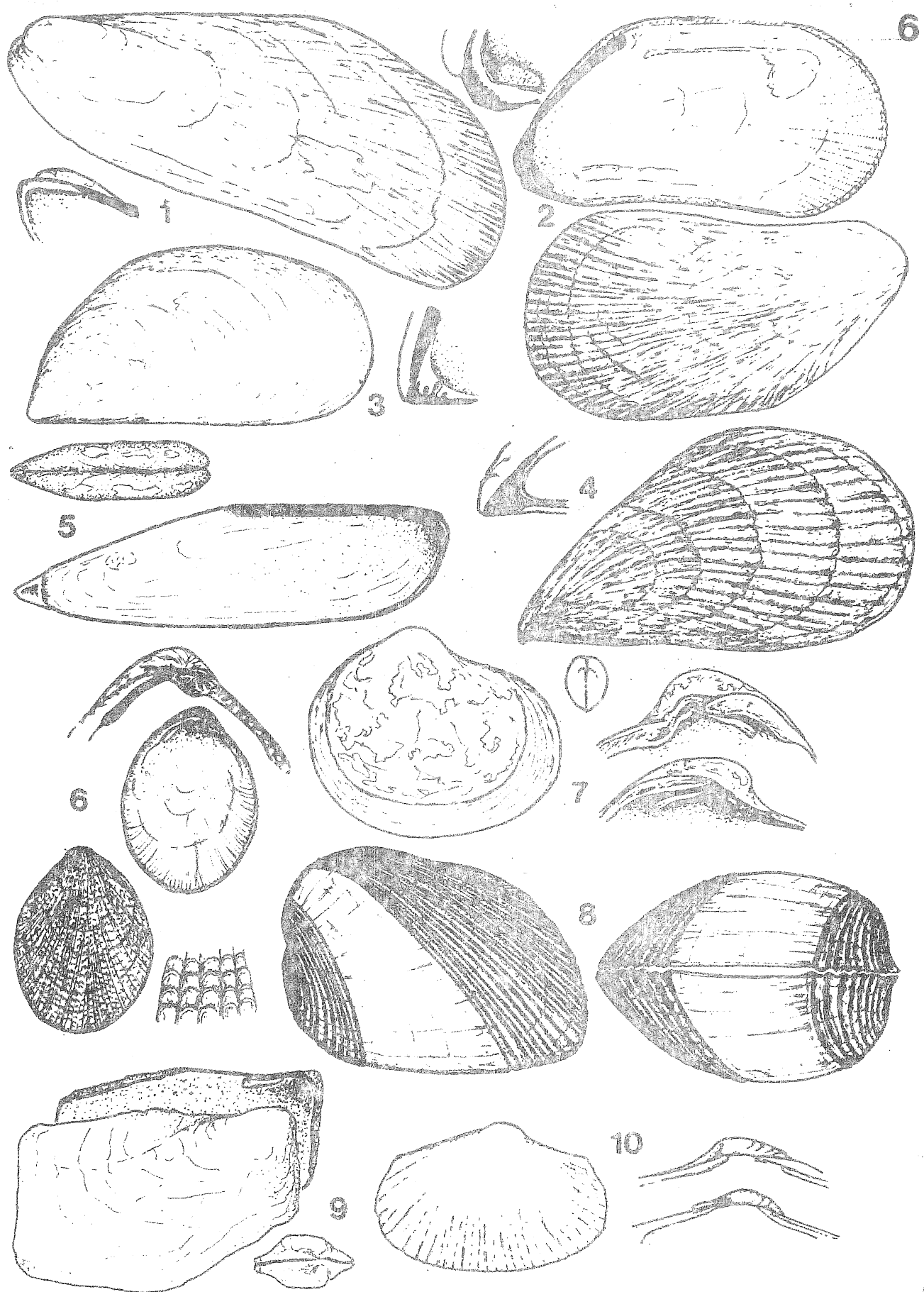
----- 0 -----



Explicación de la LAMINA 6

- 1 - Brachidontes rodriguezi (d'Orbigny, 1846) 3,1x
- 2 - Brachidontes purpuratus (Lamarck, 1797) 3x
- 3 - Mytilus edulis platensis d'Orbigny, 1846 1:1
- 4 - Aulacomya ater (Molina, 1782) 1:1
- 5 - Lithophaga patagonica (d'Orbigny, 1846) 1,5x
- 6 - Crenella divaricata (d'Orbigny, 1842) 10x
- 7 - Lasaea adansoni (Gmelin, 1791) 22x
- 8 - Musculus viator (d'Orbigny, 1846) 5x
- 9 - Entodesma patagonica (d'Orbigny, 1846) 2,8x
- 10 - Lyonsia alvarezi d'Orbigny, 1846 2,8x

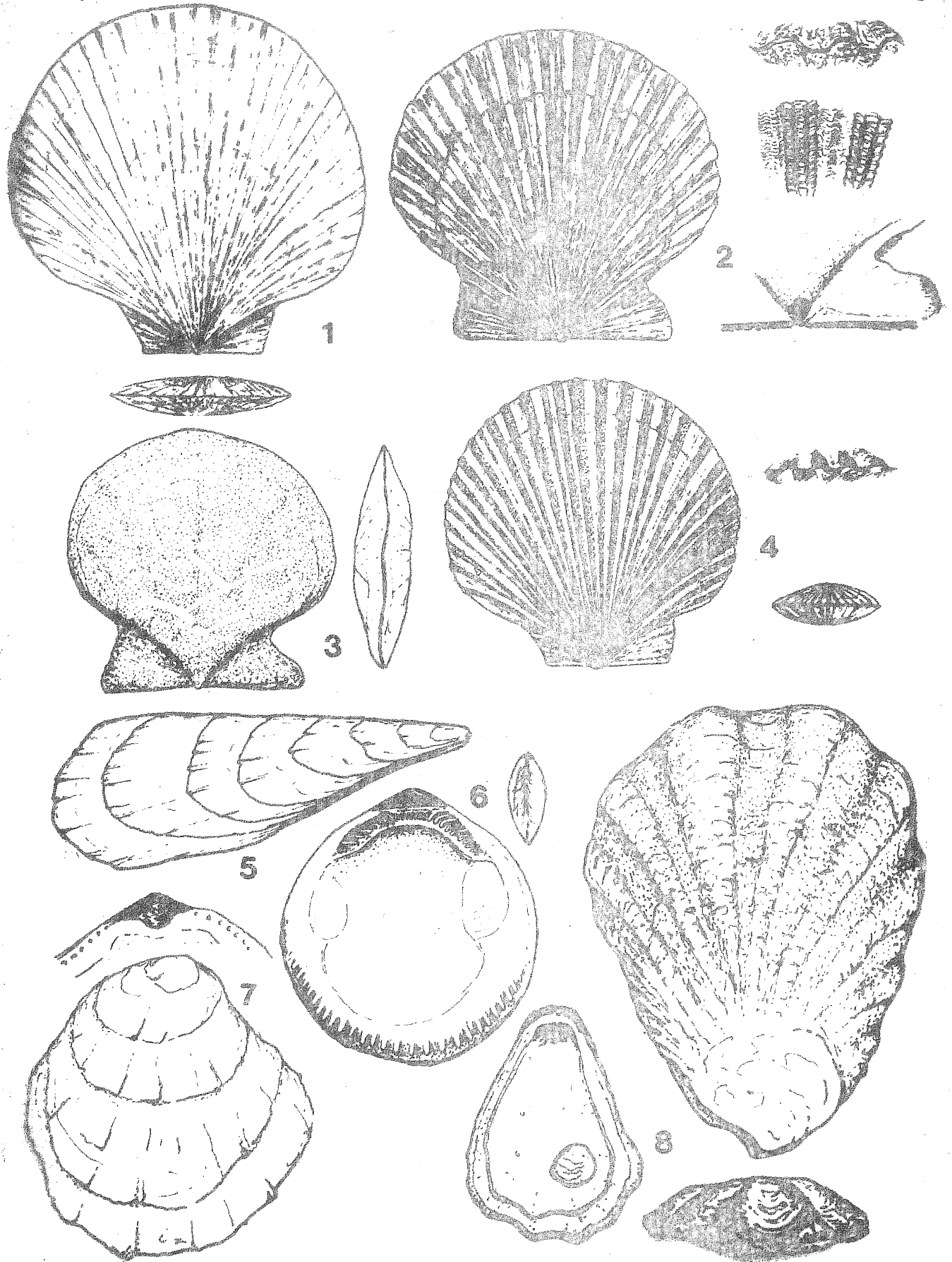
- - - - 0 - - - -



Explicación de la LAMINA 7

- 1 - Chlamys lischkei (Dunker, 1850) 1:1
- 2 - Chlamys tehuelchus (d'Orbigny, 1846) 1:1
- 3 - Chlamys felipponei (Dall, 1922) 1:1
- 4 - Chlamys patagonicus (King, 1832) 0,8x
- 5 - Atrina seminuda (Lamarck, 1819) 0,6x
- 6 - Glycymeris longior (Sowerby, 1832) 2x
- 7 - Ostrea puelchana d'Orbigny, 1841 1:1
- 8 - Plicatula gibbosa Lamarck, 1801 2,8x; 1,7x

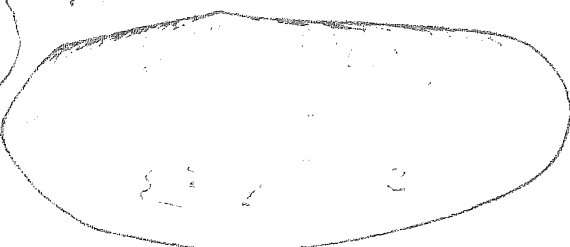
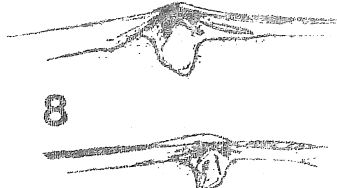
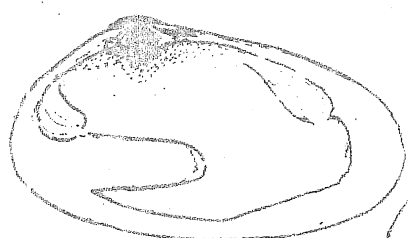
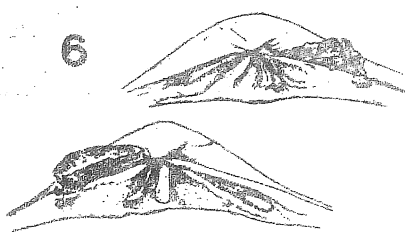
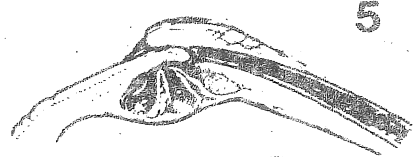
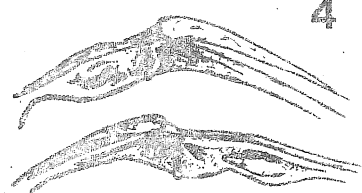
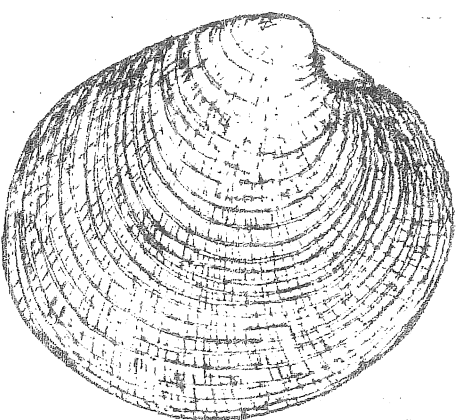
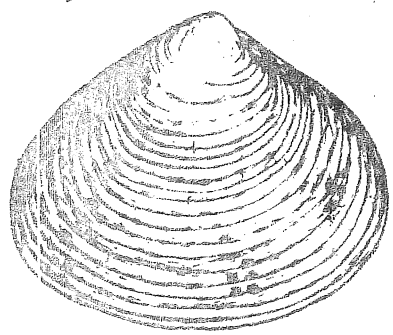
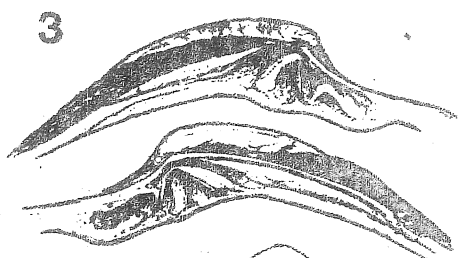
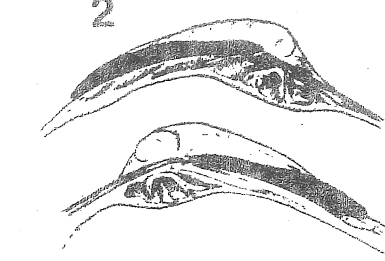
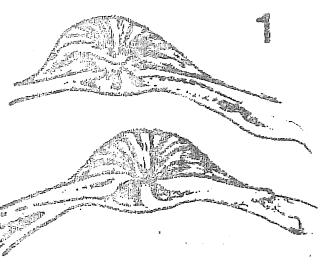
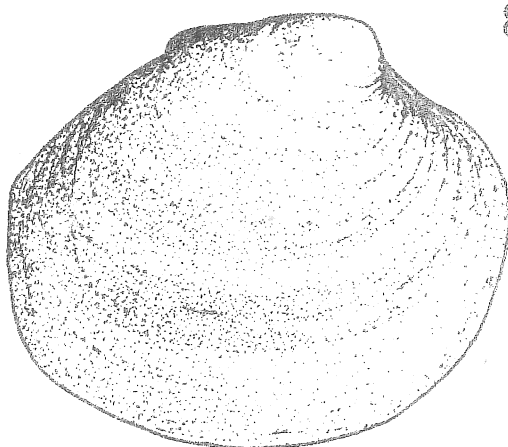
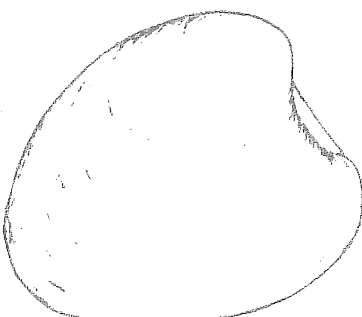
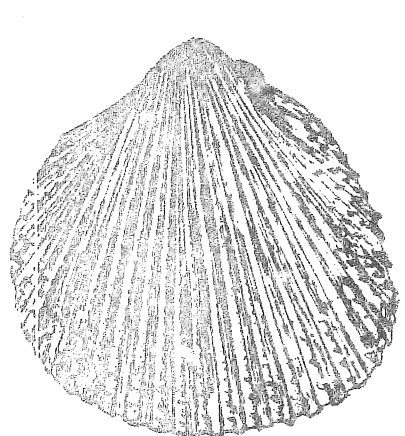
- - - - - 0 - - - -



Explicación de la LAMINA 8

- 1 - Trachycardium muricatum (Linné, 1758) 1:1
- 2 - Pitar rostratus (Koch, 1844) 1:1
- 3 - Amiantis purpurata (Lamarck, 1818) 1:1
- 4 - Transenpithecus americana (Doello-Jurado, 1951) 2x
- 5 - Protothaca antiqua (King, 1832) 1:1
- 6 - Tivela isabelleana (d'Orbigny, 1846) 0,8x
- 7 - Mesodesma mactroides Deshayes, 1854 0,8x
- 8 - Darina solenoides (King, 1832) 0,6x

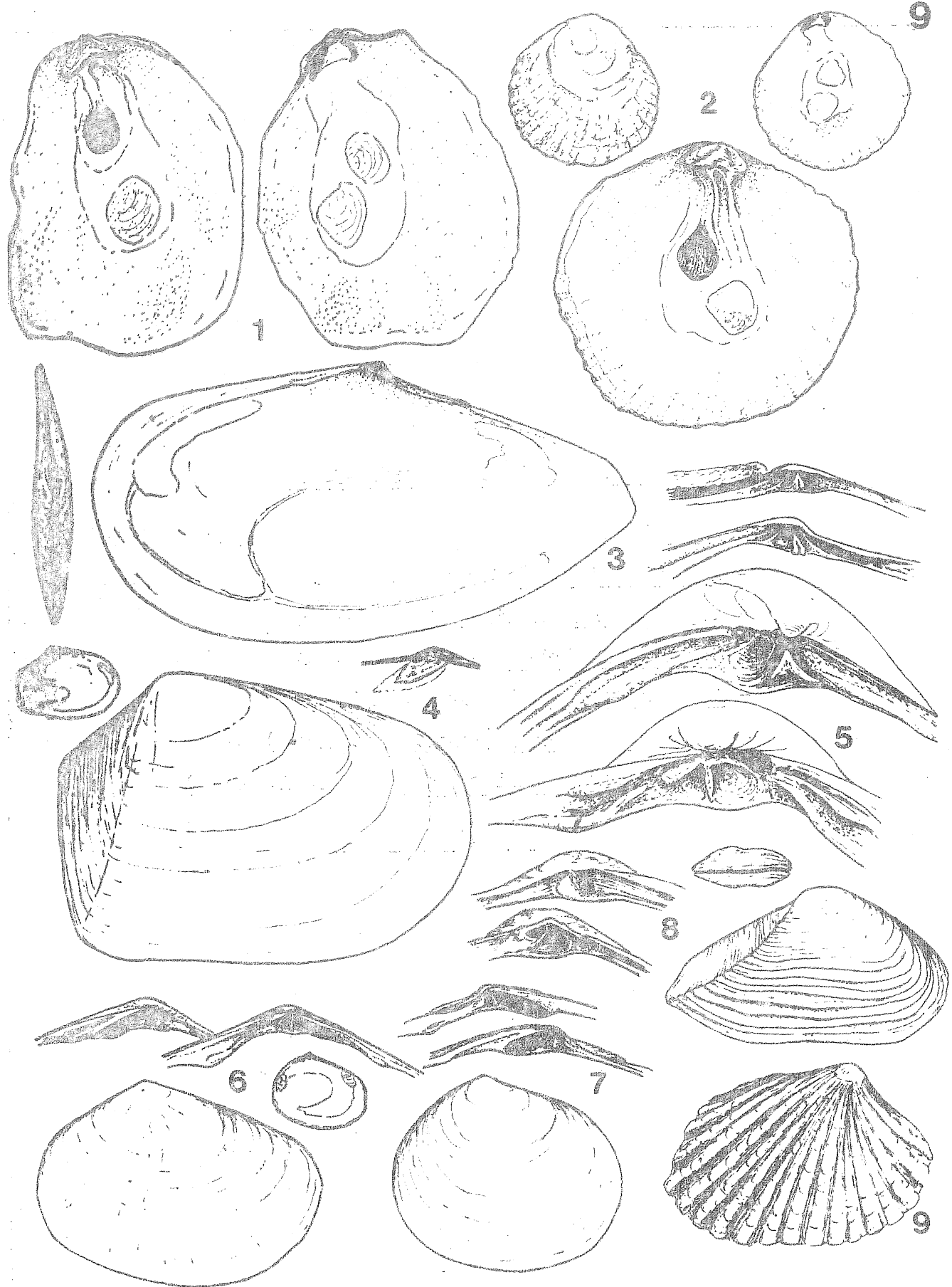
- 0 - - - -



Explicación de la LAMINA 9

- 1 - Pododesmus rufus (Broderip, 1834) 1,4x
- 2 - Pododesmus leloiri Carcelles, 1941 0,5x; 1:1
- 3 - Tellina petitiana d'Orbigny, 1846 2,1x
- 4 - Bushia rushi (Pilsbry, 1897) 4x
- 5 - Mactra isabelleana d'Orbigny, 1846 4x
- 6 - Semele casali Doello-Jurado, 1949 3x
- 7 - Semele proficua (Pulteney, 1799) 3x
- 8 - Corbula lyoni Pilsbry, 1897 5x
- 9 - Carditamera plata (Ihering, 1907) 8x

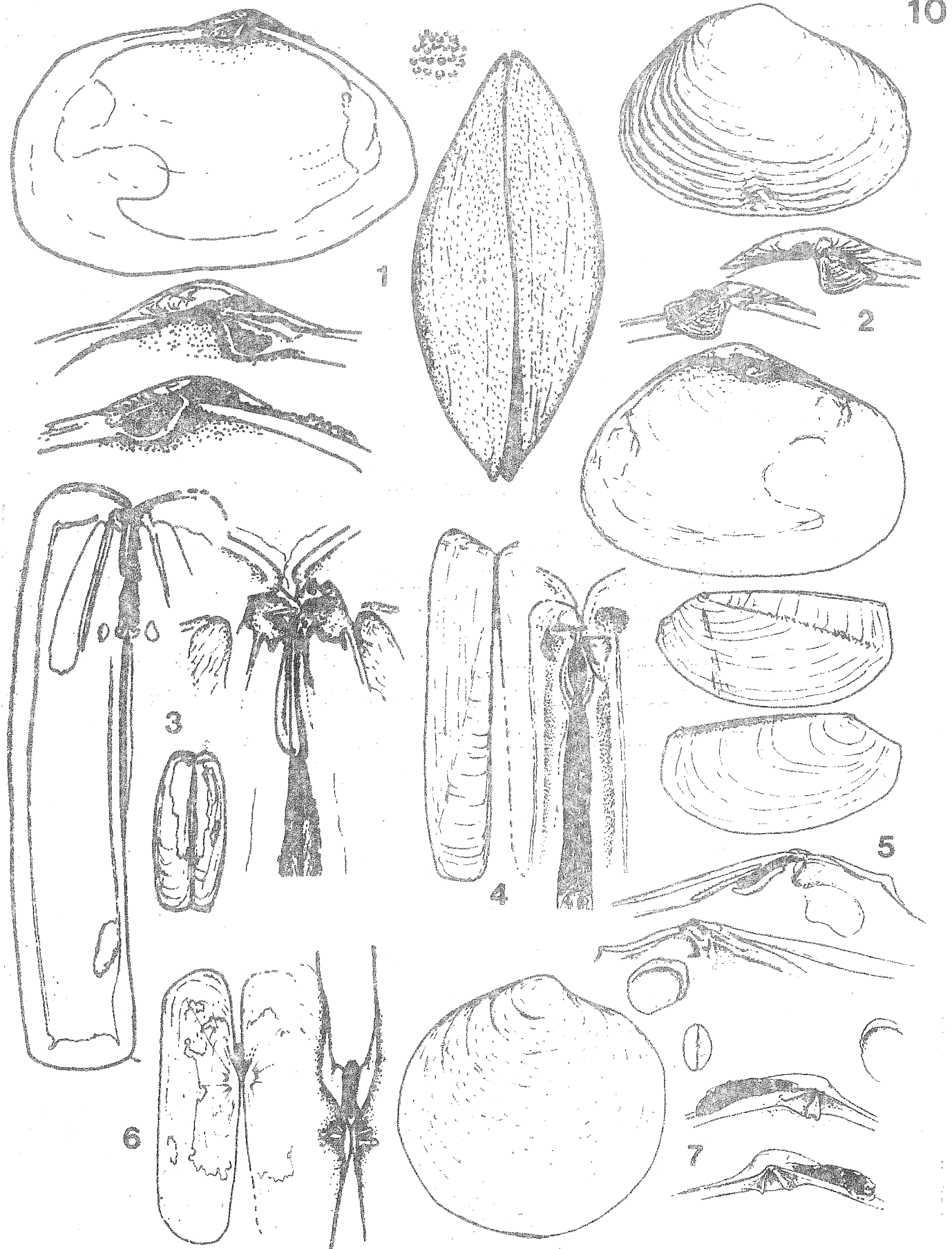
----- 0 -----



Explicación de la LAMINA 10

- 1 - Thracia sp. 8x
- 2 - Thracia similis Couthouy, 1824 5x
- 3 - Ensis macha (Molina, 1782) 0,7x
- 4 - Solen tehuelchus d'Orbigny, 1843 1:1
- 5 - Pandora patagonica Dall, 1915 3x
- 6 - Tagelus plebeius (Lightfoot, 1786) 0,6x
- 7 - Phlyctiderma semiaspera (Philippi, 1836) 5x

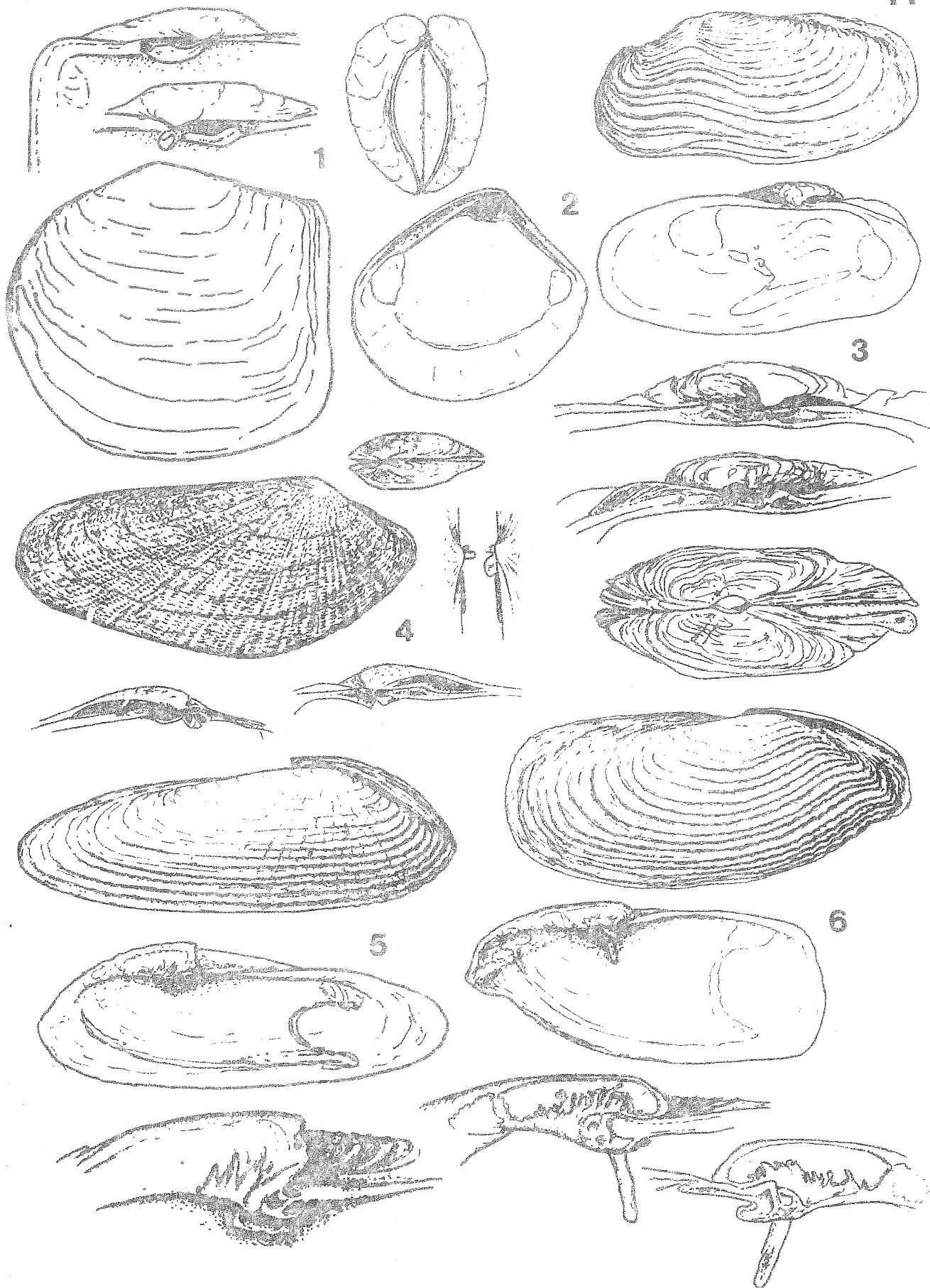
----- 0 -----



Explicación de la LAMINA 11

- 1 - Panopea abbreviata Valenciennes, 1839 0,6x
- 2 - Crassinella maldonadoensis (Pilsbry, 1897) 10x
- 3 - Hiatella arctica (Linné, 1767) 5x
- 4 - Petricola patagonica d'Orbigny, 1846 1:1; 3x
- 5 - Cyrtopleura lanceolata (d'Orbigny, 1846) 2x
- 6 - Barnea lamellosa (d'Orbigny, 1846) 3x

----- 0 -----



- NOTAS DE SECRETARÍA -

Las sesiones de nuestra Sociedad cuentan habitualmente con un disertante que expone siempre temas de gran interés. He aquí una breve reseña de quienes han hablado y los temas tratados.

27 de Abril de 1976 - VICTOR SCARABINO proyecta una serie de diapositivas sobre material marino colectado en La Paloma, Rocha. Los asistentes quedan gratamente sorprendidos por tomas de moluscos tan modestos como Littorina ziczac, Donax hanleyanus o Mesodesma mactroides, que Scarabino mantuvo en acuario para poder fotografiarlos, valorando detalles que habitualmente pasan desapercibidos.

11 de Mayo de 1976 - VIOLETA BONINO de LANGGUTH diserta sobre una excursión de estudio y colecta a la zona de las Cascadas del Queguay y áreas vecinas. En especial se refiere a los moluscos fósiles de las calizas sobresilicificadas del Queguay, enseñando interesantes ejemplos de los mismos, colectados en las proximidades de las Termas del Guaviyú. Finaliza refiriéndose a las obras de la Represa del Salto Grande y al recientemente terminado puente internacional Paysandú-Colón. La disertación es ilustrada con diapositivas tomadas y proyectadas por Alfredo Langguth.

25 de Mayo y 15 de Junio de 1976 - MARIO CACHES se refiere a los mecanismos por los cuales las larvas pelágicas de organismos bentónicos, logran reconocer el sustrato adecuado donde se fijarán, experimentarán la metamorfosis y pasarán su vida adulta. En la parte final de su disertación, Cachés se refiere a una serie de organismos marinos de nuestras aguas, integrantes del llamado plancton azul, ilustrando sus palabras con adecuadas proyecciones.

13 de Julio de 1976 - BRAULIO OREJAS MIRANDA se refiere a su experiencia como asesor en la construcción de un zoológico en la República de Santo Domingo. El disertante nos lleva, paso a paso, en una serie de secuencias ilustradas con las correspondientes diapositivas, desde su inicial llegada al lugar propuesto para la instalación, hasta la entrega final de las construcciones y las colecciones zoológicas.

27 de Julio de 1976 - Con motivo de la aparición, en el Nº 6 de las Comunicaciones Paleontológicas del Museo Nacional de Historia Natural de Montevideo, de una importante contribución al conocimiento de la malacofauna fósil del Uruguay titulada: "Nuevas especies de gastrópodos marinos de la Formación Camacho (Entrerriana)", sus autores, ALFREDO FIGUEIRAS y JORGE BROGGI se refieren a la gestación de este trabajo, en el cual se describen siete nuevas especies de gastrópodos,

la mayoría de los cuales han sido dedicados a componentes de nuestra Sociedad y entre los cuales se destaca un interesantísimo Murex eliseoduartei.

17 de Agosto de 1976 - Diserta nuestro consocio y prestigioso arqueólogo ANTONIO TADDEI, dándonos una reseña de los últimos trabajos en arqueología nacional y del panorama que se ha ido formando sobre los distintos ocupantes prehistóricos de nuestro país.

31 de Agosto de 1976 - VICTOR SCARABINO da a conocer un importante trabajo sobre los moluscos del Golfo San Matías, Argentina, con una clave para su determinación. (Se trata precisamente del trabajo que se publica en este número de Comunicaciones). Asimismo Scarabino hace conocer a los presentes la nueva edición de "Brazilian Marine Mollusks Iconography" de E. Carvalho Rios, y en la cual el disertante es autor del capítulo dedicado a los Escafópodos, un tema de su especialidad.

19 de Octubre de 1976 - Habla VIOLETA BONINO de LANGGUTH sobre el yacimiento devónico del arroyo Cordobés y su riquísima fauna fósil, remarcando especialmente la presencia de moluscos, con varios géneros para los pelecípodos y el género Plectonotus para los gastrópodos. Luego la disertante se refiere a los fósiles hallados en las concreciones fosfático-calcáreas (bochas) del Paso de las Bochas del Río Negro. Se expone interesantísimo material de ambos yacimientos, colectados durante una excursión del Centro de Estudios de Historia Natural.

9 y 23 de Noviembre de 1976 - MARIO CACHES, que acaba de ser nombrado director del Museo de Historia Natural de La Paloma, se refiere a múltiples aspectos de la fauna marina de la zona. El disertante, que a su cabal conocimiento del tema une una gran habilidad para fotografiar aquellos organismos, proyecta una serie de magníficas diapositivas.

20 de Diciembre de 1976 - Tiene lugar la tradicional cena de camaradería de fin de año, que en esta ocasión tiene también el carácter de homenaje a los ochenta años de Don Eliseo Duarte, quien continúa incansablemente su trabajo en bien de la malacología.

23 de Marzo de 1977 - Tras el receso de verano, al reiniciarse las sesiones, son exhibidos varios filmes científicos sobre temas de Historia Natural.

----- 0 -----

SOCIEDAD MALACOLOGICA DEL URUGUAY

Secretario: JORGE PITA
Casilla de Correo 1401
MONTEVIDEO - URUGUAY

Hemos recibido) *Comunicaciones Sec. Nro.*
Recebemos)
We have received)
Nous avons reçu)
Abbiamo ricevuto)
Wir haben empfangen)
.....

Nombre - Nome - Name - Nom)

Dirección-Endereço-Address) ..
Adresse-Indirizzo) ..

Fecha-Data) Firma-Signature)
Date-Datum) Unterschrift)

ALBERTO CARCELLES

(1897-1977)

El 23 de Enero de 1977, Alberto R. Carcelles falleció en Alta Gracia, Córdoba, donde residía desde su retiro como Jefe de la Sección Invertebrados del Museo Argentino.

Alberto Carcelles nació en Buenos Aires el 18 de Julio de 1897. Era muy joven cuando comenzó a trabajar en la división de Geología de la Dirección Nacional de Minas, siendo también ayudante del Prof. Juan Keidel en la cátedra de Geología de la Universidad de Buenos Aires. En 1914 ingresó al Museo Nacional (hoy Museo Argentino de Ciencias Naturales "Bernardino Rivadavia") en la sección de Moluscos e Invertebrados cuyo Jefe era el único malacólogo argentino en esa época, Prof. Martín Doello Jurado; cuando Doello Jurado ocupó la dirección del Museo en 1923, Carcelles quedó prácticamente a cargo de la Sección en la cual, eventualmente, llegó a ser Jefe hasta su jubilación.

Su interés en malacología abarcó la fauna del Atlántico Sur, y también de Chile y la región antártica, participando en varias expediciones oceanográficas; la primera de éstas fue a la región magallánica en 1921, organizada por la Facultad de Ciencias Naturales de la Universidad de Buenos Aires, y parte de los resultados fueron publicados por Irene Bernasconi (Equinodermos), Deidamia Giambiagi (Crustáceos) y Doello Jurado (Moluscos y fósiles).

En 1923, a bordo de la nave Guardia Nacional de la Armada Argentina, viajó como coleccionista a la isla de Sud Georgia y luego, en 1926 y 1929, hizo otros viajes a Sud Georgia e Islas Orcadas, por invitación del gobierno de Noruega, a bordo del Lansing y el buque Ernesto Tornquist de la Compañía Argentina de Pesca; en los dos últimos de esos viajes completó una estadía de ocho meses en la zona antártica. Aparte de interesantes observaciones sobre Cetáceos, enriqueció las colecciones de Invertebrados del Museo Argentino. Posteriormente participó en otras exploraciones de dragado en la plataforma continental, desde el sur de Brasil hasta las Islas Malvinas, en buques oceanográficos de la A.R.A. Como coleccionista aportó también al Museo muchos materiales faunísticos de agua dulce del noreste argentino, Paraguay, Uruguay y sur de Brasil. En 1927 fue fundador, bajo el auspicio del director del Museo, M. Doello Jurado, de la primera estación de hidrobiología marina en el continente sudamericano, en Puerto Quequén.

Sus publicaciones, aunque no numerosas (alrededor de 40), contienen sin embargo trabajos importantes, como sus catálogos de los Moluscos de Puerto Quequén, de la Patagonia, y de las provincias ma-

lacológicas magallánica y antártica, y la descripción de nuevas especies. Era tanto lo que debía hacerse en la malacología argentina, y tan pocos entonces los que se dedicaban a ella, que los trabajos de Carcelles están marcados por una acelerada tenacidad. La taxonomía de los Moluscos ha experimentado tan grandes cambios en los últimos años, que hace obligatorio actualizar constantemente los trabajos sistemático-nomenclaturales, pero, aparte de las necesarias modificaciones que pueden hacerse en los trabajos de Carcelles, su contribución siempre será considerada como de estimable mérito, habiendo aportado además, millares de lotes catalogados en el Museo Argentino, material valioso para las nuevas generaciones de malacólogos.

Poco después de su retiro, Carcelles integró una comisión -con el Dr. Argentino A. Bonetto y J. J. Parodiz- Subvencionada por la National Science Foundation, U.S.A., para coleccionar en la región mesopotámica y el Chaco. Luego, en 1965, viajó a Estados Unidos invitado como "visitante especialista" por el Carnegie Museum of Natural History de Pittsburgh, Pennsylvania; su estadía fue de cerca de un año, contribuyendo con su trabajo a la sección de invertebrados de ese Museo, asistiendo también al 31º Congreso de la American Malacological Union en Nueva York, y participando además en las reuniones del Pittsburgh Shell Club, donde se granjeó la amistad de entusiastas colegas.

En sus últimos años, en Córdoba, colectó con asiduidad moluscos terrestres de la provincia.

Además de ser un antiguo miembro de la Sociedad de Ciencias Naturales "Physis", perteneció también a la Sociedad Ornitológica del Plata, Sociedad Argentina de Estudios Geográficos, y era miembro de Honor de la Sociedad Malacológica del Uruguay.

JUAN J. PARODIZ

La SOCIEDAD MALACOLOGICA DEL URUGUAY se adhiere a este postre homenaje a ALBERTO R. CARCELLES, quien integrara, desde sus comienzos, el primer lugar en la nómina de Socios de Honor, como merecido homenaje y justiciero reconocimiento de sus valores científicos en el campo de la Malacología.

PUBLICACIONES POR ALBERTO CARCELLES

- 1927 - Notas sobre algunas Aves antárticas. El Hornero, 4: 8283.
- 1931 - Notas sobre algunas Aves de la isla de Sud Georgia. El Hornero, 4: 398-401, 1 lám.
- 1932 - Tres viajes a los mares antárticos. (Observaciones biológicas y económicas sobre Cetáceos). Physis, 11: 48-81, 9 figs.
- 1933 - Apuntes sobre la fauna del Golfo San Matías. Boletín del Centro Naval (Buenos Aires), 51: 3-18, 15 figs.
- 1935 - Sobre algunas invertebrados marinos de la Isla de Los Estados. Boletín del Centro Naval, 53: 1-16, 19 figs.
- 1938 - (y J.J. Parodiz). Moluscos del contenido estomacal de Astropecten cingulatus Sladen. Physis, 12: 251-266, 2 láms.
- 1939 - Pectunculus longior y Mesodesma mactroides de la Argentina y Uruguay. Physis, 17: 735-743, 3 figs.
- 1940 - Bartlettia stefanensis (Moricand) en el Paraguay. Notas del Museo de La Plata, 5 (Zoología 40): 211-217.
- 1941 - Pododesmus de la Argentina y Uruguay. Physis, 19: 5-10.
- 1941 - Erodona mactroides en el Río de la Plata. Physis, 19: 11-21, 1 lám.
- 1942 - First record of Bartlettia in Paraguay. The Nautilus, 55: 93-94, 2 plates.
- 1942 - Nota sobre el mejillón Aulacomya magellanica. Physis, 19: 180-190, 2 láms.
- 1943 - Sobre las variaciones de Pitaria rostrata (Koch). Comunicaciones Zoológicas Museo de Hist. Nat. Montevideo, 1: 1-10, 3 láms.
- 1943 - Observaciones sobre Trophon varians (d'Orbigny). Notas Museo de La Plata, 8 (Zool. 72): 431-437, 3 láms.
- 1944 - Las especies del género Capulus Montfort, 1810, en aguas argentinas. Comunic. Zool. Mus. Hist. Nat. Montevideo 1(9): 1-5, 2 figs.
- 1944 - Catálogo de los Moluscos marinos de Puerto Quequén. Revista del Museo La Plata (Nueva Serie) Zool. 3: 233-309, 15 láms.
- 1944 - Nuevos datos sobre el contenido estomacal de Astropecten cingulatus Sladen. Physis 19: 461-472.
- 1944 - Notas sobre algunos moluscos magallánicos obtenidos frente al Río de la Plata. Comunic. Zool. Mus. Hist. Nat. Montevideo. 1 (19): 1-11, 1 lám.
- 1945 - Las especies actuales de Tegula en la República Argentina. Physis, 20: 31-40, 19 figs.

- 1945 - Nota sobre los Moluscos citados por Darwin, Ameghino y Bra-
vard, para la formación Pampeana de Puerto Belgrano. *Physis*,
20: 41-49.
- 1946 - Notas sobre dos especies argentinas de Marginellidae. Notas
Museo La Plata, 11 (Zool.92): 51-57, 2 figs.
- 1946 - Observaciones sobre algunas especies actuales y fósiles de
Trophon de la República Argentina. Notas Museo La Plata, 11
(Zool.93): 59-89, 13 figs.
- 1946/47. Mariscos de las costas argentinas. *Argentina Austral* (Bue-
nos Aires), Año 18, 186 (Diciembre 1946), 187 (Enero 1947):
reimpresión págs. 1-20, 5 láms.
- 1947 - Una nueva Philine. Comunic. Zool. Mus. Hist. Nat. Montevideo.
2 (40): 1-3, 3 figs.
- 1947 - La presencia del género Provocator en la costa rioplatense.
Comunic. Zool. Mus. Hist. Nat. Montevideo, 2 (40): 4-8, 1 lám.
- 1947 - El género Mitra en las aguas uruguayas y argentinas. Comunic.
Zool. Mus. Hist. Nat. Montevideo, 2 (40): 9-11, 2 figs.
- 1947 - La presencia de Fusus acanthodes (Watson) frente al Río de
la Plata. Comunic. Zool. Mus. Hist. Nat. Montevideo, 2 (40):
11-14, 2 láms.
- 1947 - Sobre algunas especies del género Nacella Schumacher. Comunic.
Zool. Mus. Hist. Nat. Montevideo, 2 (40): 14-25, 3 láms.
- 1947 - Cymbiola martensi (Streb). Comunic. Zool. Mus. Hist. Nat.
Montevideo, 2 (40): 25-27, 1 lám.
- 1947 - Exploraciones científicas de los mares argentinos. Revista
Argentina Austral, Año 19 (Nº 197).
- 1947 - Nota sobre Plicatula mesembrina Dall. Comunic. Zool. Museo
Hist. Nat. Montevideo, 11 (41): 1-2, 1 lám.
- 1947 - A propósito de Asthenothaerus rushi Pilsbry. Comunic. Zool.
Mus. Hist. Nat. Montevideo, 11 (41): 3-4
- 1947 - Nota sobre Lima (Aesta) patagonica Dall y Lima (Limatula)
pygmaea Philippi. Comunic. Zool. Mus. Hist. Nat. Montevideo,
11 (41): 3-10, 3 figs.
- 1950 - Catálogo de los Moluscos marinos de la Patagonia. Anales del
Museo Nahuel Huapí (Buenos Aires) 2: 41-100, 6 láms, 1 mapa.
(Reimpresión del Museo Argentino de Ciencias Naturales, Ex-
tra Nº 8).
- 1951 - (y Susana Williamson). Catálogo de los Moluscos marinos de
la Provincia Magallánica. Revista Museo Argentino de Cien-
cias Naturales, Zoología 2 (5): 225-383.

- 1953 - Nuevas especies de Gastrópodos marinos de las Repúblicas Oriental del Uruguay y Argentina. (Solariella patriae, Architectonica uruguaya, Phalium iheringi, Murex clenchi, Lathyrus frenguelli, Marginella corderoi, Clathurella aguayoi). Comunic. Zool. Mus. Hist. Nat. Montevideo, 4 (70):1-18, 5 láms.
- 1953 - Catálogo de la Malacofauna Antártica Argentina. Anales Museo Nahuel Huapi, III: 155-250, 5 láms., 1 mapa.
- 1954 - Especies sudamericanas de Argobuccinum Bruguière, 1792. Comunicaciones Museo Argentino Ciencias Naturales, Zoología 2 (15): 243-254, 1 lám.
- 1954 - Observaciones sobre los géneros Nucella, Chorus y Concholaspis. Comunic. Museo Argentino Ciencias Naturales, Zoología 2 (16): 255-275, 5 láms.

-----O-----O-----O-----O-----

La impresión de este número se terminó el 10 de Junio de 1977

Comisión del Papel -- Edición amparada por el Art. 79
de la Ley Nº 13.349
(Expediente Nº 159 - 28.3.73)

Depósito Legal Nº 35274/77